



COMUNE DI NOVARA

Permesso di Costruire e Variante n. 2 al Piano Particolareggiato di Iniziativa Pubblica Convenzionato, relativo all'attuazione delle aree produttive e logistiche del quadrante nord ovest della Città di Novara - Ambito T12 (approvato con D.C.C. n° 57 del 14/09/2020) con contestuale Variante SUAP ai sensi dell'art. 17 bis co. 4 L.R. 56/77 e ss.mm. ed ii e dell'art. 8 del D.P.R. 160/2010 e s.m.i



Relazione Geologica

RAUM

engineering

RAUM ENGINEERING SRL
via XX settembre 38, 28100 Novara - ITALY
+39.0321.390335
PIVA/CF 02523870034
www.raum-engineering.com

A SEGRO GROUP COMPANY

Prima stesura:
Dicembre 2021

Revisione 1:
Settembre 2022

Revisione 2:
Gennaio 2023

Stesura finale:

Consegna:

B

INDICE

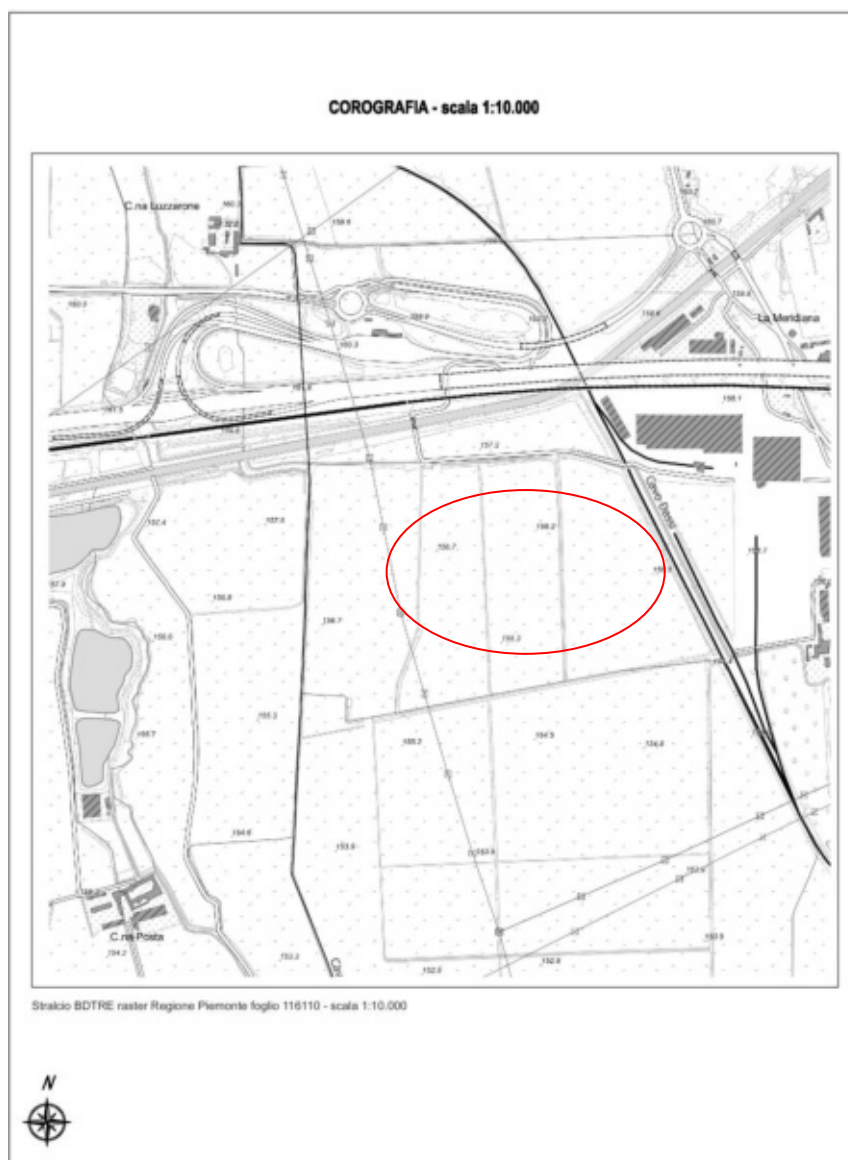
| | | |
|-------|---|----|
| 1 | PREMESSA | 3 |
| 2 | VINCOLI GEOLOGICI DI PRG E PIANIFICAZIONE SOVRAORDINATA..... | 4 |
| 3 | INQUADRAMENTO GEOLOGICO E GEOMORFOLOGICO | 9 |
| 4 | LINEAMENTI GEOMORFOLOGICI LOCALI | 15 |
| 5 | INQUADRAMENTO IDROGRAFICO | 18 |
| 6 | INQUADRAMENTO IDROGEOLOGICO | 20 |
| 6.1 | FREATIMETRIA LOCALE..... | 24 |
| 6.2 | STRATIGRAFIA LOCALE E MODELLO GEOLOGICO..... | 30 |
| 7 | INQUADRAMENTO SISMICO | 36 |
| 8 | INDAGINI GEOGNOSTICHE | 38 |
| 8.1 | PROVE PENETROMETRICHE DINAMICHE | 38 |
| 8.2 | MODALITÀ DI INTERPRETAZIONE DEI DATI | 39 |
| 8.2.1 | NORMALIZZAZIONE RISPETTO ALLA PRESSIONE DEL TERRENO. | 39 |
| 8.2.2 | NORMALIZZAZIONE RISPETTO AL DISPOSITIVO DI BATTITURA | 40 |
| 8.2.3 | NORMALIZZAZIONE RISPETTO ALLA LUNGHEZZA DI PENETRAZIONE | 40 |
| 8.2.4 | NORMALIZZAZIONE RISPETTO ALLA LUNGHEZZA DELLE ASTE | 40 |
| 8.3 | PARAMETRI RICAVATI | 41 |
| 8.3.1 | PESO DI VOLUME | 41 |
| 8.3.2 | DENSITÀ RELATIVA (DR)..... | 41 |
| 8.3.3 | ANGOLO DI ATTRITO EFFICACE (ϕ') | 41 |
| 8.3.4 | MODULO DI DEFORMAZIONE (O DI YOUNG)..... | 41 |
| 8.3.5 | MODULO EDOMETRICO M_0 | 42 |
| 8.3.6 | MODULO DI TAGLIO DINAMICO G_0 | 42 |
| 8.3.7 | COEFFICIENTE DI POISSON | 42 |
| 8.3.8 | COEFFICIENTI DI WINKLER | 42 |

| | | |
|------|--|----|
| 8.4 | ELABORAZIONE DATI | 44 |
| 9 | PARAMETRI DEI TERRENI E MODELLO GEOTECNICO | 57 |
| 10 | CATEGORIA DI SOTTOSUOLO..... | 59 |
| 10.1 | RISULTATI DELLE ANALISI MASW E ReMi..... | 59 |
| 11 | VITA NOMINALE DI PROGETTO, CLASSE D'USO E PERIODO DI RIFERIMENTO | 65 |
| 12 | STIMA DEI PARAMETRI SISMICI..... | 66 |
| 13 | VERIFICA ALLA LIQUEFAZIONE | 67 |
| 14 | CONCLUSIONI | 68 |

1 PREMESSA

La presente relazione geologica, idrogeologica, sismica e di caratterizzazione geotecnica è stata redatta a supporto della Variante parziale al PRG dell'Ambito T12 Agognate e comprende la *Caratterizzazione e Modellazione Geologica* e le *Indagini, Caratterizzazione e modellazione geotecnica* del sito ai sensi dei cap. 3.2.2 e 6.2.1 e 6.2.2 del D.M. 17.01.2018, "Aggiornamento delle Norme Tecniche per le Costruzioni" oltre che la *Relazione geologica* ai sensi delle N.T.A. del PRGC di Novara, con particolare riferimento all'art. 35 e all'art. 37.

L'area di intervento è ubicata in prossimità del Borgo di Agognate, nella porzione nord-occidentale del territorio comunale e confina con lo svincolo autostradale di Novara Ovest a nord e con la linea ferroviaria Biella-Novara ad est, come da corografia seguente.



| LEGENDA | | | |
|---------------------------|-----------------------------------|--|---|
| Classe di idoneità | Condizioni di Pericolosità | Pericolosità ai sensi circ. 7/LAP | |
| I | a | Area senza fenomeni di frana (fig. geologica) | Pericolo di sversamento e di franamento di versanti privi di copertura vegetativa, in presenza di fenomeni di instabilità di tipo I (art. 17bis c. 4 della L.R. 56/77 e s.m.i.) |
| | b | Area caratterizzata da inagibilità per inaccessibilità della zona (fig. geologica) | Pericolo di sversamento e di franamento di versanti privi di copertura vegetativa, in presenza di fenomeni di instabilità di tipo I (art. 17bis c. 4 della L.R. 56/77 e s.m.i.) |
| | c | Area caratterizzata dalla presenza di terreni argillosi-sabbiosi ed argillosi-sabbiosi con condizioni generali di instabilità di tipo I (art. 17bis c. 4 della L.R. 56/77 e s.m.i.) | Pericolo di sversamento e di franamento di versanti privi di copertura vegetativa, in presenza di fenomeni di instabilità di tipo I (art. 17bis c. 4 della L.R. 56/77 e s.m.i.) |
| | d | Area compresa nella fascia C del P.A.L., caratterizzata dai tagli di scarpata perimetrali di cui alla Classe II, sia da inagibilità per inaccessibilità della zona (fig. geologica) sia da inagibilità e aree caratterizzate dai processi della classe II (art. 17bis c. 4 della L.R. 56/77 e s.m.i.) | Pericolo di sversamento e di franamento di versanti privi di copertura vegetativa, in presenza di fenomeni di instabilità di tipo I (art. 17bis c. 4 della L.R. 56/77 e s.m.i.) |
| III | a ₁ | Area compresa nelle fasce A, B e C del P.A.L., a scarpata alla norma di cui agli art. 29, 31, 39, Titolo II del P.A.L. | Pericolo di sversamento e di franamento di versanti privi di copertura vegetativa, in presenza di fenomeni di instabilità di tipo I (art. 17bis c. 4 della L.R. 56/77 e s.m.i.) |
| | a ₂ | Area edificata compresa nella fascia di riparo dei fossati | Pericolo di sversamento e di franamento di versanti privi di copertura vegetativa, in presenza di fenomeni di instabilità di tipo I (art. 17bis c. 4 della L.R. 56/77 e s.m.i.) |
| | a ₃ | Area edificata caratterizzata dalla presenza di strutture murarie in pietra o calcaree di tipo I (art. 17bis c. 4 della L.R. 56/77 e s.m.i.) | Pericolo di sversamento e di franamento di versanti privi di copertura vegetativa, in presenza di fenomeni di instabilità di tipo I (art. 17bis c. 4 della L.R. 56/77 e s.m.i.) |
| | b ₂ | Area edificata situata lungo il confine del P.A.L. (art. 17bis c. 4 della L.R. 56/77 e s.m.i.) e soggetta a responsabilità delle norme previste per la fascia II (art. 29, 31, 39, Titolo II del P.A.L.) secondo i disegni di cui all'art. 11 della D.G.R. 16/07/2000 del Comitato di Difesa del Territorio. | Pericolo di sversamento e di franamento di versanti privi di copertura vegetativa, in presenza di fenomeni di instabilità di tipo I (art. 17bis c. 4 della L.R. 56/77 e s.m.i.) |
| | b ₃ | Area edificata situata all'interno della fascia A del P.A.L., soggetta alle norme di cui agli art. 29, 31, 39, Titolo II del P.A.L. | Pericolo di sversamento e di franamento di versanti privi di copertura vegetativa, in presenza di fenomeni di instabilità di tipo I (art. 17bis c. 4 della L.R. 56/77 e s.m.i.) |
| | b ₄ | Area edificata compresa all'interno della fascia A del P.A.L., soggetta alle norme di cui agli art. 29, 31, 39, Titolo II del P.A.L. | Pericolo di sversamento e di franamento di versanti privi di copertura vegetativa, in presenza di fenomeni di instabilità di tipo I (art. 17bis c. 4 della L.R. 56/77 e s.m.i.) |

La Normativa tecnica di Attuazione del PRG prevede i seguenti aspetti per le aree IIC:

- art 35.14 **Classe IIC** "aree caratterizzate da innalzamenti del livello di falda freatica fino a profondità inferiori a 3 m dal piano campagna.";
- art. 35.15 "In tale classe le relazioni geologiche e geotecniche dovranno esaminare e valutare l'interferenza della falda freatica superficiale con le opere previste e, in particolare, con le eventuali porzioni interrato, per le quali dovrà essere garantita la possibilità di sommersione senza danni.";
- all'art. 35.16 "In generale non sono ammessi piani residenziali o produttivi, costruzioni accessorie e strutture tecniche ad una quota inferiore a quella del livello freatico massimo a tempo di ritorno 50 anni, o comunque ad una soggiacenza minima rilevabile dalle serie storiche disponibili che dovranno essere opportunamente documentate.";
- all'art. 35.17 "Sono però ammesse deroghe da parte dell'Autorità preposta al rilascio del permesso di costruire, per particolari motivazioni documentate attraverso specifiche relazioni ed elaborati da assoggettare alla valutazione della medesima Autorità, in relazione alle presistenze storico-architettoniche o in relazione a interventi funzionali alla realizzazione di impianti tecnologici strettamente connessi all'edificazione, qualora venga dimostrata in modo inequivocabile l'impossibilità di

realizzazioni fuori terra, con l'obbligo della presa d'atto del rischio da parte dei soggetti attuatori";

- all'art. 35.18 "La valutazione dei livelli freatici dovrà tener conto anche delle possibili variazioni nel tempo legate a diversi sfruttamenti della falda; in ogni caso, fra gli accorgimenti tecnici atti alla mitigazione del rischio, non è ammesso l'abbattimento della falda mediante pompaggio."
- **Art. 37 Classe IIIA**
- 37.1 Ai sensi della Circ. P.G.R. n.7/LAP la Classe IIIa riguarda: «Porzioni di territorio inedificate che presentano carattere geomorfologici o idrogeologici che le rendano inidonee a nuovi insediamenti (aree dissestate, in frana, potenzialmente dissestabili o soggette a pericolo di valanghe, aree alluvionabili da acque di esondazione ad elevata energia). Per le opere infrastrutturali di interesse pubblico non altrimenti localizzabili (con specifico riferimento ad es. ai parchi fluviali) vale quanto già indicato all'Art.31 della L.R. 56/77».
- 37.2 Sulla base delle tipologie di pericolosità geologica sono state definite le seguenti sottoclassi:
- 37.3 Classe IIIa1: riguarda le seguenti porzioni di territorio:
 - aree inedificate all'interno delle Fasce A e B del P.A.I;
 - aree comprese nella zona di esondazione individuata dagli approfondimenti idraulici eseguiti per conto della Provincia di Novara nello Studio idrodinamico di dettaglio e messa a punto del Piano per l'Assetto Idrogeologico a scala provinciale dei torrenti Agogna e Terdoppio redatto da Hydrodata (2000) ed adottate dal PAI nell'Aprile 2001, e individuate sulle Tavole 3.3, 3.4, 3.5 - "Carta delle aree esondabili e proposta di Variante al piano Stralcio per l'Assetto Idrogeologico del Bacino del Fiume Po" (scala 1:10.000) con la dicitura "Aree di esondazione per Q.T.R. 100" per il Torrente Terdoppio e "Aree di esondazione per Q.T.R. 200" per il Torrente Agogna caratterizzate da allagamenti per tracimazione torrentizia con tiranti idraulici e energia da modesta ad elevata, sono riportati sulle Tavole 2A, 2B, 2C – Carta geomorfologica e dei dissesti con la dicitura "Aree esondabili in naturalità di Torrente Agogna e Torrente Terdoppio".
 - aree comprese nelle fasce di rispetto di 10 metri dei corsi d'acqua naturali iscritti all'elenco delle acque pubbliche;
 - aree comprese nelle fasce di rispetto di 10 metri dei corsi d'acqua artificiali principali aventi alveo demaniale;
 - aree comprese nelle fasce di rispetto di 10 metri dei corsi d'acqua artificiali minori aventi alveo demaniale, di cui all'art. 32.3, punto i).
 - aree comprese nelle fasce di rispetto di 5 metri dei corsi d'acqua artificiali aventi alveo privato, di cui all'art. 32.3, punto i).

- *aree interessate da esondazione nel corso dell'alluvione del Maggio 2002 direttamente rilevate in sito, considerate rappresentative delle aree esondabili ai fini della valutazione della pericolosità.*
- *37.4 Le aree comprese nelle fasce di rispetto di 10 e 5 metri, non sono rappresentate nella sintesi al 10.000, ma si riferiscono ai corsi d'acqua individuati nell'Elaborato 5 Carta del reticolo idrografico e pertanto in sede di concessione edilizia sarà cura del progettista individuare la reale demanialità del corso d'acqua e la singola fascia di rispetto.*
- *37.7 Qualora non in contrasto con le norme del PAI, nelle sottoclassi IIIa1, IIIa2, IIIa3 sono tuttavia ammessi anche i seguenti interventi, i cui progetti siano stati redatti sulla base di rigorosi accertamenti geologici, geotecnici, idrogeologici e idraulici che stabiliscano gli accorgimenti tecnici atti a garantire la fattibilità degli interventi stessi nell'ambito di requisiti di sicurezza propria e tali da non aggravare la situazione di pericolosità esistente:*
 - *f) gli attraversamenti dei rii minori e la viabilità per il necessario collegamento, non altrimenti localizzabile, di zone residenziali o produttive esistenti o previste dal P.R.G. e dai S.U.E.;*
 - *i) le piantumazioni e le sistemazioni a verde, la manutenzione e lo sfruttamento forestale, secondo le disposizioni legislative vigenti con particolare riferimento alle disposizioni del P.A.I.; la conservazione allo stato di natura, il mantenimento delle attività agricole in atto e/o le variazioni colturali che non costituiscono ostacolo al regolare deflusso delle acque o che non producano instabilità dei versanti;*
 - *l) la recinzione dei terreni purché le opere non modifichino la stabilità dei versanti e il regolare deflusso delle acque, anche in occasione di piene eccezionali.*

L'area risulta esterna alla perimetrazione delle fasce fluviali del PAI.

La verifica della cartografia relativa al Piano di Gestione Rischio Alluvioni, approvato con DPCM del 27.10.2016, evidenzia che l'area ricade all'esterno degli scenari da alluvione, come da stralcio cartografico seguente della Tavola 116 SE.

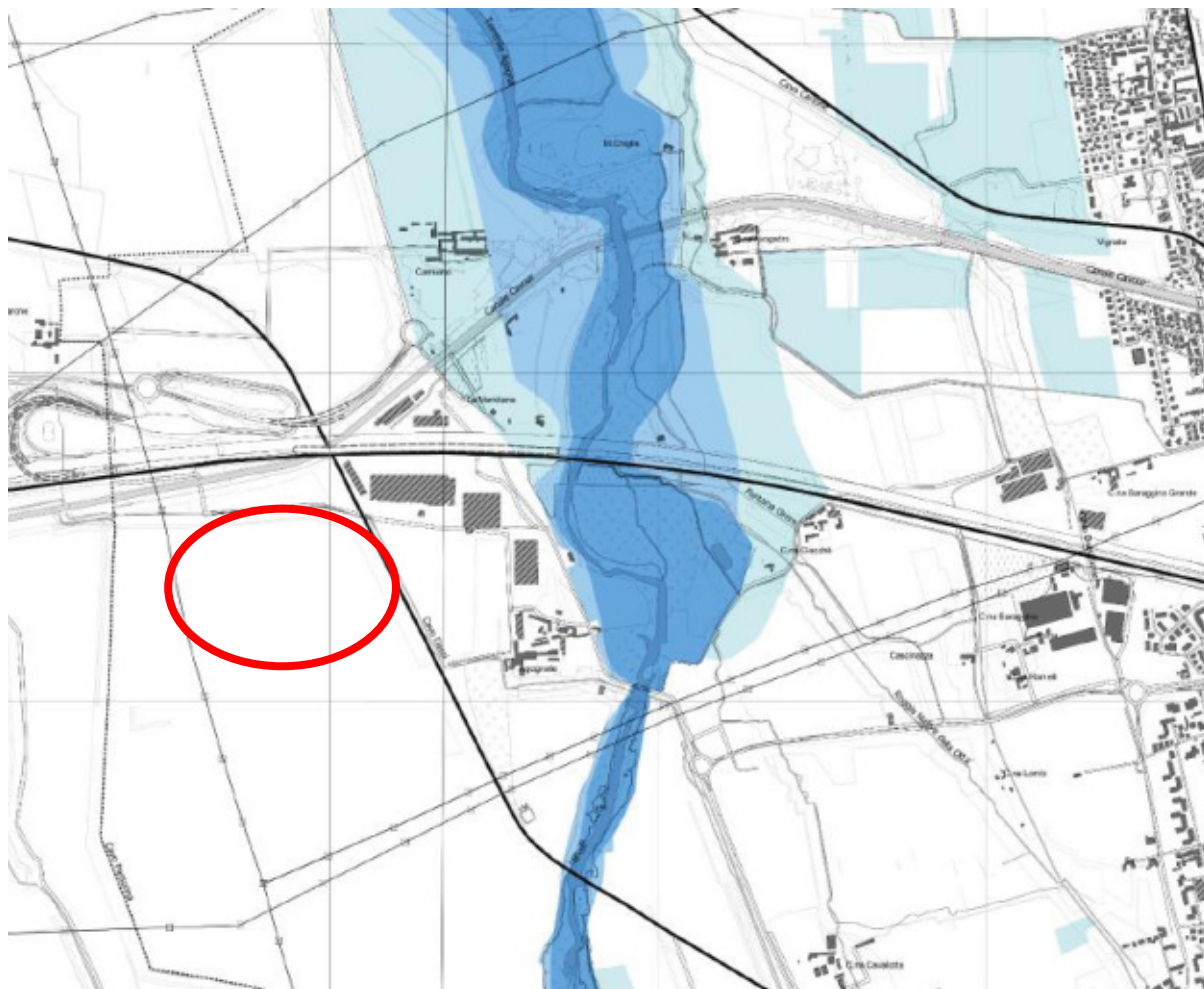
Direttiva 2007/60 CE – D.Lgs 49/2010
Informazione e consultazione al pubblico

**CARTA DELLA PERICOLOSITA'
DA ALLUVIONE**

Scala 1:25.000

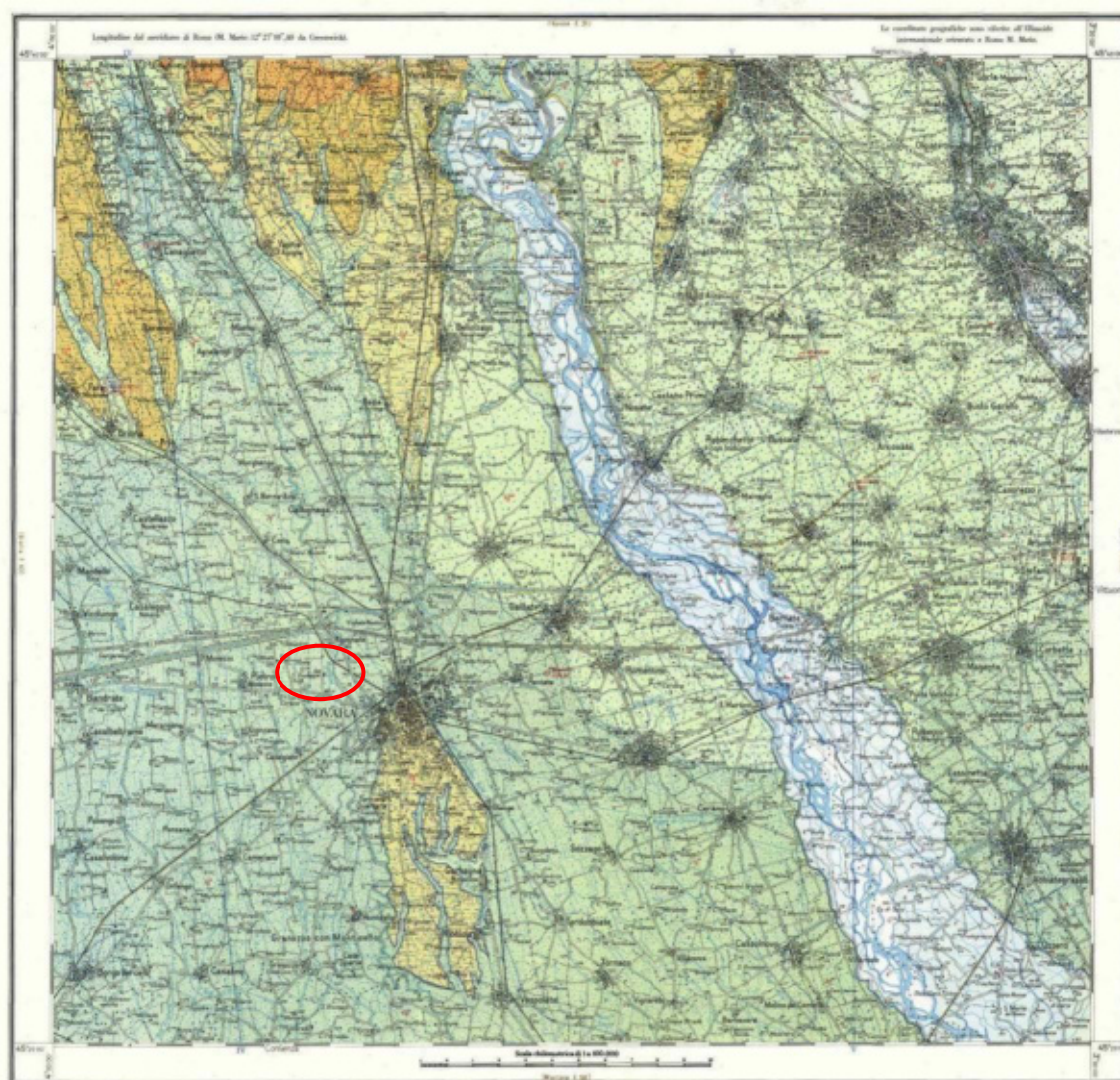
SCENARI DI ALLUVIONE

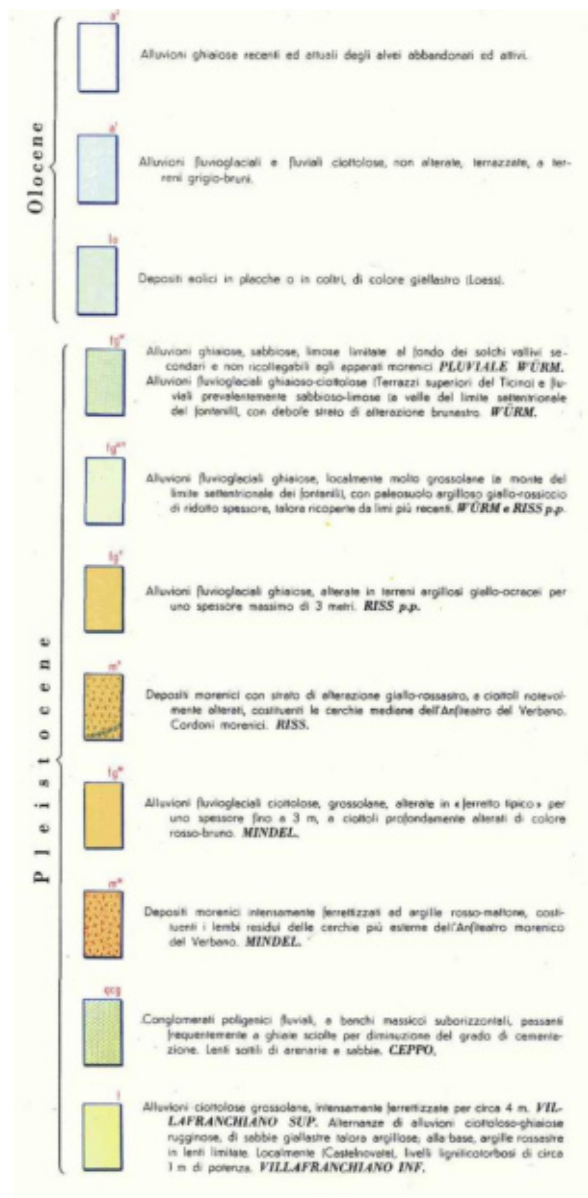
-  Probabilità di alluvioni elevata (tr. 20/50) (H-Frequente)
-  Probabilità di alluvioni media (tr. 100/200) (M-Poco frequente)
-  Probabilità di alluvioni scarsa (tr. 500) (L-Rara)
-  Limiti comunali



3 INQUADRAMENTO GEOLOGICO E GEOMORFOLOGICO

L'area oggetto del presente studio è localizzata nella pianura novarese, nella porzione settentrionale del Comune di Novara, in un'area pianeggiante con quote altimetriche che si attestano intorno ai 156 m s.l.m. La cartografia geologica racchiude il territorio entro cui ricade l'area in studio nel Foglio n° 44 "Novara" della Carta Geologica d'Italia, alla scala 1:100.000.





La genesi dell'area novarese è riconducibile alle fasi di espansione glaciale verificatesi nel corso del Pleistocene ed alle fasi più recenti di modellamento della Pianura Padana, indotte dalla dinamica fluviale olocenica.

Il modellamento del territorio novarese è infatti avvenuto mediante l'azione combinata delle meccaniche deposizionali ed erosive legate alla presenza delle masse glaciali pleistoceniche. Da un lato l'azione d'accumulo esercitata dai ghiacciai pleistocenici che, mettendo in gioco enormi quantità di materiale proveniente dal proprio bacino d'alimentazione, è responsabile della formazione di cordoni morenici, ben evidenti alcune decine di km a Nord del capoluogo. Dall'altro, l'azione erosiva dei torrenti proglaciali che, rimodellando la superficie topografica

durante la fase di ritiro dei ghiacciai, danno luogo a morfologie depresse dalla tipica forma di valloni, a fondo debolmente concavo.

Il *Livello fondamentale della pianura* definisce i depositi riferibili all'ultima fase di colmamento della pianura, avvenuta nel corso del tardo Pleistocene, ad opera di apparati fluvio-glaciali di notevoli dimensioni, ed è l'elemento fisiografico principale che caratterizza l'area di studio.

Tale definizione è stata introdotta da Petrucci e Tagliavini (1969); studi condotti successivamente da Cremaschi (1987), permettono di datare in maniera più circostanziata, in funzione di studi pedologici e paleontologici, la messa in posto di questi depositi attribuendoli al tardo Pleistocene.

Inoltre gli studi morfologici proposti da Marchetti (1990) individuano i principali corsi d'acqua attuali della Pianura Padana come *underfit streams*, ovvero corsi d'acqua sotto-alimentati rispetto alle dimensioni dei corrispondenti solchi vallivi pleistocenici; tali studi, applicabili anche all'ambito del Ticino e dei suoi affluenti, rivelano la presenza, nel tardo Pleistocene, di corsi d'acqua a canali multipli intrecciati, con portate anche di 20 volte maggiori rispetto a quelle attuali.

L'assetto definitivo della pianura si realizza in concomitanza con la messa a regime dei bacini lacustri prealpini che, riducendo la portata liquida e solida dei fiumi, comporta un'intensa fase erosiva con conseguente incisione dei solchi vallivi attuali.

La morfologia del *livello fondamentale della pianura* è caratterizzata nella zona da un'uniformità di quote comprese tra i 140 e i 160 m s.l.m. ed è interrotta solamente dalle incisioni oloceniche dei corsi d'acqua attuali.

Nell'ambito del territorio comunale il terrazzo fluvio-glaciale medio pleistocenico rappresenta l'elemento morfologicamente più rilevato del territorio comunale, con una quota massima pari a 163 m s.l.m.; l'entità del rilievo naturale è enfatizzata dall'accrescimento urbano nelle varie epoche storiche, segnatamente in periodo medioevale e rinascimentale (Cerchia dei Baluardi).

Tale terrazzo si estende dal nucleo centrale dell'abitato di Novara, culminante a Nord con un apice arrotondato, che si eleva per una decina di metri e si raccorda al sottostante *Livello fondamentale della pianura* mediante delle sottili fasce colluviali, di mediocri caratteristiche geotecniche e di limitata estensione areale, data la scarsa energia di rilievo.

Le incisioni dei corsi d'acqua recenti ed attuali sono gli ambiti morfologicamente più depressi del territorio in esame e comprendono i depositi più recenti, di età olocenica, connessi

all'attività dei corsi d'acqua attuali; a breve distanza dall'area oggetto di studio scorre uno dei due principali corsi d'acqua che solcano il territorio comunale: il Torrente Agogna.

La monocultura del riso ha poi determinato un successivo modellamento antropico delle aree di pianura, con sostanziale annullamento delle forme anticamente presenti.

L'aspetto fisiografico generale è caratterizzato in sintesi dalla presenza di tre elementi ben riconoscibili, che riflettono la propria genesi e la propria natura geologica, riassumibili come segue:

- terrazzo fluvioglaciale medio pleistocenico, indicato sulla Carta Geologica d'Italia alla scala 1:100.000 come: *"Alluvioni fluvioglaciali ghiaiose, alterate in terreni argillosi giallo-ocraei per uno spessore massimo di 3 metri. RISS p.p."*
Consistono di ghiaie e sabbie alterate, a matrice sabbiosa, talora con lenti intercalate limoso-argillose. La copertura è costituita da consistenti depositi loessici e sottostanti paleosuoli policiclici argillificati e rubefatti, con profilo troncato BtC, evoluti sui sedimenti incoerenti sottostanti; costituiscono il nucleo del centro abitato, morfologicamente rilevato, per erosione, rispetto al resto della città.
- livello fondamentale della pianura, designato come *"Alluvioni ghiaiose, sabbiose, limose limitate al fondo dei solchi vallivi secondari e non ricollegabili agli apparati morenici FLUVIALE WÜRME e Alluvioni fluvioglaciali ghiaioso-ciottolose (Terrazzi superiori del Ticino) e fluviali prevalentemente sabbioso-limose (a valle del limite settentrionale dei fontanili), con debole strato di alterazione brunastro WÜRME"*. Sono costituiti da sabbie e ghiaie mal selezionate e discretamente arrotondate, i ciottoli hanno dimensioni medie intorno a qualche cm e sono poco alterati. La matrice è generalmente sabbiosa grossolana e di colore grigio-giallastro. I clasti sono prevalentemente di natura cristallina e metamorfica. Sono la facies fluvioglaciale più recente e costituiscono, nel territorio comunale, la piana sulla quale insiste la gran parte dell'insediamento urbano ed il sito in esame.
- incisioni dei corsi d'acqua recenti ed attuali, corrispondenti alle fasi più recenti di modellamento della Pianura Padana, indotte dalla dinamica fluviale olocenica che hanno dato origine a depositi di ghiaie sabbiose, sabbie ghiaiose e limi e rappresentano le facies di canale dei corsi d'acqua recenti ed attuali. I sedimenti sono organizzati generalmente in depositi in facies di barra longitudinale e trasversale, in

depositi in facies di piana esondabile e di barra di meandro, caratterizzando gli alvei dei corsi d'acqua e le associate zone golenali.

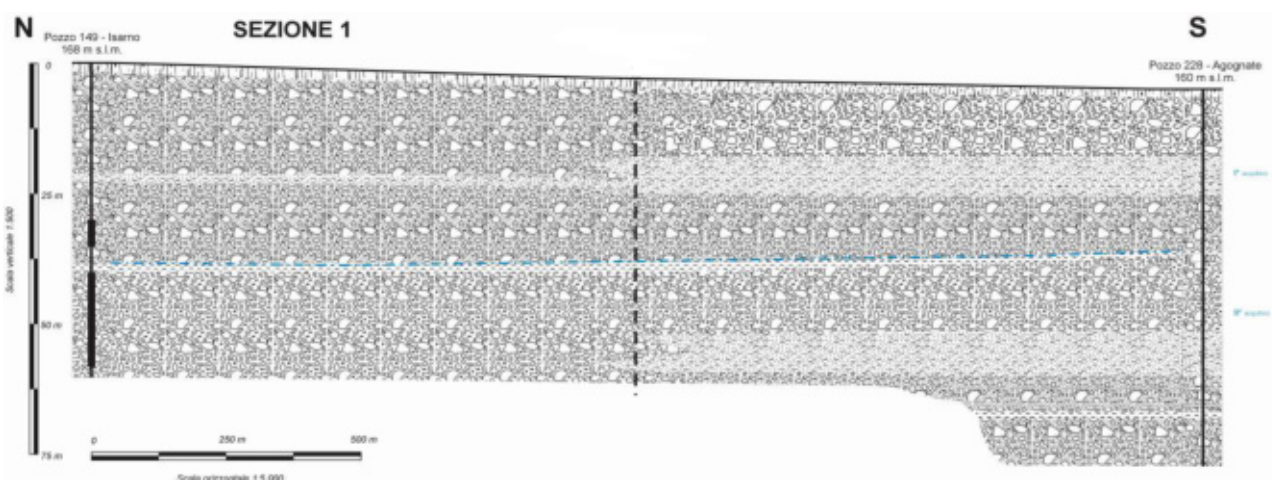
Da un'analisi delle sezioni stratigrafiche, ricostruite con i dati dei pozzi idropotabili del Comune di Novara, si osserva un orizzonte più superficiale "ghiaioso-sabbioso" particolarmente evidente nella porzione centro-settentrionale del Comune di Novara e più precisamente nella zona di Veveri, Vignale, Agognate sino ai quartieri di S. Agabio, S. Rita; tale complesso è costituito dalle alluvioni fluvioglaciali quaternarie più recenti e presenta uno spessore medio di circa 35 metri.

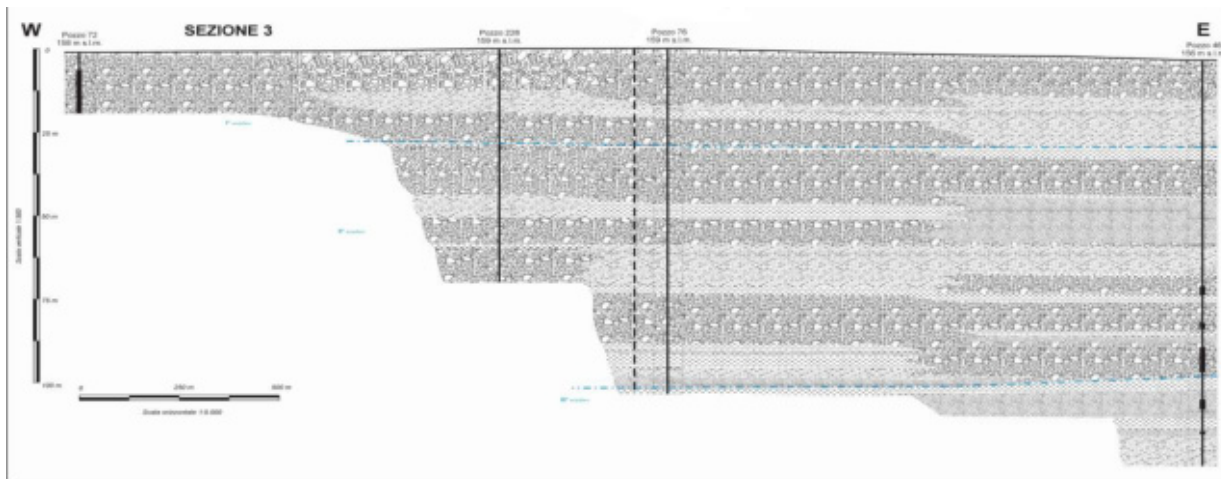
La base di questo orizzonte superficiale è costituita da un livello argilloso, presente in modo pressoché continuo nell'ambito del territorio comunale, ad una profondità variabile tra i 30 ed i 40 m e con uno spessore medio di 4 metri.

A questo orizzonte semipermeabile si associa sempre inferiormente un livello ghiaioso costituito da ghiaie e sabbie generalmente sciolte, anche molto grossolane, che solo in alcune limitate zone presenta una matrice argillosa; lo spessore medio di questo livello è di circa 10 metri.

Al di sotto di questo livello si presenta una più potente unità sabbiosa, in cui si presentano intercalazioni di materiale più grossolano e di argille; la potenza media è di circa 40-50 m e le profondità massime sono di circa 100 m. dal p.c.

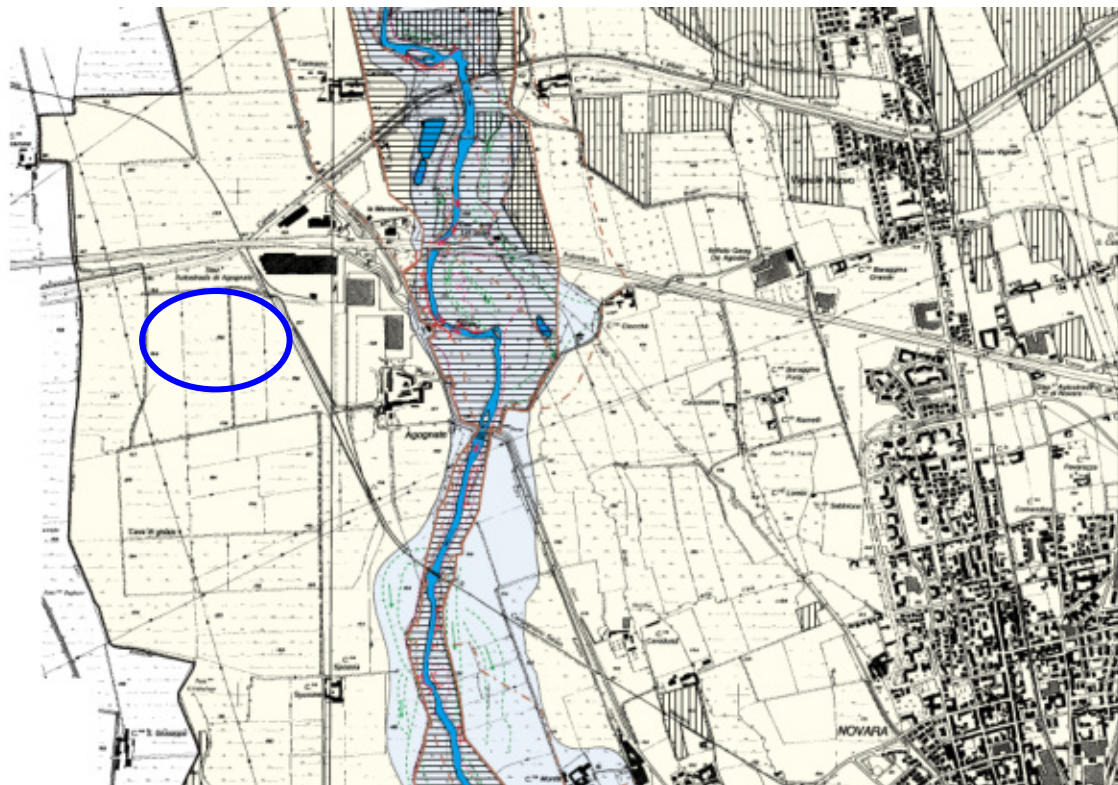
La base dei depositi descritti ai punti precedenti, che possono essere ricondotti ad un'unica litozona di tipo "ghiaioso-sabbiosa", è individuata dalla comparsa di argille grigio-azzurre con presenza di torba, a cui localmente si intercalano livelli modesti di sabbie; questi depositi sono attribuibili al periodo Villafranchiano.





4 LINEAMENTI GEOMORFOLOGICI LOCALI

Nella cartografia geologica del vigente PRGC, allegata di seguito in stralcio non in scala, sono rappresentati gli elementi geologici precedentemente descritti, a cui si sovrappongono gli elementi geomorfologici pertinenti la dinamica fluviale del torrente Agogna. Nessun elemento di dinamica fluviale attiva si riconosce nell'area in esame.



ELEMENTI LITOLOGICI

-  Depositi fluvioglaciali del Pleistocene medio-superiore ghiaie e sabbie alterate con coperture eoliche e paleosuoli
-  Depositi fluviali del Pleistocene superiore sabbia ghiaiosa con locali lenti limose e sottile copertura pedogenet
-  Depositi eluvio-colluviali del Pleistocene superiore - Clocene limi sabbiosi
-  Depositi alluvionali del Clocene limi sabbiosi e sabbie ghiaiose non alterate

Dissesti torrentizi

-  Involuppo delle aree interessate da effetti alluvionali nel corso dell'evento del maggio 2002, interne alle fasce PAI (cfr. Elab. 8)
-  Involuppo delle aree caratterizzate da allagamenti per tracimazioni del sistema irriguo (fraz. Pernate) - EM₁
-  Area esondabile in natura dai Torrenti Agogna e Terdoppio, secondo lo studio di Hydrodata per la Provincia di Novara
-  Aree caratterizzate da allagamenti delle aree agricole e/o rigurgiti fognari (cfr. Elab. 8)

FORME FLUVIALI, FLUVIOGLACIALI E DI VERSANTE

- Forme di erosione
-  Orto di terrazzo inattivo h < 3 m
 -  Orto di terrazzo h > 3 m
 -  Orto di pendio
 -  Traccia di corso d'acqua esteso, a livello della pianura o leggermente incassato
 -  Sponda in erosione
 -  Alveo in approfondimento

LEGENDA FASCE FLUVIALI

FASCE PIANO STRALCIO PER L'ASSETTO IDROGEOLOGICO DEL BACINO DEL PO
Tavole di delimitazione delle fasce fluviali (Modifiche e integrazioni al PPSAI)

-  Limite tra la Fascia A e la Fascia B
-  Limite tra la Fascia B e la Fascia C
-  Limite di progetto tra la Fascia B e la Fascia C
-  Limite esterno della Fascia C

Il ponte di Agognate, poco a sud della zona di progetto, rappresenta il punto di passaggio tra due situazioni morfologiche differenti del corso d'acqua: a monte del ponte stradale l'alveo risulta in sostanziale equilibrio o leggera aggradazione mentre, a valle del ponte, il corso d'acqua risulta più incassato rispetto alla pianura, con effetti di erosione al fondo anche accentuati. Tale situazione si riflette direttamente sugli effetti di esondazione del corso d'acqua, nel corso di eventi di piena di particolare importanza: l'area di esondazione, che occupa una ampia zona ai lati del corso d'acqua nel tratto a monte del ponte di Agognate, si riduce a valle ad una stretta fascia pertinenziale che si mantiene tale sino al ponte della strada per Biandrate.

Il cambio dell'assetto morfologico del corso d'acqua è d'altronde ben evidenziato dalla comparazione della cartografia storica con l'andamento attuale dell'alveo fluviale (cfr. Carta Geomorfologica seguente): risulta infatti evidente il processo di rettificazione dell'alveo che ha interessato nell'ultimo secolo il torrente Agogna, nel tratto compreso tra il ponte di Agognate e Corso Vercelli. Risulta inoltre altrettanto evidente l'abbandono di un tratto meandriforme, anch'esso dovuto all'approfondimento dell'alveo, posto in destra idrografica nei pressi della linea ferroviaria Novara – Carpignano Sesia, in prossimità dell'area in esame.





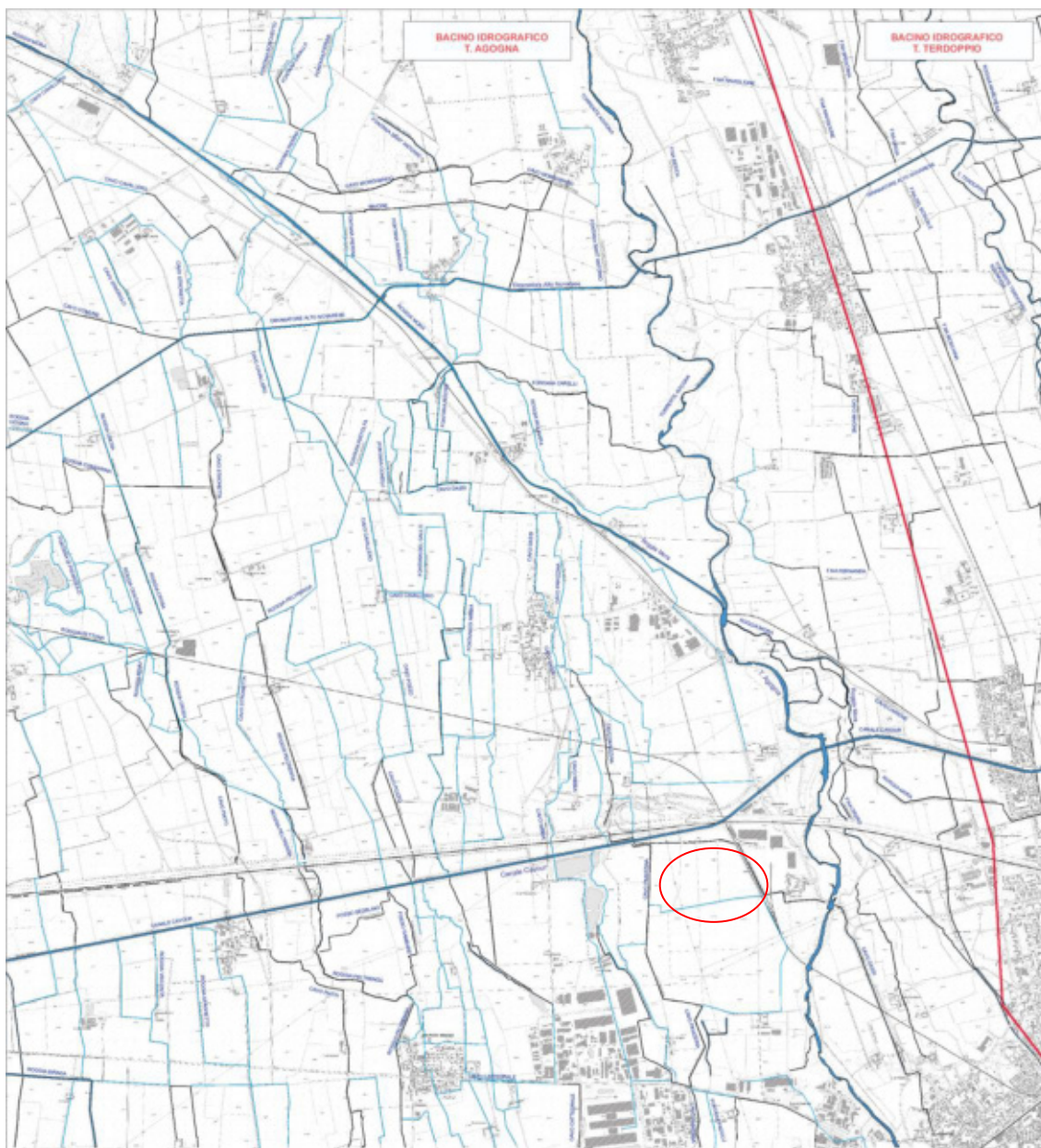
La situazione descritta viene peraltro confermata anche dalla perimetrazione delle fasce fluviali, condotta dall'Autorità di Bacino del Fiume Po a seguito di studi di dettaglio effettuati dalla soc. Hydrodata per la Provincia di Novara, nell'ambito della definizione del Piano Stralcio Fasce Fluviali. Le suddette fasce di delimitazione delle aree oggetto di inondazione, per differenti tempi di ritorno, appaiono ben estese nel tratto a monte del ponte di Agognate per restringersi decisamente nel tratto a valle, sino al ponte della strada per Biandrate.

Dalle risultanze della ricerca storica presso la Banca Dati Geologica dell'Arpa Piemonte si evince, per il periodo per il quale sono disponibili dati attendibili, il verificarsi di alcuni episodi di esondazione dei torrenti che interessano il territorio novarese e segnatamente la zona di interesse.

- Nel novembre 1807 è riportata una piena dei torrenti Agogna e Terdoppio con danni al ponte di Agognate.
- Nell'aprile 1848 viene segnalata la piena del Torrente Agogna che rende necessario il taglio dell'argine presso il ponte di Agognate per evitare danni allo stesso, lasciando defluire le acque nelle campagne circostanti.
- Nel maggio 2002 una forte piena fluviale interessa sia i torrenti Agogna e Terdoppio sia i cavi irrigui minori; nella zona in esame risulta essere stata ampiamente inondata l'area compresa tra la sponda del corso d'acqua e la S.P. 299 a monte del ponte di Agognate, precauzionalmente chiuso al traffico ma non tracimato.

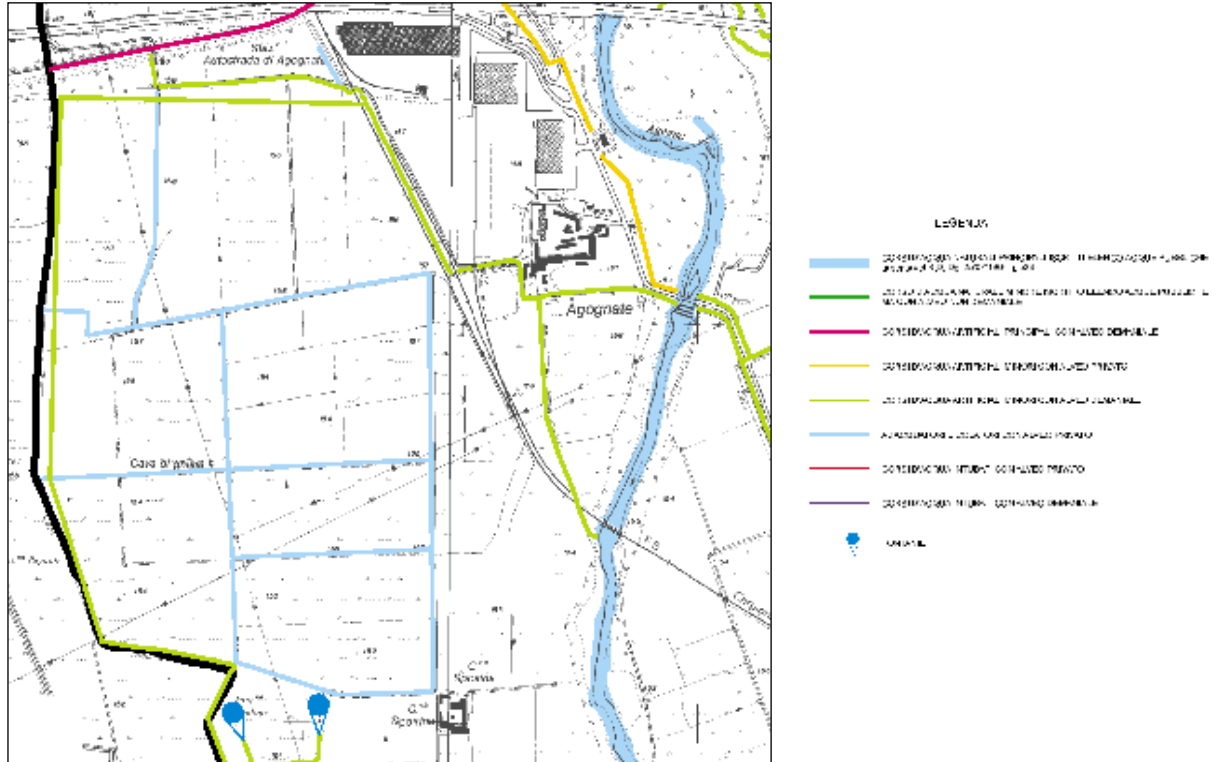
5 INQUADRAMENTO IDROGRAFICO

Dal punto di vista idrografico, la porzione di territorio circostante l'area di intervento è interessata dalla presenza di uno dei corsi d'acqua principali che solcano il territorio comunale di Novara: il Torrente Agogna, che scorre ad Est del sito oltre che dal maggior canale irriguo rappresentato dal canale Cavour (cfr. Corografia dei bacini sotto raffigurata)



Vi è inoltre una rete di rogge, canali e adacquatori, che costituiscono il reticolato minore presente sull'intero territorio comunale, storicamente interessato da una intensa attività agricola, la maggior parte dei quali sono di ridotta portata e di modesta continuità, utilizzati solo stagionalmente a servizio dei singoli appezzamenti agricoli. Da evidenziare tra i corsi

d'acqua artificiali principali, la presenza del Cavo Panizzina che scorre a Ovest dell'area oggetto di intervento e delimita il confine con il territorio comunale di San Pietro Mosezzo ed il Cavo Dassi che costeggia la linea FFSS Novara-Biella ed il Borgo di Agognate per poi proseguire a fianco della S.P. 229 della Valsesia.



Stralcio non in scala della Carta del Reticolo idrografico 5A del PRG vigente

6 INQUADRAMENTO IDROGEOLOGICO

Dal punto di vista idrogeologico, l'area è sita a valle della cosiddetta "linea dei fontanili" ed è alimentata da una falda freatica molto superficiale, con marcate oscillazioni su base stagionale, influenzate dalle pratiche irrigue. Dai dati desunti dalle perforazioni di numerosi pozzi idrici, la situazione stratigrafica è costituita da una sequenza sabbioso-ghiaiosa, con intercalazioni argillose di potenza contenuta, fino ad una profondità dell'ordine di circa 100 m da p.c. A 30 m di profondità è riscontrabile un orizzonte continuo a tessitura argillosa, con una notevole continuità laterale.

Alla base di questa prima litozona a tessitura medio-grossolana, si rinviene uno strato di argille azzurre, talora torbose, con subordinati livelli sabbiosi, ascrivibili al Villafranchiano.

La sequenza descritta indica la presenza di due acquiferi, dei quali il primo di tipo freatico, occupante la porzione grossolana sommitale fino alla profondità di circa 30 m dove è contenuto dal livello argilloso sopra descritto, ed il secondo di tipo multistrato semiconfinato.

La superficie piezometrica dell'acquifero freatico è generalmente situata ad una profondità variabile da pochi metri sino ad una decina di metri, in relazione alla quota del piano campagna e alla litologia di superficie, e risulta influenzata su base stagionale dalle pratiche irrigue.

L'andamento generale della falda è verso S/SSE, con un gradiente idraulico medio dell'acquifero freatico dell'ordine del 2-3‰, un valore di permeabilità medio stimato pari a $8,7 \times 10^{-5} \text{ m}\cdot\text{s}^{-1}$ ed un valore di trasmissività medio pari a $2,2 \times 10^{-3} \text{ m}^2\cdot\text{s}^{-1}$. Prove di pozzo e di acquifero effettuate in un piezometro presente nella proprietà hanno fornito i seguenti parametri per la falda superficiale: trasmissività $1,9 \cdot 10^{-2} \text{ m}^2/\text{s}$, permeabilità $9,7 \cdot 10^{-4} \text{ m/s}$;



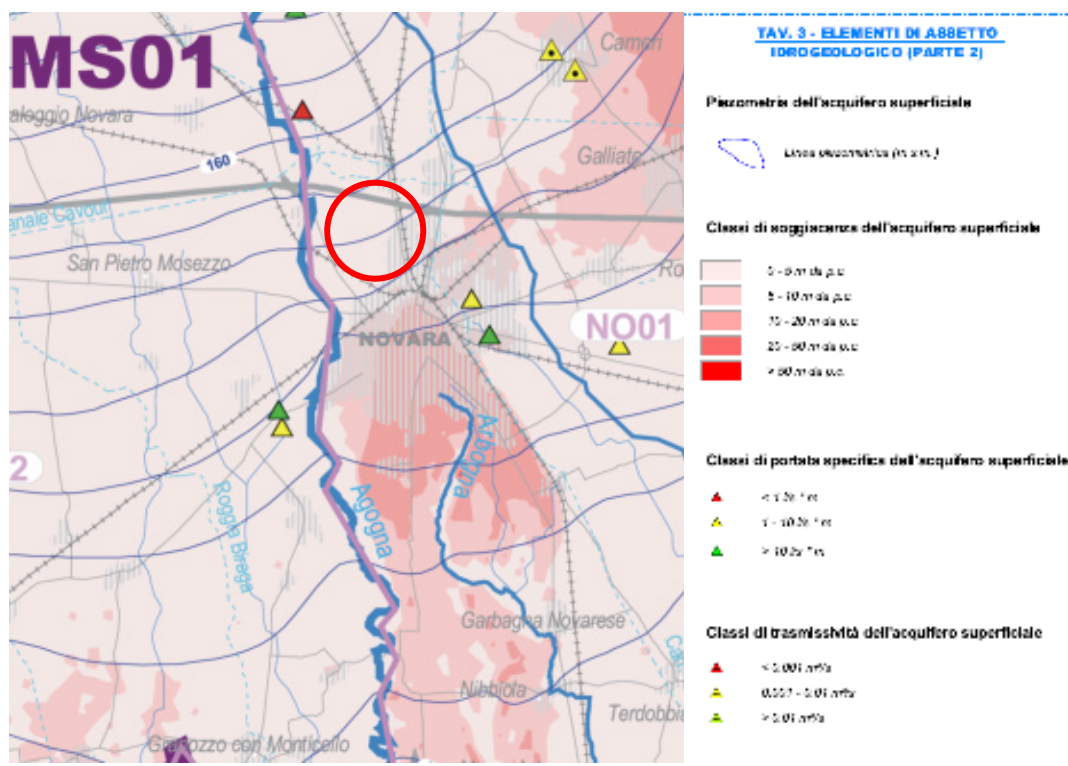
- 

Sabbie ghiaiose con locali lenti limose
 Presenza di falda freatica con profondità media variabile tra 2 e 4 m
 PARAMETRI GEOTECNICI: angolo di attrito $32^\circ < \phi < 35^\circ$
 coesione $c = 0.0 \text{ t/m}^2$
 peso specifico $\gamma = 2.0 \text{ t/m}^3$
- 

Aree sabbioso-ghiaiose caratterizzate da innalzamenti del livello della falda freatica fino a profondità inferiori a 3m dal piano campagna

Le caratteristiche dell'acquifero freatico all'epoca delle misurazioni per la predisposizione della Carta Idrogeologica di PRGC, sopra riportata (1996), indicavano un livello medio della falda, in corrispondenza del sito in esame, di circa 3 - 4 m con oscillazioni stagionali nell'ordine di 1-1,5 m, in funzione del regime pluviometrico e delle attività irrigue nei canali e nelle risaie circostanti ma con possibilità di risalita sino a quote inferiori a 3 m da p.c.

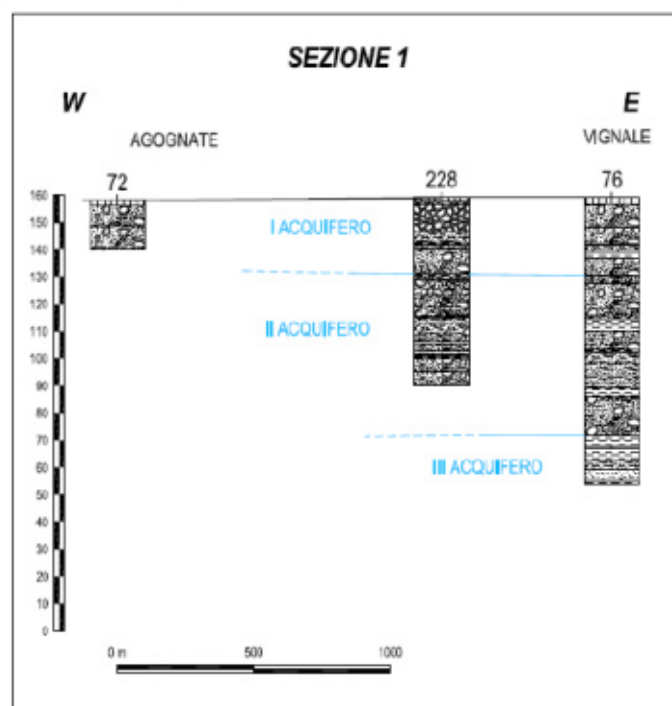
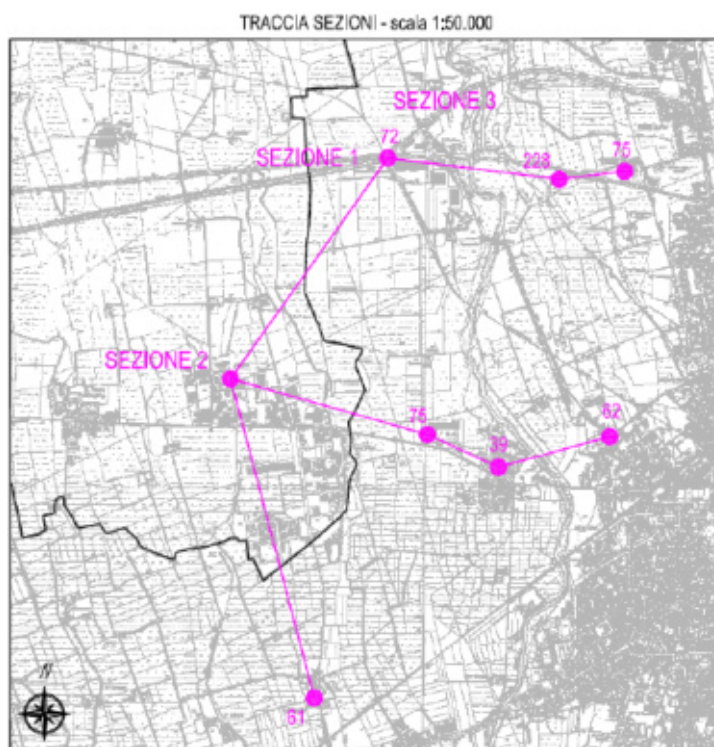
Tale soggiacenza viene anche confermata dal Piano Tutela Acque della Regione Piemonte, Tav. 3 "Elementi di assetto idrogeologico" (riportata in stralcio) che indica un valore medio di circa 152-153 m s.l.m. a fronte di una quota di piano campagna di circa 156 m s.l.m.

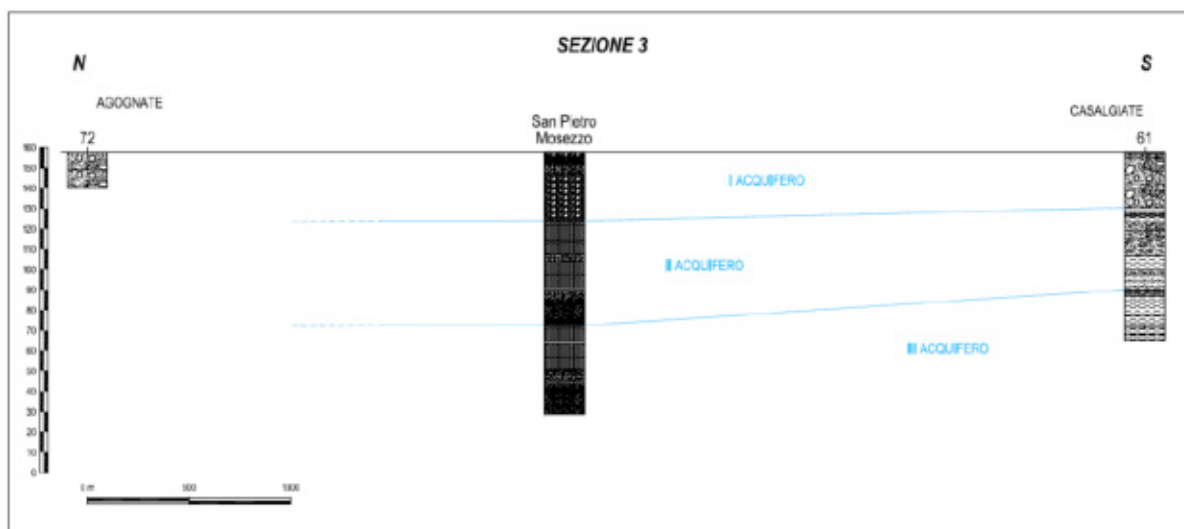
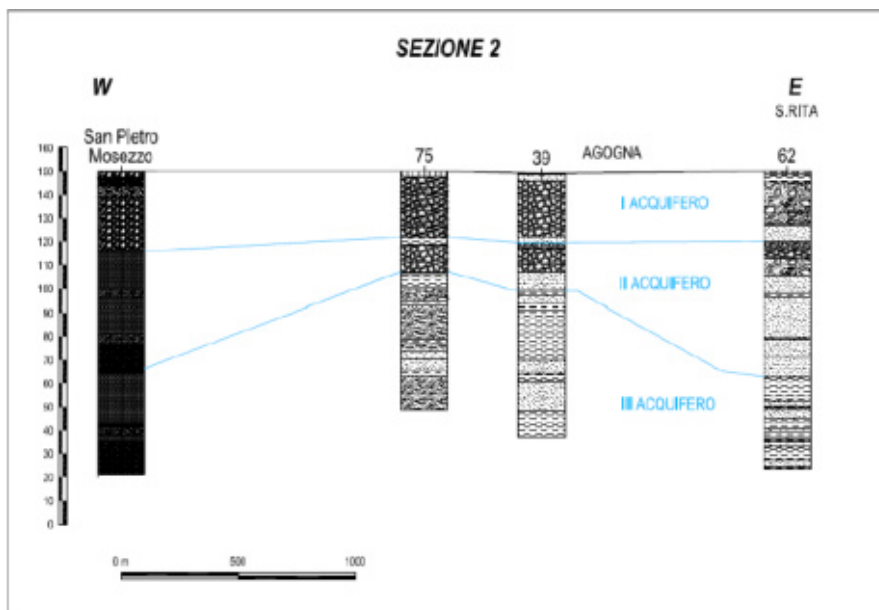


L'acquifero profondo, individuabile come accennato a partire da circa 30 m, interessa la restante porzione della sequenza sabbioso-ghiaiosa, fino ad una profondità di circa 100 m; questo acquifero, di tipo semiconfinato, è captato da tutti i pozzi comunali e dalla gran parte dei pozzi privati profondi.

Il livello piezometrico medio è nell'ordine dei 10 m dal p.c., con un andamento generale delle linee isopiezometriche N-S; i parametri idrodinamici, determinati in alcune prove di collaudo di alcuni pozzi comunali, indicano una permeabilità di $3,4 \times 10^{-4} \text{ m} \cdot \text{s}^{-1}$ ed una trasmissività di $2,0 \times 10^{-2} \text{ m}^2 \cdot \text{s}^{-1}$; il valore del gradiente idraulico è piuttosto variabile da un minimo di 1-2‰ ad un massimo del 6-7‰, in corrispondenza del quartiere di S. Agabio, in virtù della maggior concentrazione di captazioni, che inducono la formazione di un cono di depressione molto accentuato.

Nelle sezioni seguenti sono rappresentati graficamente gli aspetti dell'assetto idrogeologico locale sopra illustrati.

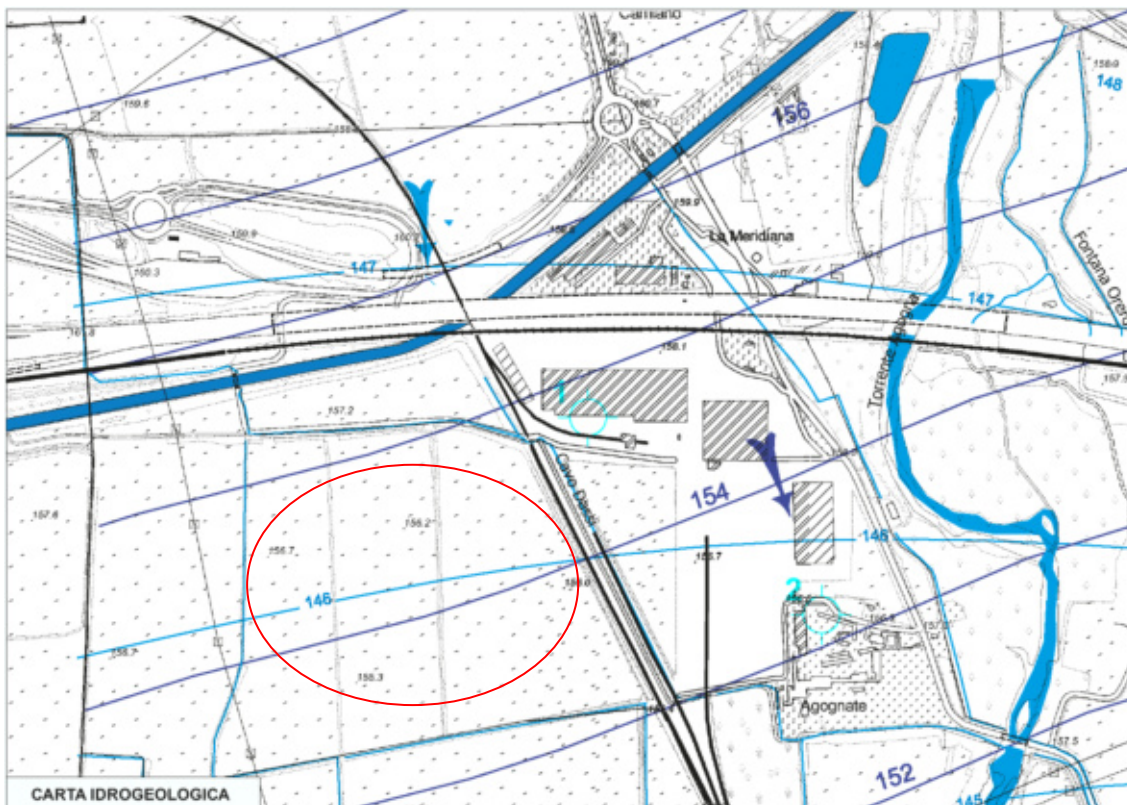




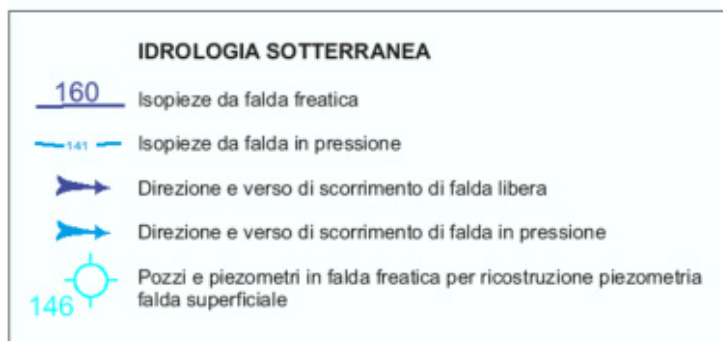
6.1 FREATIMETRIA LOCALE

Mediamente nell'area di pianura che si estende ad Ovest dell'abitato di Novara, la falda freatica ha una soggiacenza media di circa 3 metri con una direzione di flusso regionale NW-SE. Nell'area in esame, sulla base dei dati a disposizione, si osserva che presso la Frazione di Agognate la falda freatica presenta una direzione NNW-SSE ed una quota piezometrica media compresa tra 150-155 m.s.l.m.

Si osserva inoltre, dal confronto tra le quote altimetriche del piano campagna e le quote piezometriche, che tutta l'area in esame è caratterizzata dalla presenza di una soggiacenza ridotta, inferiore a 3 m da piano campagna (cfr. Carta Idrogeologica seguente).



Legenda carta idrogeologica



I valori massimi di soggiacenza si riscontrano solitamente nel periodo Marzo-Aprile, prima dell'adacquamento delle risaie, mentre le minime soggiacenze si hanno nel periodo di Agosto-Settembre. In base ai dati acquisiti dallo studio scrivente nell'ambito di precedenti incarichi, si riportano nella seguente tabella i valori di soggiacenza misurati in prossimità del sito in esame (Borgo di Agognate).

| | |
|------------------|----------------|
| 10 Maggio 2010 | 3,53 m da p.c. |
| 7 Giugno 2010 | 3,97 m da p.c. |
| 13 luglio 2010 | 4,14 m da p.c. |
| 9 settembre 2010 | 4,22 m da p.c. |

| | |
|------------------|----------------|
| 18 ottobre 2010 | 4.06 m da p.c. |
| 23 febbraio 2011 | 4.15 m da p.c. |
| 9 marzo 2012 | 4.31 m da p.c. |

Una ricerca di dati piezometrici presso l'Associazione Irrigazione Est- Sesia ha fornito alcune misure di massima e di minima soggiacenza di un piezometro collocato nel centro di Nibbia (coordinate UTM 465350E – 5037425N), a circa 3 km a NW del sito indagato.

Stazione piezometrica di NIBBIA - 012 a

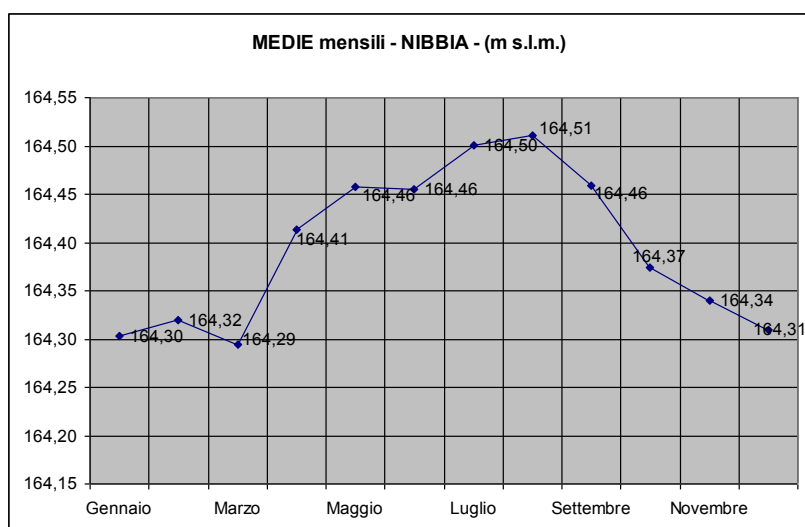
Quota terreno: **165,37** m s.l.m.

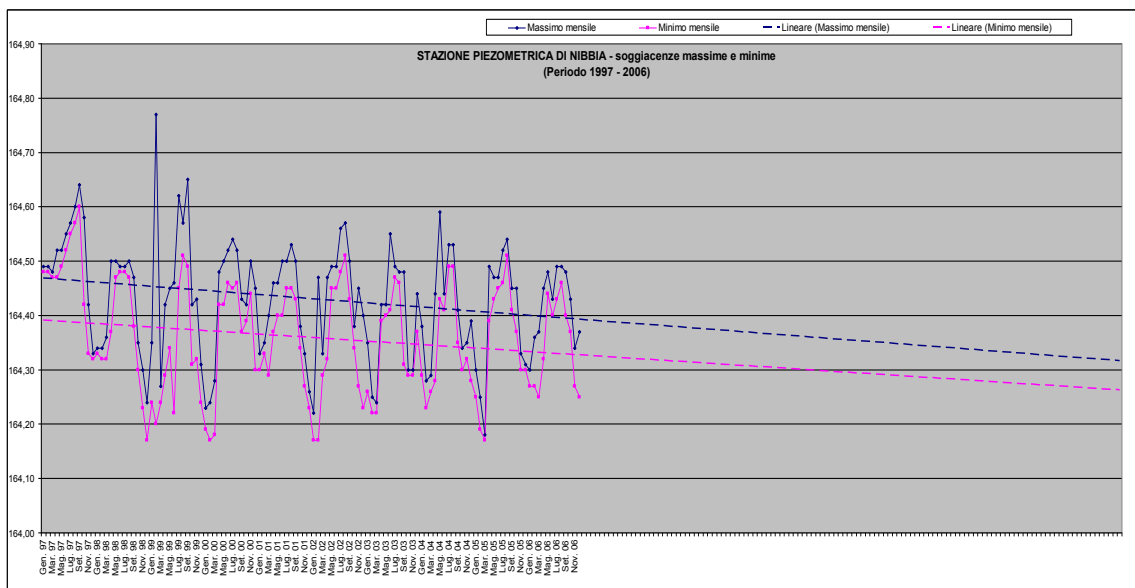
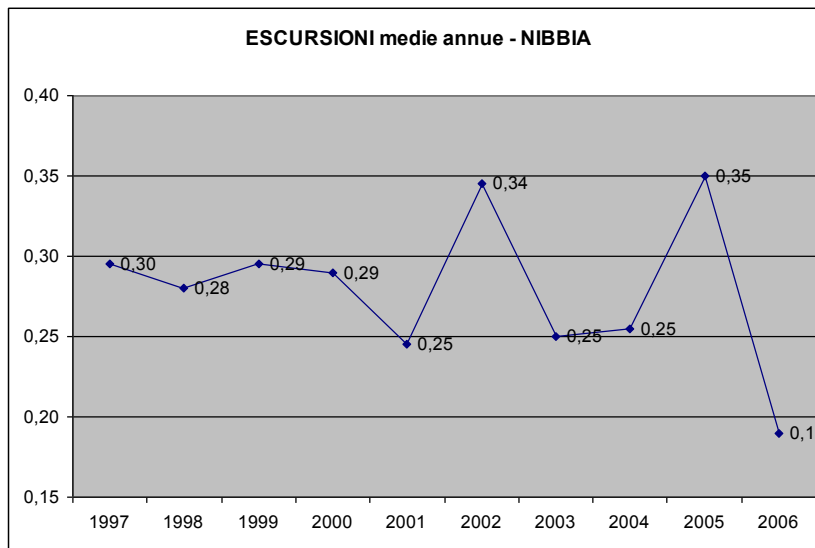
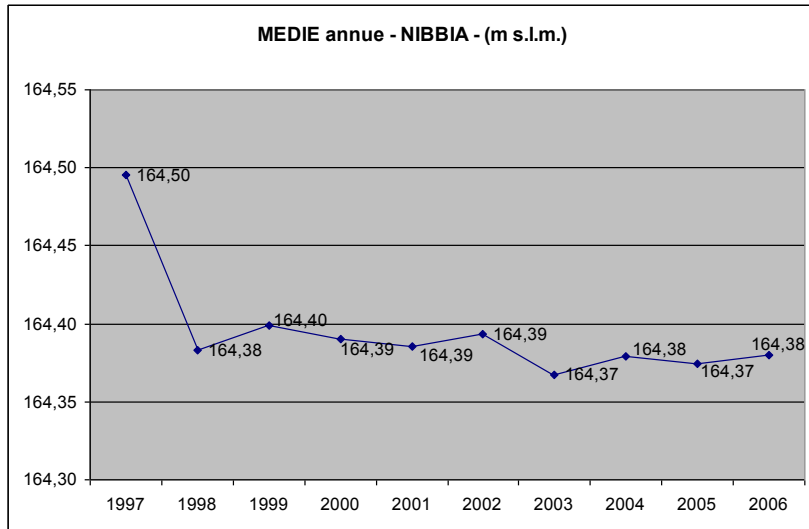
Quota punto riferimento: **165,77** m s.l.m.

Altezza punto riferimento: **0,40** m

MEDIE ANNUALI E MENSILI - NIBBIA - (m s.l.m.)

| MESE | 1997 | 1998 | 1999 | 2000 | 2001 | 2002 | 2003 | 2004 | 2005 | 2006 | medie mensili |
|------------------------|---------------|---------------|---------------|---------------|---------------|---------------|---------------|---------------|---------------|---------------|---------------|
| Gennaio | 164,49 | 164,34 | 164,30 | 164,21 | 164,32 | 164,20 | 164,31 | 164,34 | 164,28 | 164,29 | 164,30 |
| Febbraio | 164,49 | 164,33 | 164,49 | 164,21 | 164,34 | 164,32 | 164,24 | 164,26 | 164,22 | 164,32 | 164,32 |
| Marzo | 164,48 | 164,34 | 164,26 | 164,23 | 164,35 | 164,31 | 164,23 | 164,28 | 164,18 | 164,31 | 164,29 |
| Aprile | 164,50 | 164,44 | 164,36 | 164,45 | 164,42 | 164,40 | 164,41 | 164,36 | 164,44 | 164,39 | 164,41 |
| Maggio | 164,51 | 164,49 | 164,40 | 164,46 | 164,43 | 164,47 | 164,41 | 164,51 | 164,45 | 164,46 | 164,46 |
| Giugno | 164,54 | 164,49 | 164,34 | 164,49 | 164,45 | 164,47 | 164,48 | 164,43 | 164,46 | 164,42 | 164,46 |
| Luglio | 164,56 | 164,49 | 164,54 | 164,50 | 164,48 | 164,52 | 164,48 | 164,51 | 164,49 | 164,46 | 164,50 |
| Agosto | 164,59 | 164,49 | 164,54 | 164,49 | 164,49 | 164,54 | 164,47 | 164,51 | 164,53 | 164,48 | 164,51 |
| Settembre | 164,62 | 164,43 | 164,57 | 164,40 | 164,47 | 164,47 | 164,40 | 164,38 | 164,43 | 164,44 | 164,46 |
| Ottobre | 164,50 | 164,33 | 164,37 | 164,41 | 164,36 | 164,36 | 164,30 | 164,32 | 164,41 | 164,40 | 164,37 |
| Novembre | 164,38 | 164,27 | 164,38 | 164,47 | 164,30 | 164,36 | 164,30 | 164,34 | 164,32 | 164,31 | 164,34 |
| Dicembre | 164,33 | 164,21 | 164,28 | 164,38 | 164,25 | 164,32 | 164,41 | 164,34 | 164,31 | 164,31 | 164,31 |
| MEDIE ANNUALI | 164,50 | 164,38 | 164,40 | 164,39 | 164,39 | 164,39 | 164,37 | 164,38 | 164,37 | 164,38 | 164,39 |
| ESCURS. ANNUALI | 0,30 | 0,28 | 0,29 | 0,29 | 0,25 | 0,34 | 0,25 | 0,25 | 0,35 | 0,19 | |





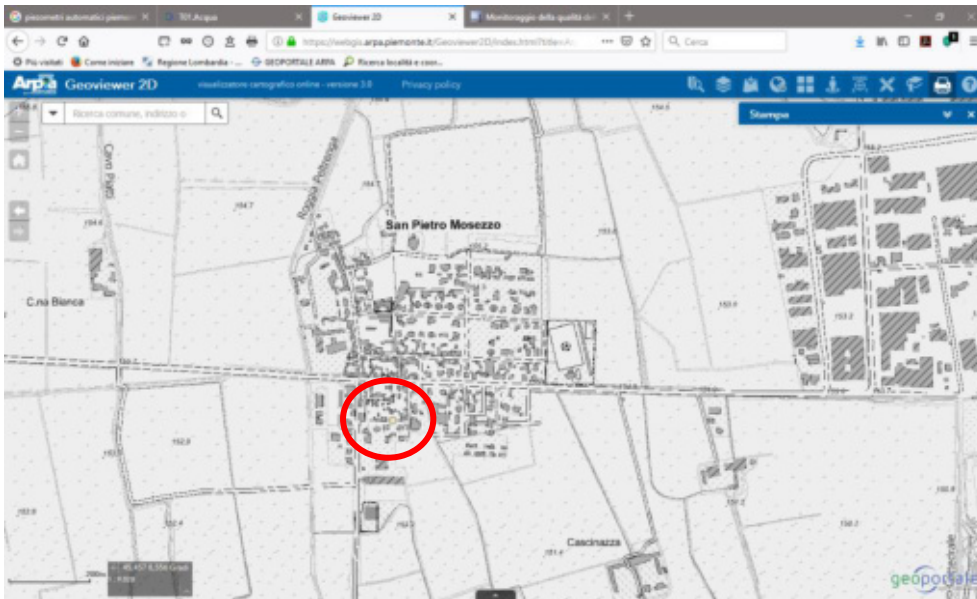
Dai dati sopra esposti si evince che la soggiacenza nella zona di Nibbia risulta più ridotta e pari a circa 1 m da p.c., con escursioni modeste nel periodo di riferimento (alcune decine di centimetri) e con un picco di risalita collocato nel periodo maggio-settembre e massimo ad agosto. L'elaborazione della linea di tendenza sul grafico sembra indicare un lieve ma progressivo aumento della soggiacenza, come d'altronde osservabile anche nel grafico delle medie annue sopra riportato.

La difformità dei valori della falda del piezometro di Nibbia rispetto a quelli misurati nel piezometro sito in area adiacente può essere interpretata, in termini idrogeologici, in relazione alla vicinanza dell'area in esame al torrente Agogna. Infatti, l'asse fluviale costituisce sostanzialmente un elemento drenante locale della falda sotterranea, come ben illustrato nella cartografia di PTA proposta in precedenza, nella quale si osservano assi di drenaggio abbastanza evidenti in corrispondenza dei principali corsi d'acqua (Agogna, Arbogna e, in modo meno accentuato e persistente, Terdoppio). Eventuali inversioni del rapporto di alimentazione falda/torrente possono tuttavia esplicitarsi nel corso di eventi di piena straordinaria, durante i quali il corso d'acqua può assumere un carattere temporaneamente alimentante dell'acquifero freatico.

Tale interpretazione è stata confermata anche dallo studio *“Caratteri idrogeologici del territorio compreso tra Novara a ovest ed il Fiume Ticino ad est con particolare riferimento alla fascia dei fontanili”* di M. Mancuso e D. Delfino, in *Acque Sotterranee*, fasc. 54 del giugno 1997. Nello studio, infatti, la ricostruzione dell'andamento freaticometrico del settore di pianura indagato consente agli Autori di affermare che: *“... il Torrente Agogna che costituisce il limite occidentale, drena la falda a sud di Novara mentre a nord del capoluogo la alimenta; questa diversità di comportamento è dovuta al fatto che a nord della città l'alveo dell'Agogna è meno incassato che a sud.”*

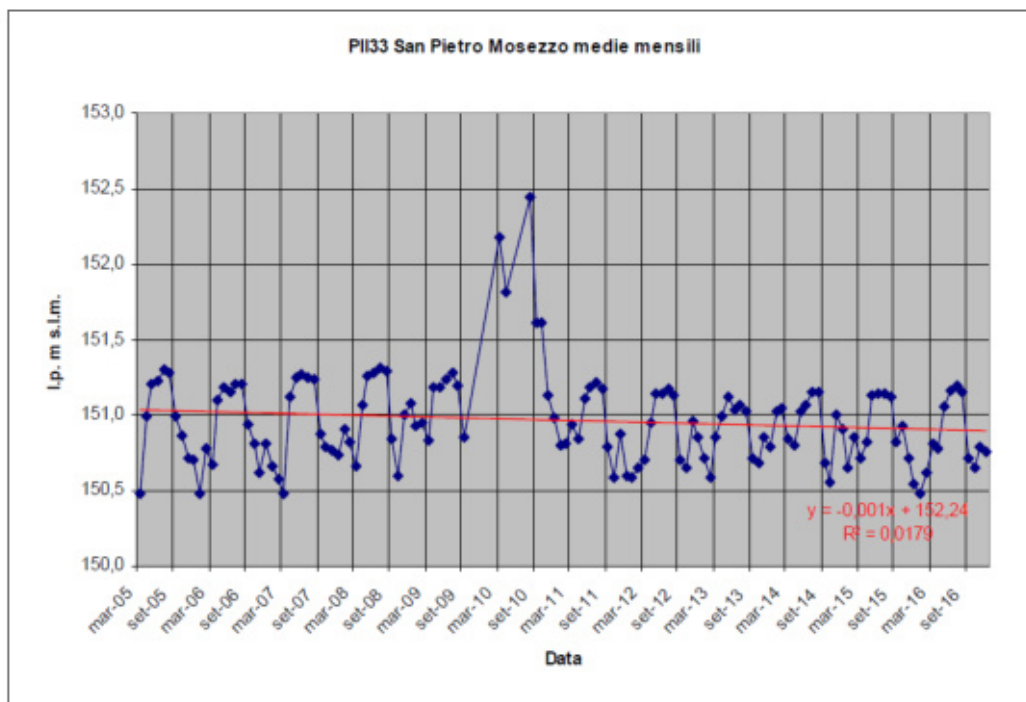
Il sito in esame si colloca, osservando nuovamente l'estratto della carta del PTA, in corrispondenza del cambio tra sistema drenante e sistema alimentante, caratterizzato da depressione della superficie freatica in prossimità dell'asta torrentizia, mentre Nibbia si colloca nel settore di pianura alimentato dalle acque di subalveo dell'Agogna.

In riferimento ai dati contenuti nel PTA 2018 (all. 3B Stato quantitativo e trend piezometrici della falda superficiale della pianura piemontese), si riportano i grafici relativi al piezometro regionale di San Pietro Mosezzo PII33, collocato nell'abitato.



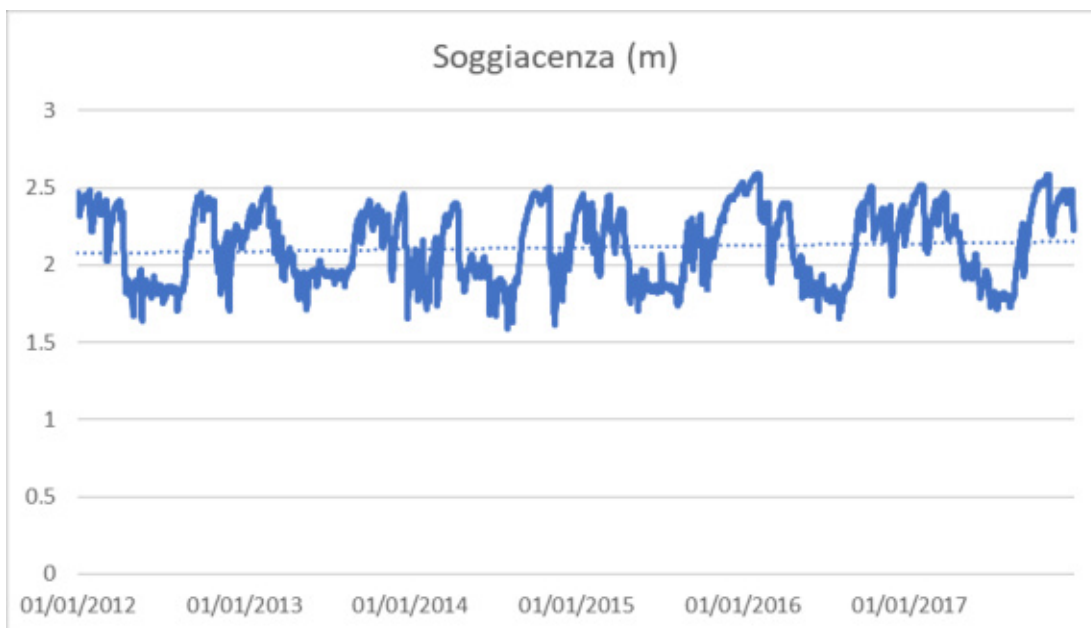
Il trend piezometrico risulta in leggera diminuzione negli ultimi 10 anni ad eccezione del picco di risalita avvenuto nel 2010, con media mensile di circa 1.5 m superiore rispetto alle altre annualità.

Trend piezometrico



Dai dati del Webgis di Arpa Piemonte Monitoraggio della qualità delle acque superficiali in Piemonte è possibile accedere alle misurazioni di dettaglio del piezometro. La media dei valori

di soggiacenza registrati nel periodo 01.01.2012 al 31.12.2017 è rappresentata nel grafico seguente e risulta pari a 2.1 m con minimo di 1.59 m e massimo di 2.59.



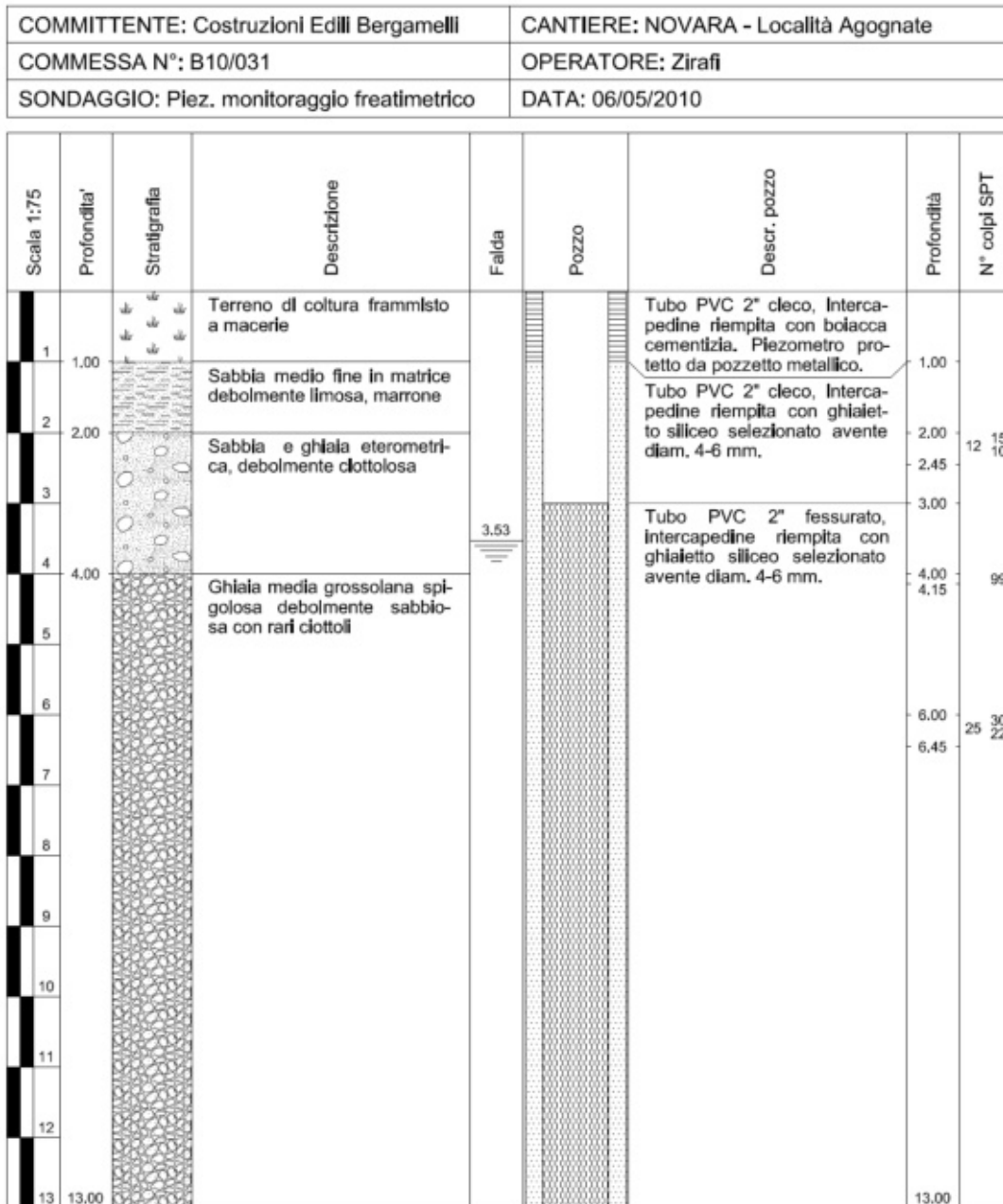
In conclusione del presente capitolo, si ritiene che per l'area in esame si possano assumere i valori di soggiacenza media del piezometro di San Pietro Mosezzo, corrispondenti per il sito alle seguenti quote medie sul livello del mare (riferendosi al rilievo topografico fornito):

- 156.6 m in prossimità del Canale Cavour;
- 156.7 m in corrispondenza della nuova rotonda di intersezione con il casello A4 di Agognate;
- 155.4 m in corrispondenza della rotonda di immissione all'area logistica (presso il passaggio a livello della linea Biella-Novara).

Considerando le escursioni registrate nel piezometro regionale di controllo, si dovrà tenere conto di risalite medie stagionali dell'ordine di circa 50-70 cm con possibili estremi di oltre 1 m.

6.2 STRATIGRAFIA LOCALE E MODELLO GEOLOGICO

Ai fini della caratterizzazione geologica e geotecnica del sottosuolo, si fa riferimento ad un sondaggio a carotaggio continuo con prove SPT in foro e successiva posa di piezometro, effettuato nel 2011 nel Borgo di Agognate.



Inoltre nel 2012, nello stesso sito, è stato realizzato un nuovo piezometro di controllo spinto sino a 30 m di profondità, da cui è stato possibile dedurre la seguente sequenza litostratigrafica:

- da 0.00 a 5 m: sabbia argillosa debolmente ghiaiosa giallastra;
- da 5.00 a 15.00 m: ghiaia sabbiosa giallastra;
- da 15.00 a 18.00 m: ghiaia e sabbia giallastra;

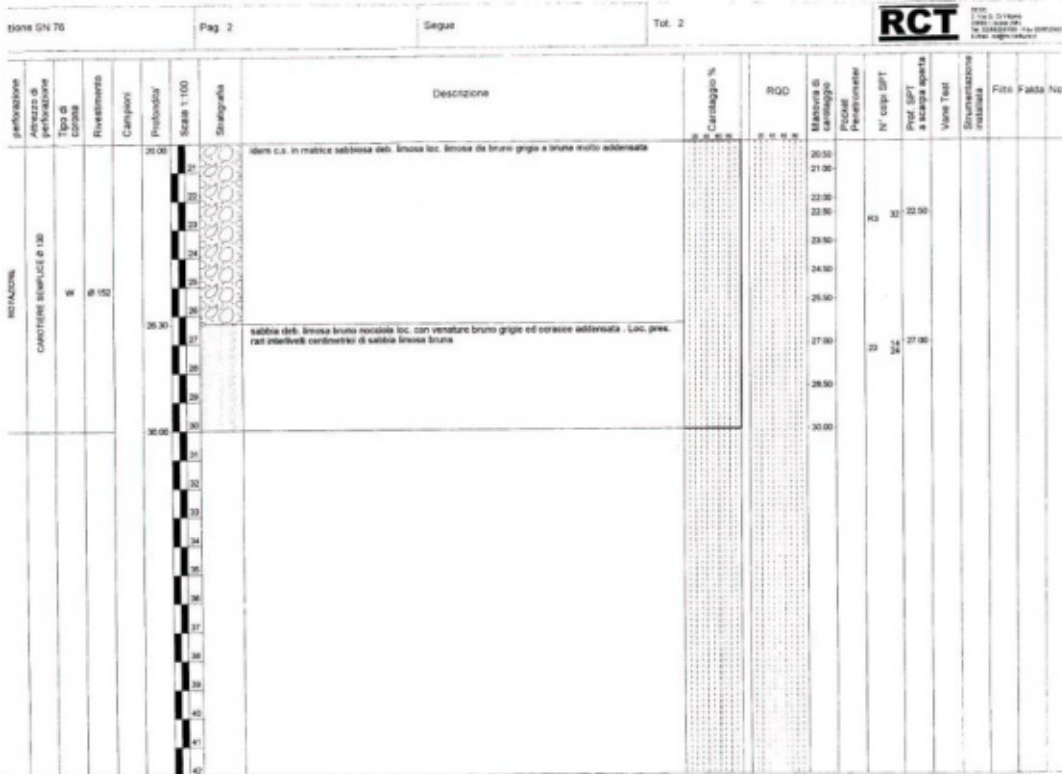
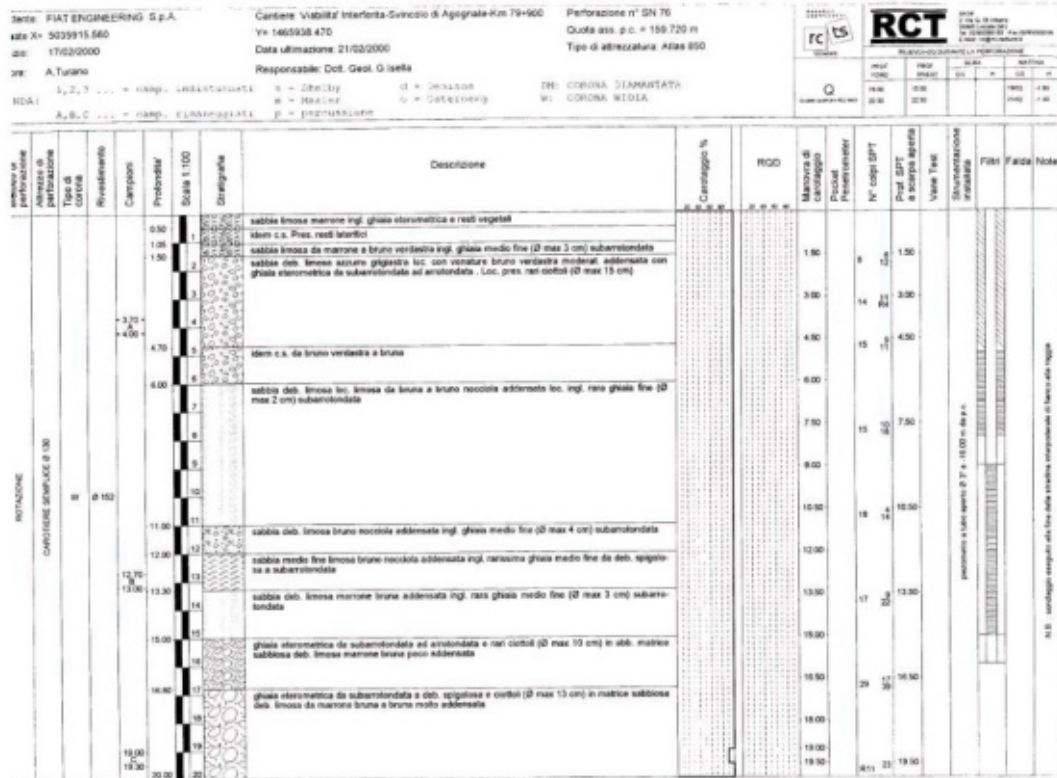
- da 18.00 a 24.00 m: ghiaia sabbiosa giallastra;
- da 24.00 a 27.00 m: ghiaia con sabbia argillosa giallastra.

La disponibilità degli elaborati delle indagini geologiche condotte nell'ambito della progettazione della TAV (Fiatengineering, comm. A201/13/C/F2/RB/PRB500/003A e comm. A201/13/V/F2/RB/BS060X/001A) ha consentito anche di osservare le sequenze stratigrafiche di alcuni sondaggi condotti nella zona del casello autostradale A4.

In particolare, si riportano le stratigrafie dei sondaggi SN76, realizzato presso Casa Bagnuda vicino alla rotonda di Nibbia, e S152, collocato in sponda sinistra del Canale Cavour all'altezza dei laghetti FIPS.



SN76

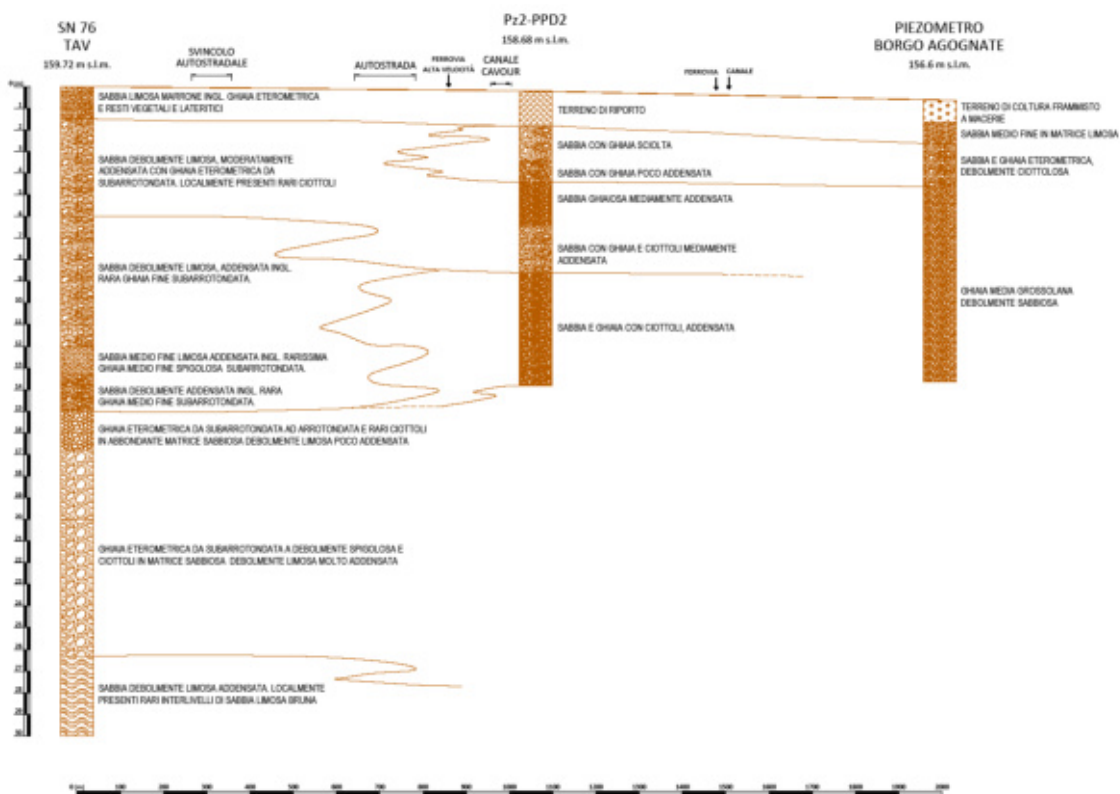


Pertanto, in termini stratigrafici generali, il sottosuolo dell'area oggetto di studio è caratterizzato da una successione (indagata direttamente per circa 30 metri) costituita in prevalenza da ghiaie sabbiose con una copertura di circa 4-5 m di sabbie e ghiaie e di sabbie limose alla sommità. La sequenza stratigrafica così illustrata definisce una successione di tipo *fining-upward*, legata a facies deposizionali di tipo fluviale/fluvioglaciale, di barra e/o di canale in profondità passanti a piana esondabile alla sommità.

La base della successione stratigrafica, oltre i 25 m di profondità circa, è costituita da sabbie fini addensate, limose, attribuibili a sedimentazione fluviale/fluvioglaciale del Pleistocene medio.

Con i dati delle prove effettuate nel sito di interesse, è stata elaborata una correlazione stratigrafica che evidenzia una sequenza locale riconducibile a terreni granulari di ambiente fluviale e suddivisibile in tre unità litostratigrafiche (litotecniche) principali:

- unità sabbioso ghiaiosa sciolta – rappresenta la copertura sommitale, al netto dei depositi di riporto superficiali, della successione stratigrafica locale;
- unità sabbioso-ghiaiosa mediamente addensata – unità intermedia;
- Unità sabbiosa e ghiaioso-ciottolosa addensata – rappresenta la porzione inferiore della successione stratigrafica.

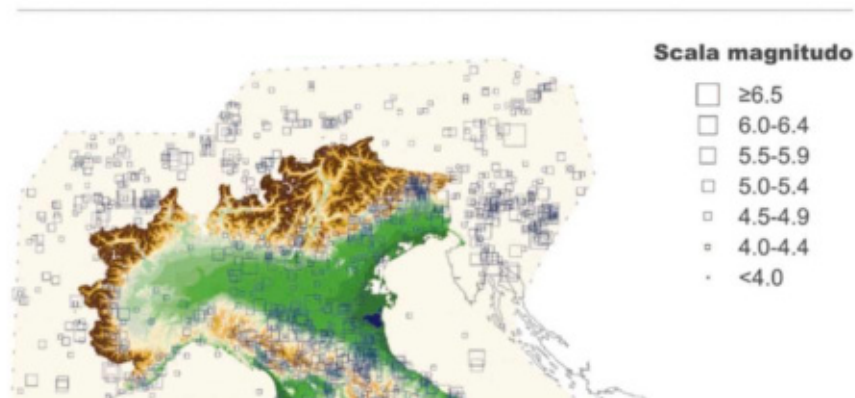


7 INQUADRAMENTO SISMICO

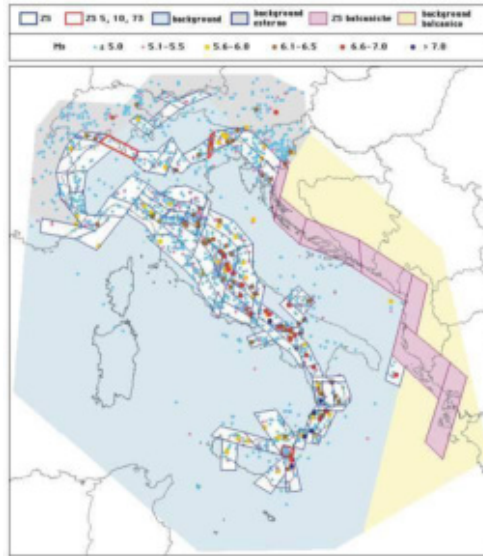
Il territorio comunale di Novara nel catalogo parametrico CPTI04 degli eventi sismici storici presenta la seguente serie così rappresentata in ordine cronologico:

| <i>intensità del sito</i> | <i>Data (g.m.anno)</i> | <i>ora</i> | <i>Denominazione del sisma (area epicentrale)</i> | <i>Intensità max</i> | <i>Magnitudo momento</i> |
|---------------------------|------------------------|------------|---|----------------------|--------------------------|
| 5-6 | 09.12.1755 | 13:30 | vallese | 8 | 5,90 |
| 3 | 22.10.1796 | 04:00 | Emilia orientale | 7 | 5,63 |
| 3-4 | 29.12.1854 | 01:45 | Liguria occidentale | 7-8 | 5,77 |
| 4-5 | 25.07.1855 | 12:00 | Vallese | 8-9 | 5,81 |
| 3 | 26.02.1885 | 20:48 | Scandiano | 6 | 5,22 |
| 5-6 | 23.02.1887 | 05:21 | Liguria occidentale | 10 | 6,29 |
| 4 | 07.06.1891 | 01:06 | Valle d'Ilasi | 9 | 5,71 |
| 5 | 30.10.1901 | 14:29 | Salò | 8 | 5,67 |
| 4-5 | 29.04.1905 | 01:46 | Alta Savoia | 7-8 | 5,79 |
| F | 07.12.1913 | 01:28 | Novi Ligure | 5 | 4,72 |
| F | 26.10.1914 | 03:45 | Tavernette | 7 | 5,36 |
| 3 | 20.04.1929 | 01:09 | bolognese | 8 | 5,55 |
| 2 | 17.02.1947 | 00:12 | Alpi occidentali | 5-6 | 4,90 |
| 3 | 15.05.1951 | 22:54 | Iodigiano | 6 | 5,24 |
| 4 | 25.10.1972 | 21:56 | Passo Cisa | 5 | 4,95 |
| 3-4 | 09.11.1983 | 16:29 | parmense | 7 | 5,10 |

Distribuzione dei terremoti riportati nel Catalogo Parametrico dei Terremoti Italiani



Il quadro delle zone sismogenetiche, tratto dal sito del Gruppo Nazionale per la Difesa dei terremoti, è rappresentato nella seguente carta: la zona in esame si colloca nella zona background, con $M_s < 5.0$ (magnitudo calcolata sulle onde superficiali).

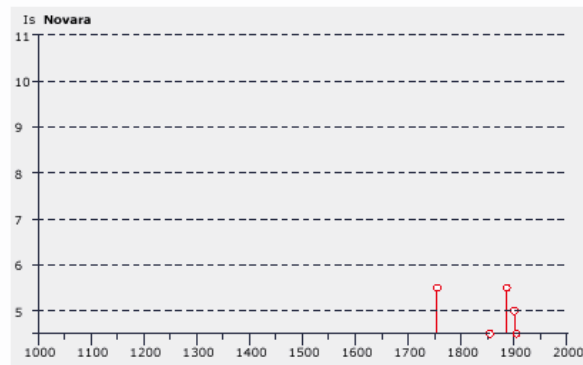


E' stata inoltre effettuata una ricerca storica degli eventuali episodi sismici che possono aver interessato la zona in passato. A tale scopo è stato consultato il sito Internet dell'Istituto Nazionale Geofisica e Vulcanologia (DBMI15) per la località di Novara.

**Storia sismica di Novara
[45.446, 8.623]**

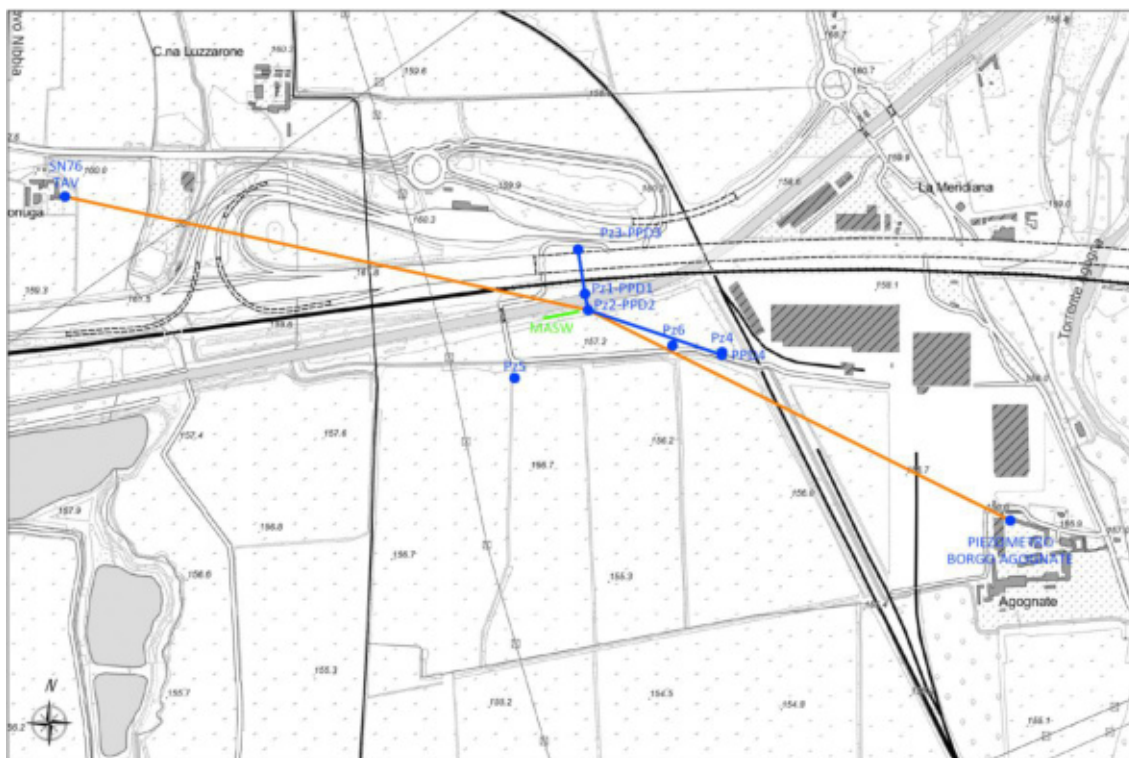
Numero di eventi: 16

| Effetti | In occasione del terremoto del: | | | | | | | | |
|---------|---------------------------------|----|----|----|----|---------------------|------|-----|------|
| Is | Anno | Me | Gi | Or | Mi | Area epicentrale | Np | Ix | Mw |
| 5-6 | 1755 | 12 | 09 | 13 | 30 | Vallese | 74 | 8 | 5.90 |
| 3 | 1796 | 10 | 22 | 04 | | Emilia orientale | 26 | 7 | 5.63 |
| 3-4 | 1854 | 12 | 29 | 01 | 45 | Liguria occidentale | 86 | 7-8 | 5.77 |
| 4-5 | 1855 | 07 | 25 | 12 | | Vallese | 52 | 8-9 | 5.81 |
| 3 | 1885 | 02 | 26 | 20 | 48 | SCANDIANO | 78 | 6 | 5.22 |
| 5-6 | 1887 | 02 | 23 | 05 | 21 | Liguria occidentale | 1515 | 10 | 6.29 |
| 4 | 1891 | 06 | 07 | 01 | 06 | Valle d'Illasi | 403 | 9 | 5.71 |
| 5 | 1901 | 10 | 30 | 14 | 49 | Salo' | 191 | 8 | 5.67 |
| 4-5 | 1905 | 04 | 29 | 01 | 46 | Alta Savoia | 267 | 7-8 | 5.79 |
| F | 1913 | 12 | 07 | 01 | 28 | NOVI LIGURE | 56 | 5 | 4.72 |
| F | 1914 | 10 | 26 | 03 | 45 | TAVERNETTE | 67 | 7 | 5.36 |
| 3 | 1929 | 04 | 20 | 01 | 09 | Bolognese | 628 | 8 | 5.55 |
| 2 | 1947 | 02 | 17 | 00 | 12 | Alpi occidentali | 282 | 5-6 | 4.90 |
| 3 | 1951 | 05 | 15 | 22 | 54 | LODIGIANO | 126 | 6 | 5.24 |
| 4 | 1972 | 10 | 25 | 21 | 56 | PASSO CISA | 198 | 5 | 4.95 |
| 3-4 | 1983 | 11 | 09 | 16 | 29 | Farmense | 835 | 7 | 5.10 |



8 INDAGINI GEOGNOSTICHE

Nella planimetria sono rappresentati i punti di indagine.



Con la sigla Pz è raffigurata la posizione dei pozzetti stratigrafici; con la sigla PPD sono raffigurate le posizioni delle prove penetrometriche dinamiche; con la sigla MASW la linea sismica multicanale.

8.1 PROVE PENETROMETRICHE DINAMICHE

La prova penetrometrica dinamica consiste nell'infiggere verticalmente nel terreno una punta conica metallica posta all'estremità di un'asta d'acciaio, prolungabile con l'aggiunta di aste successive; l'infissione avviene per battitura, con le stesse modalità delle prove SPT, che costituiscono lo standard di riferimento per le prove penetrometriche. Si contano i colpi necessari per la penetrazione di ciascun tratto di lunghezza stabilita; la resistenza del terreno è funzione inversa della penetrazione per ciascun colpo e, diretta, del numero di colpi (NDP) per una data penetrazione.

E' stato utilizzato un penetrometro dinamico pesante TG 63/100 della Ditta PAGANI, motorizzato e cingolato, con le seguenti caratteristiche tecniche:

- diametro della punta = 51 mm
- angolo della punta = 90°
- area della base della punta conica = 20,43 cm²

- diametro delle aste = 32 mm
- lunghezza delle aste = 100 cm
- peso delle aste = 7 kg
- peso del maglio = 63,5 kg
- altezza di caduta = 750 mm
- penetrazione di riferimento = 200 mm

L'energia cinetica propria di ciascun colpo è il prodotto della massa del maglio (M) per l'accelerazione di gravità (g) e per l'altezza di caduta (H). I risultati di differenti prove penetrometriche dinamiche possono essere presentati (e/o paragonati) come valori di resistenza r_d secondo la seguente formula:

$$r_d = \frac{M \cdot g \cdot H}{A \cdot e}$$

- A è l'area della sezione trasversale della base della punta conica
- e è la penetrazione media per colpo.

8.2 MODALITÀ DI INTERPRETAZIONE DEI DATI

Il penetrometro utilizzato rispetta lo standard vigente, quindi è possibile utilizzare tutta la letteratura prodotta per le prove SPT. Prima di poter essere utilizzato per ricavare i parametri geotecnici dei terreni attraversati, il valore di N_{spt} deve, tuttavia, essere oggetto di normalizzazione, al fine di eliminare l'influenza della pressione del terreno sovrastante e di quella indotta dal dispositivo di battitura delle aste.

8.2.1 NORMALIZZAZIONE RISPETTO ALLA PRESSIONE DEL TERRENO.

Dato che la resistenza alla penetrazione aumenta in modo lineare con la profondità, quindi nel caso di densità relativa costante, all'aumentare della tensione verticale efficace, è necessario operare una correzione riferendo i valori di N ad una pressione verticale efficace di 1 kg/cm²

secondo la formula: $N_1 = C_N \cdot N$

- N è il numero di colpi misurati;
- N_1 è il valore di N riferito ad un valore unitario di σ'_{v0} ;
- $C_N = 1 / \sigma'_{v0}{}^{(n)}$
- Con $n = 0.5$ (Liao e Whitman, 1985).

E' possibile utilizzare anche la relazione di Skempton (1986) per sabbie fini: $C_N = \frac{2}{1 + \sigma'_{v0}/100}$ e

per sabbie grossolane: $C_N = \frac{3}{2 + \sigma'_{v0}/100}$, che enfatizzano meno i valori di CN per bassi valori di pressione efficace.

8.2.2 NORMALIZZAZIONE RISPETTO AL DISPOSITIVO DI BATTITURA

Normalmente il rendimento dei dispositivi utilizzati per le prove SPT è pari al 60% dell'energia cinetica nominale (473.4 Joule) della massa di un maglio di 63.5 kg che cade da un'altezza di 760 mm: poiché nel caso specifico il rendimento è superiore, si rende indispensabile effettuare

una correzione secondo la relazione:
$$N_{60} = \frac{ER_{iM}}{60} \cdot N$$

N_{60} = numero di colpi corretto per riferirlo ad un rendimento del 60%;

ER_{iM} = rendimento medio espresso in percentuale;

N = numero di colpi misurato.

In questo caso, con $ER_{iM} = 78\%$, la formula diviene:
$$N_{60} = \frac{78}{60} \cdot N = 1,3 \cdot N$$
 ma considerando che le prove sono state eseguite senza l'ausilio del rivestimento il fattore correttivo è stato ridotto a 1.1.

Il valore normalizzato di N che tenga conto sia della pressione del terreno sovrastante che del rendimento del sistema di infissione, diviene: $(N_1)_{60} = C_N (ER_{iM}/60)N = ER_{iM} \cdot N / 60 \text{ } \sigma'_{vo}$.

Adottando il valore di $(N_1)_{60}$ e rispettando le indicazioni della Procedura di Riferimento nell'esecuzione della prova, le variazioni registrate nel numero di colpi dipenderanno solo dalle caratteristiche del terreno.

8.2.3 NORMALIZZAZIONE RISPETTO ALLA LUNGHEZZA DI PENETRAZIONE

La correzione è stata introdotta utilizzando la formulazione di LaCroix e Horn (1973)

$$N_{SPT} = \left(\frac{W \cdot H}{6,2 \cdot D^2 \cdot L} \right) N$$

W = peso del maglio (kg) – H = altezza di caduta (cm) – D = diametro del cono (cmq) – L = penetrazione standard (cm) – N = numero dei colpi misurato nella prova non standard.

8.2.4 NORMALIZZAZIONE RISPETTO ALLA LUNGHEZZA DELLE ASTE

L'energia può anche essere dispersa a causa della lunghezza delle aste, infatti se questa è minore di 10 m, i fattori di correzione mostrati in fig. 2.8 possono essere applicati al numero dei colpi per sabbia; per aste più lunghe di 10 m, nessuna correzione viene applicata.

| Lunghezza delle aste | Fattore di correzione λ |
|----------------------|---------------------------------|
| >10 | 1.0 |
| 6-10 | 0.95 |
| 4-6 | 0.85 |
| 3-4 | 0.75 |

Tab. 2.8 Fattori di correzione in sabbia dovuti alla lunghezza delle aste

8.3 PARAMETRI RICAVALTI

8.3.1 PESO DI VOLUME

E' stata utilizzata la formulazione di Bruschi:

$$98,1*(1,39+0,053*N_{60}-0,0011*N_{60}^2+0,0000076*N_{60}^3)$$

8.3.2 DENSITÀ RELATIVA (DR)

Disponendo del valore normalizzato di NSPT [(N1)60], la migliore classificazione risulta quella proposta da Terzaghi e Peck (1948) e da Skempton (1986), utilizzando la correlazione $(N1)_{60}/Dr^2 = 60$, per $Dr > 35\%$.

8.3.3 ANGOLO DI ATTRITO EFFICACE (Φ')

Innanzitutto, si deve sottolineare che, a causa della variabilità nei valori N_{SPT} , la valutazione della prova in termini di resistenza al taglio deve essere considerata come una stima la cui attendibilità dipende da vari fattori, da valutare attentamente in funzione del contesto in cui si opera.

L'angolo di resistenza al taglio del materiale indagato può essere valutato attraverso due categorie di metodi: i metodi di correlazione diretta $N_{spt}-\phi$ e i metodi di correlazione indiretta. Nel caso in esame è stata scelta la correlazione diretta, utilizzando la formulazione di Wolff per il valore di angolo di attrito di picco e la formula di De Mello che approssima l'angolo di attrito a volume costante.

8.3.4 MODULO DI DEFORMAZIONE (O DI YOUNG)

È dato dal rapporto tra sollecitazione e deformazione corrispondente in un materiale che si trova sotto il limite di proporzionalità (legge di Hooke) sulla curva sollecitazione-deformazione. Per la valutazione del modulo di Young è stata utilizzata la relazione di Schmertmann, valida per sabbie in genere.

I moduli di deformabilità operativi, dato il comportamento non lineare dei terreni, dipendono dalle effettive deformazioni indotte e/o dal grado di mobilitazione della resistenza al taglio. Il modulo di Young operativo può essere assunto pari a quello corrispondente a tensioni di circa il 25% di quelle a rottura (E_{25}), calcolabile con le formule di Stroud (1989) o di Jamiolkowski (1988).

8.3.5 MODULO EDOMETRICO M_0

La compressibilità di una terra può essere espressa dal coefficiente di compressibilità m_v : $m_v = (-\delta e / (1+e)) (1 / \delta \sigma' v)$ o dal rapporto inverso, definito modulo edometrico: $M = (\delta \sigma' v / -\delta e) (1+e)$.

Per valutare questo modulo si utilizza la relazione di Mayne & Frost (1988) o la relazione di Menzebach e Malcev, valida per terreni incoerenti, e quella di Schultze & Menzebach (1961), per i terreni coesivi.

8.3.6 MODULO DI TAGLIO DINAMICO G_0

E' stato utilizzato il metodo di Wroth che ricava il Modulo G_0 dalla relazione $G_0 = 15.56 * N_{60}^{0.68}$ e quello di Otha e Goto. Viene fornito anche il modulo di taglio per la prova PPD2 elaborato sulla base delle V_s ricavate dall'indagine sismica.

8.3.7 COEFFICIENTE DI POISSON

Per le prove drenate si può ricavare secondo l'equazione: $\nu = \frac{1 - \sin \phi'}{2 - \sin \phi'}$

8.3.8 COEFFICIENTI DI WINKLER

I coefficienti di Winkler sono ricavati dalle formule di Terzaghi, 1983 ($N \leq 10$); Moayed, 2006 - Bruschi, 2011 ($N > 10$). Si ricorda che i valori devono essere ritenuti puramente indicativi non trattandosi di proprietà intrinseche del terreno.

Il coefficiente di Winkler orizzontale secondo la seguente espressione di Reese e Matlock

(1956): $K_h = n_h \cdot \frac{z}{d}$ dove d è il diametro del palo e z la profondità.

Come riferimento è stato utilizzato un diametro del palo = 0.6 m.

Per i terreni incoerenti il valore di n_h dipende dallo stato di addensamento e dalla presenza o

meno della falda e può essere ottenuto dall'espressione: $n_h = \frac{A \cdot \gamma}{1.35}$ nella quale γ rappresenta il peso dell'unità di volume del terreno ed è pari a γ' (peso dell'unità di volume del terreno alleggerito) nel caso in cui ci troviamo sotto falda. Valori orientativi di n_h e A sono

riportati nella tabella seguente:

| Stato di addensamento | Sciolto | Medio | Denso |
|--|----------------|--------------|--------------|
| Campo dei valori di <i>A</i> | 100 ÷ 300 | 300 ÷ 1000 | 1000 ÷ 3000 |
| Valore consigliato di <i>A</i> | 200 | 600 | 1500 |
| N_h [N/cm ³], sabbie non immerse | 2,5 | 7,5 | 20 |
| N_h [N/cm ³], sabbie immerse | 1,5 | 5 | 12 |

Il peso di volume alleggerito γ' è stato ricavato moltiplicando il peso del terreno per un coefficiente di 0.50-0.55.

8.4 ELABORAZIONE DATI

Pz 1 quota 158.69 m slm

0.0-0.20m: riporto

0.2-1.60: ghiaia e sabbia media grossolana con ciottoli molto debolmente limosa, umida in basso



PPD 1 quota 158.69 m slm - Quota falda imposta pari a -2 m; R = rifiuto strumentale indicato convenzionalmente con 100 colpi

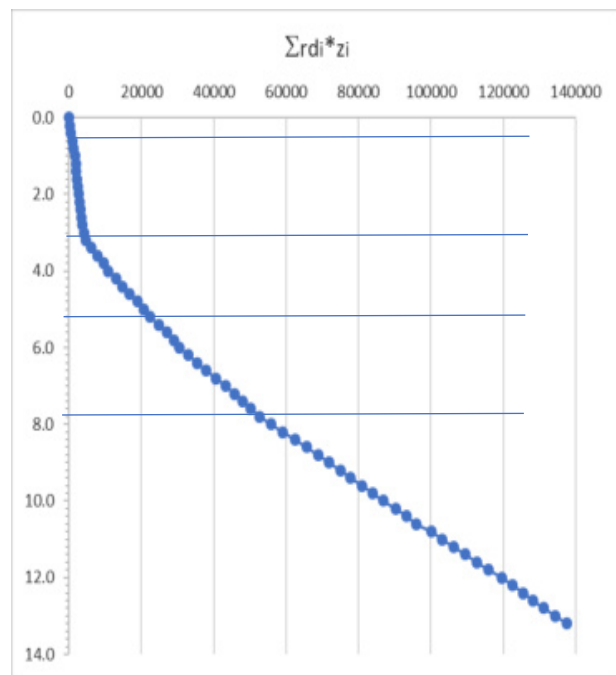
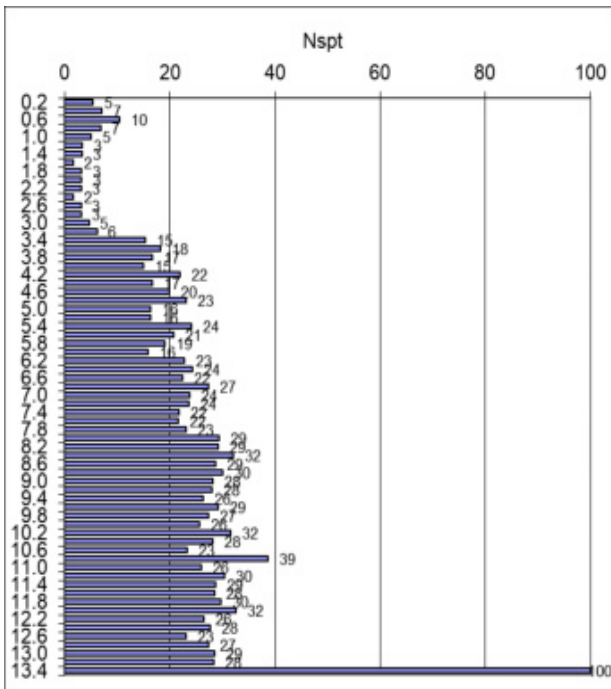
| Prof. | N | Nspt | Ce | CR | N60 | peso terreno | tensione totale | pressione neutra | tensione vert. Eff. | CN adottato | N1(60) |
|-------|----|------|-----|------|-----|--------------|-----------------|------------------|---------------------|-------------|--------|
| m | N | 1.48 | 1.1 | | | t/mc | t/mq | t/mq | kg/cmq | CN | |
| 0.2 | 3 | 4 | 5 | 0.75 | 4 | 1.54 | 0.31 | | 0.031 | 1.48 | 5 |
| 0.4 | 4 | 6 | 6 | 0.75 | 5 | 1.59 | 0.63 | | 0.063 | 1.45 | 7 |
| 0.6 | 6 | 9 | 10 | 0.75 | 7 | 1.69 | 0.96 | | 0.096 | 1.43 | 10 |
| 0.8 | 4 | 6 | 6 | 0.75 | 5 | 1.59 | 1.28 | | 0.128 | 1.41 | 7 |
| 1.0 | 3 | 4 | 5 | 0.75 | 4 | 1.54 | 1.59 | | 0.159 | 1.39 | 5 |
| 1.2 | 2 | 3 | 3 | 0.75 | 2 | 1.48 | 1.89 | | 0.189 | 1.37 | 3 |
| 1.4 | 2 | 3 | 3 | 0.75 | 2 | 1.48 | 2.18 | | 0.218 | 1.35 | 3 |
| 1.6 | 1 | 1 | 2 | 0.75 | 1 | 1.43 | 2.47 | | 0.247 | 1.34 | 2 |
| 1.8 | 2 | 3 | 3 | 0.75 | 2 | 1.48 | 2.77 | | 0.277 | 1.32 | 3 |
| 2.0 | 2 | 3 | 3 | 0.75 | 2 | 1.48 | 3.06 | 0.0 | 0.306 | 1.30 | 3 |
| 2.2 | 2 | 3 | 3 | 0.75 | 2 | 1.48 | 3.36 | 0.2 | 0.316 | 1.30 | 3 |
| 2.4 | 1 | 1 | 2 | 0.75 | 1 | 1.43 | 3.64 | 0.4 | 0.324 | 1.29 | 2 |
| 2.6 | 2 | 3 | 3 | 0.75 | 2 | 1.48 | 3.94 | 0.6 | 0.334 | 1.29 | 3 |
| 2.8 | 2 | 3 | 3 | 0.75 | 2 | 1.48 | 4.24 | 0.8 | 0.344 | 1.28 | 3 |
| 3.0 | 3 | 4 | 5 | 0.75 | 4 | 1.54 | 4.55 | 1.0 | 0.355 | 1.27 | 5 |
| 3.2 | 4 | 6 | 6 | 0.75 | 5 | 1.59 | 4.86 | 1.2 | 0.366 | 1.27 | 6 |
| 3.4 | 10 | 15 | 16 | 0.75 | 12 | 1.85 | 5.23 | 1.4 | 0.383 | 1.26 | 15 |
| 3.6 | 12 | 18 | 19 | 0.75 | 15 | 1.92 | 5.62 | 1.6 | 0.402 | 1.25 | 18 |
| 3.8 | 11 | 16 | 18 | 0.75 | 13 | 1.88 | 5.99 | 1.8 | 0.419 | 1.24 | 17 |
| 4.0 | 10 | 15 | 16 | 0.75 | 12 | 1.85 | 6.36 | 2.0 | 0.436 | 1.23 | 15 |
| 4.2 | 13 | 19 | 21 | 0.85 | 18 | 1.99 | 6.76 | 2.2 | 0.456 | 1.22 | 22 |
| 4.4 | 10 | 15 | 16 | 0.85 | 14 | 1.90 | 7.14 | 2.4 | 0.474 | 1.21 | 17 |
| 4.6 | 12 | 18 | 19 | 0.85 | 17 | 1.96 | 7.53 | 2.6 | 0.493 | 1.20 | 20 |
| 4.8 | 14 | 21 | 23 | 0.85 | 19 | 2.02 | 7.94 | 2.8 | 0.514 | 1.19 | 23 |

| | | | | | | | | | | | |
|------|----|----|----|------|----|------|-------|------|-------|------|-----|
| 5.0 | 10 | 15 | 16 | 0.85 | 14 | 1.90 | 8.32 | 3.0 | 0.532 | 1.18 | 16 |
| 5.2 | 10 | 15 | 16 | 0.85 | 14 | 1.90 | 8.70 | 3.2 | 0.550 | 1.18 | 16 |
| 5.4 | 15 | 22 | 24 | 0.85 | 21 | 2.04 | 9.11 | 3.4 | 0.571 | 1.17 | 24 |
| 5.6 | 13 | 19 | 21 | 0.85 | 18 | 1.99 | 9.50 | 3.6 | 0.590 | 1.16 | 21 |
| 5.8 | 12 | 18 | 19 | 0.85 | 17 | 1.96 | 9.90 | 3.8 | 0.610 | 1.15 | 19 |
| 6.0 | 10 | 15 | 16 | 0.85 | 14 | 1.90 | 10.28 | 4.0 | 0.628 | 1.14 | 16 |
| 6.2 | 13 | 19 | 21 | 0.95 | 20 | 2.03 | 10.68 | 4.2 | 0.648 | 1.13 | 23 |
| 6.4 | 14 | 21 | 23 | 0.95 | 22 | 2.06 | 11.09 | 4.4 | 0.669 | 1.12 | 24 |
| 6.6 | 13 | 19 | 21 | 0.95 | 20 | 2.03 | 11.50 | 4.6 | 0.690 | 1.12 | 22 |
| 6.8 | 16 | 24 | 26 | 0.95 | 25 | 2.10 | 11.92 | 4.8 | 0.712 | 1.11 | 27 |
| 7 | 14 | 21 | 23 | 0.95 | 22 | 2.06 | 12.33 | 5.0 | 0.733 | 1.10 | 24 |
| 7.2 | 14 | 21 | 23 | 0.95 | 22 | 2.06 | 12.74 | 5.2 | 0.754 | 1.09 | 24 |
| 7.4 | 13 | 19 | 21 | 0.95 | 20 | 2.03 | 13.15 | 5.4 | 0.775 | 1.08 | 22 |
| 7.6 | 13 | 19 | 21 | 0.95 | 20 | 2.03 | 13.56 | 5.6 | 0.796 | 1.07 | 22 |
| 7.8 | 14 | 21 | 23 | 0.95 | 22 | 2.06 | 13.97 | 5.8 | 0.817 | 1.07 | 23 |
| 8.0 | 18 | 27 | 29 | 0.95 | 28 | 2.13 | 14.40 | 6.0 | 0.840 | 1.06 | 29 |
| 8.2 | 18 | 27 | 29 | 0.95 | 28 | 2.13 | 14.82 | 6.2 | 0.862 | 1.05 | 29 |
| 8.4 | 20 | 30 | 32 | 0.95 | 31 | 2.16 | 15.25 | 6.4 | 0.885 | 1.04 | 32 |
| 8.6 | 18 | 27 | 29 | 0.95 | 28 | 2.13 | 15.68 | 6.6 | 0.908 | 1.03 | 29 |
| 8.8 | 19 | 28 | 31 | 0.95 | 29 | 2.15 | 16.11 | 6.8 | 0.931 | 1.02 | 30 |
| 9.0 | 18 | 27 | 29 | 0.95 | 28 | 2.13 | 16.54 | 7.0 | 0.954 | 1.02 | 28 |
| 9.2 | 18 | 27 | 29 | 0.95 | 28 | 2.13 | 16.97 | 7.2 | 0.977 | 1.01 | 28 |
| 9.4 | 17 | 25 | 28 | 0.95 | 26 | 2.12 | 17.39 | 7.4 | 0.999 | 1.00 | 26 |
| 9.6 | 19 | 28 | 31 | 0.95 | 29 | 2.15 | 17.82 | 7.6 | 1.022 | 0.99 | 29 |
| 9.8 | 18 | 27 | 29 | 0.95 | 28 | 2.13 | 18.25 | 7.8 | 1.045 | 0.99 | 27 |
| 10.0 | 17 | 25 | 28 | 0.95 | 26 | 2.12 | 18.67 | 8.0 | 1.067 | 0.98 | 26 |
| 10.2 | 20 | 30 | 32 | 1 | 32 | 2.17 | 19.10 | 8.2 | 1.090 | 0.97 | 32 |
| 10.4 | 18 | 27 | 29 | 1 | 29 | 2.15 | 19.53 | 8.4 | 1.113 | 0.96 | 28 |
| 10.6 | 15 | 22 | 24 | 1 | 24 | 2.10 | 19.95 | 8.6 | 1.135 | 0.96 | 23 |
| 10.8 | 25 | 37 | 41 | 1 | 41 | 2.19 | 20.39 | 8.8 | 1.159 | 0.95 | 39 |
| 11.0 | 17 | 25 | 28 | 1 | 28 | 2.13 | 20.82 | 9.0 | 1.182 | 0.94 | 26 |
| 11.2 | 20 | 30 | 32 | 1 | 32 | 2.17 | 21.25 | 9.2 | 1.205 | 0.94 | 30 |
| 11.4 | 19 | 28 | 31 | 1 | 31 | 2.16 | 21.68 | 9.4 | 1.228 | 0.93 | 29 |
| 11.6 | 19 | 28 | 31 | 1 | 31 | 2.16 | 22.12 | 9.6 | 1.252 | 0.92 | 28 |
| 11.8 | 20 | 30 | 32 | 1 | 32 | 2.17 | 22.55 | 9.8 | 1.275 | 0.92 | 30 |
| 12.0 | 22 | 32 | 36 | 1 | 36 | 2.18 | 22.99 | 10.0 | 1.299 | 0.91 | 32 |
| 12.2 | 18 | 27 | 29 | 1 | 29 | 2.15 | 23.42 | 10.2 | 1.322 | 0.90 | 26 |
| 12.4 | 19 | 28 | 31 | 1 | 31 | 2.16 | 23.85 | 10.4 | 1.345 | 0.90 | 28 |
| 12.6 | 16 | 24 | 26 | 1 | 26 | 2.12 | 24.27 | 10.6 | 1.367 | 0.89 | 23 |
| 12.8 | 19 | 28 | 31 | 1 | 31 | 2.16 | 24.70 | 10.8 | 1.390 | 0.88 | 27 |
| 13.0 | 20 | 30 | 32 | 1 | 32 | 2.17 | 25.14 | 11.0 | 1.414 | 0.88 | 29 |
| 13.2 | 20 | 30 | 32 | 1 | 32 | 2.17 | 25.57 | 11.2 | 1.437 | 0.87 | 28 |
| 13.4 | R | | | 1 | | | | | | | 100 |

| Strato n. | Interpretazione litologica | Prof. m | N ₁₍₆₀₎ | γ t/m ³ | γ sat. t/m ³ | D _R % | $\Phi' \circ$ DeMello | $\Phi' \circ$ Wolff | E ₂₅ kg/cm ² | M kg/cm ² |
|-----------|--------------------------------------|----------|--------------------|---------------------------|--------------------------------|------------------|-----------------------|---------------------|------------------------------------|----------------------|
| 1 | Riporto | 0.0-0.6 | 8 | 1.6 | 1.8 | 35 | 26.5 | 29.4 | - | - |
| 2 | Sabbia con ghiaia e ciottoli sciolta | 0.6-3.2 | 4 | 1.50 | 1.7 | 24 | 23.6 | 28.2 | 22.4 | 50.5 |
| 3 | Sabbia ghiaiosa | 3.2-5.2 | 18 | 1.9 | 2.0 | 55 | 29.7 | 32.3 | 117.4 | 192.4 |
| 4 | Sabbia con ghiaia e ciottoli | 5.2-7.8 | 22 | 2.0 | 2.1 | 61 | 30.5 | 33.5 | 159.3 | 247.5 |
| 5 | Sabbia e ghiaia con ciottoli | 7.8-13.4 | 29 | 2.1 | 2.2 | 69 | 31.3 | 35.2 | 237.8 | 392.0 |

| Strato n. | Interpretazione litologica | Prof. m | Vs Otha Goto m/s | G ₀ Mpa Wroth | G ₀ Mpa | v | K _w kg/cm ³ | Kh* Kg/cm ³ |
|-----------|--------------------------------------|----------|------------------|--------------------------|--------------------|------|-----------------------------------|------------------------|
| 1 | Riporto | 0.0-0.6 | - | - | - | - | - | - |
| 2 | Sabbia con ghiaia e ciottoli sciolta | 0.6-3.2 | 118 | 31.4 | 20.8 | 0.35 | 0.4 | 0.59 |
| 3 | Sabbia ghiaiosa | 3.2-5.2 | 282 | 97.1 | 152.8 | 0.32 | 12.97 | 3.69 |
| 4 | Sabbia con ghiaia e ciottoli | 5.2-7.8 | 322 | 119.4 | 210.1 | 0.31 | 14.20 | 6.44 |
| 5 | Sabbia e ghiaia con ciottoli | 7.8-13.4 | 383 | 156.8 | 315.1 | 0.30 | 15.99 | 11.73 |

*Kh calcolato per pali diam. 0.6 m



Pz 2 quota 158.68 m slm

0.0-0.30 m: suolo misto a ghiaia e ciottoli

0.3-1.60 m: ghiaia e sabbia media grossolana con ciottoli molto debolmente limosa, fr, plastica a -1.0 m, venuta d'acqua dal canale laterale (c/o sifone) a fondo pozzetto



PPD 2 quota 158.68 m slm - Quota falda -1.6 m; R = rifiuto strumentale indicato convenzionalmente con 100 colpi

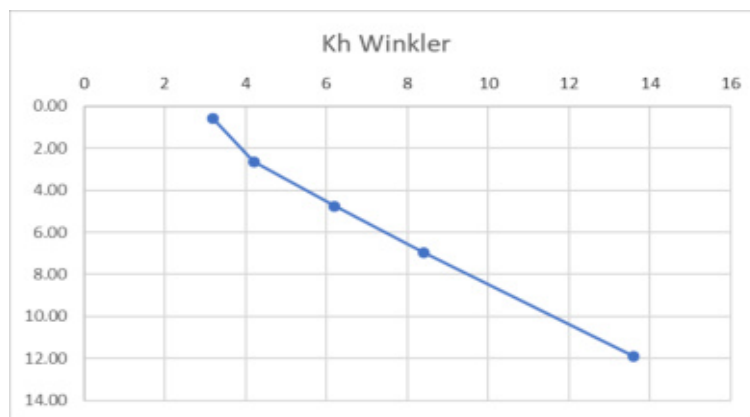
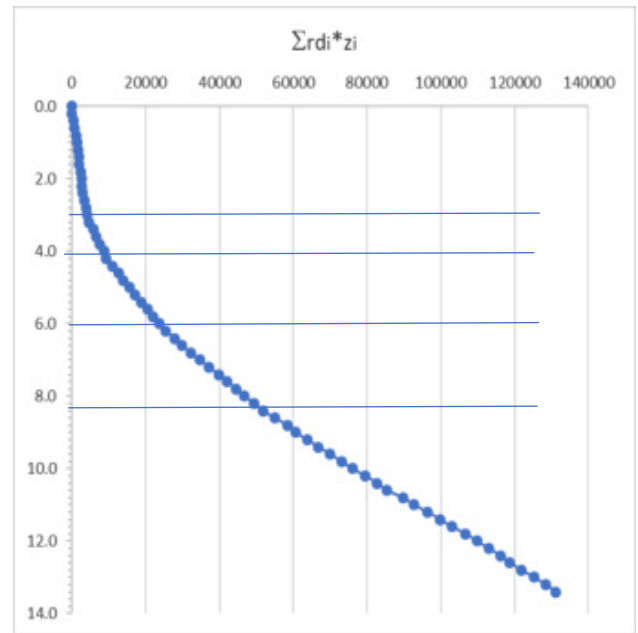
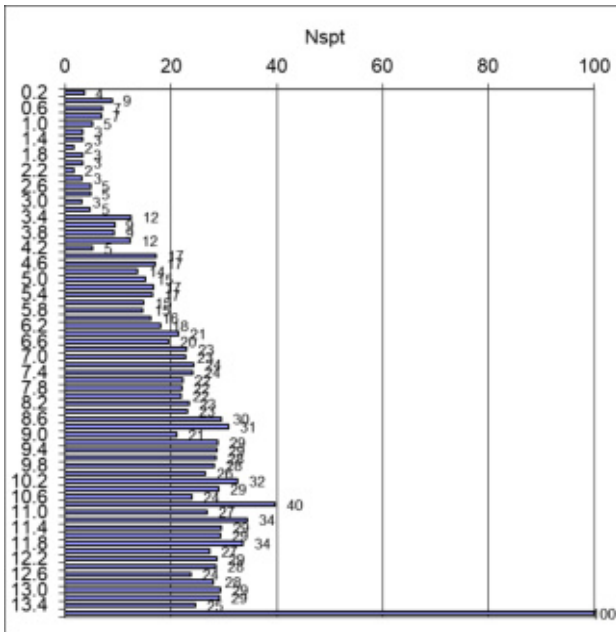
| Prof. | N | Nspt | Ce | CR | N60 | peso terreno | tensione totale | pressione neutra | tensione vert. Eff. | CN adottato | N1(60) |
|-------|----|------|-----|------|-----|--------------|-----------------|------------------|---------------------|-------------|--------|
| m | N | 1.48 | 1.1 | | | t/mc | t/mq | t/mq | kg/cmq | CN | |
| 0.2 | 2 | 3 | 3 | 0.75 | 2 | 1.48 | 0.30 | | 0.030 | 1.48 | 4 |
| 0.4 | 5 | 7 | 8 | 0.75 | 6 | 1.64 | 0.63 | | 0.063 | 1.45 | 9 |
| 0.6 | 4 | 6 | 6 | 0.75 | 5 | 1.59 | 0.94 | | 0.094 | 1.43 | 7 |
| 0.8 | 4 | 6 | 6 | 0.75 | 5 | 1.59 | 1.26 | | 0.126 | 1.41 | 7 |
| 1.0 | 3 | 4 | 5 | 0.75 | 4 | 1.54 | 1.57 | | 0.157 | 1.39 | 5 |
| 1.2 | 2 | 3 | 3 | 0.75 | 2 | 1.48 | 1.87 | | 0.187 | 1.37 | 3 |
| 1.4 | 2 | 3 | 3 | 0.75 | 2 | 1.48 | 2.16 | | 0.216 | 1.35 | 3 |
| 1.6 | 1 | 1 | 2 | 0.75 | 1 | 1.43 | 2.45 | 0.0 | 0.245 | 1.34 | 2 |
| 1.8 | 2 | 3 | 3 | 0.75 | 2 | 1.48 | 2.75 | 0.2 | 0.255 | 1.33 | 3 |
| 2.0 | 2 | 3 | 3 | 0.75 | 2 | 1.48 | 3.04 | 0.4 | 0.264 | 1.32 | 3 |
| 2.2 | 1 | 1 | 2 | 0.75 | 1 | 1.43 | 3.33 | 0.6 | 0.273 | 1.32 | 2 |
| 2.4 | 2 | 3 | 3 | 0.75 | 2 | 1.48 | 3.62 | 0.8 | 0.282 | 1.31 | 3 |
| 2.6 | 3 | 4 | 5 | 0.75 | 4 | 1.54 | 3.93 | 1.0 | 0.293 | 1.31 | 5 |
| 2.8 | 3 | 4 | 5 | 0.75 | 4 | 1.54 | 4.24 | 1.2 | 0.304 | 1.30 | 5 |
| 3.0 | 2 | 3 | 3 | 0.75 | 2 | 1.48 | 4.54 | 1.4 | 0.314 | 1.30 | 3 |
| 3.2 | 3 | 4 | 5 | 0.75 | 4 | 1.54 | 4.84 | 1.6 | 0.324 | 1.29 | 5 |
| 3.4 | 8 | 12 | 13 | 0.75 | 10 | 1.77 | 5.20 | 1.8 | 0.340 | 1.28 | 12 |
| 3.6 | 6 | 9 | 10 | 0.75 | 7 | 1.69 | 5.54 | 2.0 | 0.354 | 1.27 | 9 |
| 3.8 | 6 | 9 | 10 | 0.75 | 7 | 1.69 | 5.88 | 2.2 | 0.368 | 1.27 | 9 |
| 4.0 | 8 | 12 | 13 | 0.75 | 10 | 1.77 | 6.23 | 2.4 | 0.383 | 1.26 | 12 |
| 4.2 | 3 | 4 | 5 | 0.85 | 4 | 1.56 | 6.54 | 2.6 | 0.394 | 1.25 | 5 |
| 4.4 | 10 | 15 | 16 | 0.85 | 14 | 1.90 | 6.92 | 2.8 | 0.412 | 1.24 | 17 |
| 4.6 | 10 | 15 | 16 | 0.85 | 14 | 1.90 | 7.30 | 3.0 | 0.430 | 1.23 | 17 |
| 4.8 | 8 | 12 | 13 | 0.85 | 11 | 1.82 | 7.66 | 3.2 | 0.446 | 1.23 | 14 |

| | | | | | | | | | | | |
|------|----|----|----|------|----|------|-------|------|-------|------|-----|
| 5.0 | 9 | 13 | 15 | 0.85 | 12 | 1.86 | 8.04 | 3.4 | 0.464 | 1.22 | 15 |
| 5.2 | 10 | 15 | 16 | 0.85 | 14 | 1.90 | 8.41 | 3.6 | 0.481 | 1.21 | 17 |
| 5.4 | 10 | 15 | 16 | 0.85 | 14 | 1.90 | 8.79 | 3.8 | 0.499 | 1.20 | 17 |
| 5.6 | 9 | 13 | 15 | 0.85 | 12 | 1.86 | 9.16 | 4.0 | 0.516 | 1.19 | 15 |
| 5.8 | 9 | 13 | 15 | 0.85 | 12 | 1.86 | 9.54 | 4.2 | 0.534 | 1.18 | 15 |
| 6.0 | 10 | 15 | 16 | 0.85 | 14 | 1.90 | 9.92 | 4.4 | 0.552 | 1.18 | 16 |
| 6.2 | 10 | 15 | 16 | 0.95 | 15 | 1.94 | 10.30 | 4.6 | 0.570 | 1.17 | 18 |
| 6.4 | 12 | 18 | 19 | 0.95 | 19 | 2.00 | 10.70 | 4.8 | 0.590 | 1.16 | 21 |
| 6.6 | 11 | 16 | 18 | 0.95 | 17 | 1.97 | 11.10 | 5.0 | 0.610 | 1.15 | 20 |
| 6.8 | 13 | 19 | 21 | 0.95 | 20 | 2.03 | 11.50 | 5.2 | 0.630 | 1.14 | 23 |
| 7 | 13 | 19 | 21 | 0.95 | 20 | 2.03 | 11.91 | 5.4 | 0.651 | 1.13 | 23 |
| 7.2 | 14 | 21 | 23 | 0.95 | 22 | 2.06 | 12.32 | 5.6 | 0.672 | 1.12 | 24 |
| 7.4 | 14 | 21 | 23 | 0.95 | 22 | 2.06 | 12.73 | 5.8 | 0.693 | 1.11 | 24 |
| 7.6 | 13 | 19 | 21 | 0.95 | 20 | 2.03 | 13.14 | 6.0 | 0.714 | 1.11 | 22 |
| 7.8 | 13 | 19 | 21 | 0.95 | 20 | 2.03 | 13.55 | 6.2 | 0.735 | 1.10 | 22 |
| 8.0 | 13 | 19 | 21 | 0.95 | 20 | 2.03 | 13.95 | 6.4 | 0.755 | 1.09 | 22 |
| 8.2 | 14 | 21 | 23 | 0.95 | 22 | 2.06 | 14.37 | 6.6 | 0.777 | 1.08 | 23 |
| 8.4 | 14 | 21 | 23 | 0.95 | 22 | 2.06 | 14.78 | 6.8 | 0.798 | 1.07 | 23 |
| 8.6 | 18 | 27 | 29 | 0.95 | 28 | 2.13 | 15.20 | 7.0 | 0.820 | 1.06 | 30 |
| 8.8 | 19 | 28 | 31 | 0.95 | 29 | 2.15 | 15.63 | 7.2 | 0.843 | 1.06 | 31 |
| 9.0 | 13 | 19 | 21 | 0.95 | 20 | 2.03 | 16.04 | 7.4 | 0.864 | 1.05 | 21 |
| 9.2 | 18 | 27 | 29 | 0.95 | 28 | 2.13 | 16.47 | 7.6 | 0.887 | 1.04 | 29 |
| 9.4 | 18 | 27 | 29 | 0.95 | 28 | 2.13 | 16.89 | 7.8 | 0.909 | 1.03 | 29 |
| 9.6 | 18 | 27 | 29 | 0.95 | 28 | 2.13 | 17.32 | 8.0 | 0.932 | 1.02 | 28 |
| 9.8 | 18 | 27 | 29 | 0.95 | 28 | 2.13 | 17.75 | 8.2 | 0.955 | 1.02 | 28 |
| 10.0 | 17 | 25 | 28 | 0.95 | 26 | 2.12 | 18.17 | 8.4 | 0.977 | 1.01 | 26 |
| 10.2 | 20 | 30 | 32 | 1 | 32 | 2.17 | 18.61 | 8.6 | 1.001 | 1.00 | 32 |
| 10.4 | 18 | 27 | 29 | 1 | 29 | 2.15 | 19.04 | 8.8 | 1.024 | 0.99 | 29 |
| 10.6 | 15 | 22 | 24 | 1 | 24 | 2.10 | 19.45 | 9.0 | 1.045 | 0.99 | 24 |
| 10.8 | 25 | 37 | 41 | 1 | 41 | 2.19 | 19.89 | 9.2 | 1.069 | 0.98 | 40 |
| 11.0 | 17 | 25 | 28 | 1 | 28 | 2.13 | 20.32 | 9.4 | 1.092 | 0.97 | 27 |
| 11.2 | 22 | 32 | 36 | 1 | 36 | 2.18 | 20.76 | 9.6 | 1.116 | 0.96 | 34 |
| 11.4 | 19 | 28 | 31 | 1 | 31 | 2.16 | 21.19 | 9.8 | 1.139 | 0.96 | 29 |
| 11.6 | 19 | 28 | 31 | 1 | 31 | 2.16 | 21.62 | 10.0 | 1.162 | 0.95 | 29 |
| 11.8 | 22 | 32 | 36 | 1 | 36 | 2.18 | 22.06 | 10.2 | 1.186 | 0.94 | 34 |
| 12.0 | 18 | 27 | 29 | 1 | 29 | 2.15 | 22.49 | 10.4 | 1.209 | 0.93 | 27 |
| 12.2 | 19 | 28 | 31 | 1 | 31 | 2.16 | 22.92 | 10.6 | 1.232 | 0.93 | 29 |
| 12.4 | 19 | 28 | 31 | 1 | 31 | 2.16 | 23.35 | 10.8 | 1.255 | 0.92 | 28 |
| 12.6 | 16 | 24 | 26 | 1 | 26 | 2.12 | 23.77 | 11.0 | 1.277 | 0.92 | 24 |
| 12.8 | 19 | 28 | 31 | 1 | 31 | 2.16 | 24.21 | 11.2 | 1.301 | 0.91 | 28 |
| 13.0 | 20 | 30 | 32 | 1 | 32 | 2.17 | 24.64 | 11.4 | 1.324 | 0.90 | 29 |
| 13.2 | 20 | 30 | 32 | 1 | 32 | 2.17 | 25.07 | 11.6 | 1.347 | 0.90 | 29 |
| 13.4 | 17 | 25 | 28 | 1 | 28 | 2.13 | 25.50 | 11.8 | 1.370 | 0.89 | 25 |
| 13.6 | R | | | 1 | | | | | | | 100 |

| Strato n. | Interpretazione litologica | Prof. m | Nspt | γ t/m ³ | γ sat. t/m ³ | D _R % | $\Phi' ^\circ$ DeMello | $\Phi' ^\circ$ Wolff | E ₂₅ kg/cm ² | M kg/cm ² |
|-----------|---|----------|------|---------------------------|--------------------------------|------------------|------------------------|----------------------|------------------------------------|----------------------|
| 1 | Sabbia con ghiaia e ciottoli Sciolta parz. rimaneggiata | 0.0-3.2 | 4 | 1.5 | 1.8 | 26 | 24.1 | 28.4 | 24.8 | 51.9 |
| 2 | Sabbia con ghiaia poco addensata | 3.2-4.2 | 10 | 1.7 | 1.9 | 40 | 27.3 | 30.0 | 60.8 | 118.0 |
| 3 | Sabbia ghiaiosa | 4.2-6.2 | 16 | 1.9 | 2.0 | 52 | 29.3 | 31.8 | 105.6 | 176.9 |
| 4 | Sabbia con ghiaia e ciottoli | 6.2-8.4 | 22 | 2.0 | 2.1 | 61 | 30.5 | 33.6 | 160.7 | 249.3 |
| 5 | Sabbia e ghiaia con ciottoli | 8.4-13.6 | 29 | 2.1 | 2.2 | 69 | 31.3 | 35.3 | 236.2 | 389.6 |

| Strato n. | Interpretazione litologica | Prof. m | Vs Otha Goto m/s | G ₀ Mpa Wroth | G ₀ MPa | Prof. m MASW | Vs MASW m/s | G ₀ MASW MPa | v | K _w kg/cm ³ | Kh* Kg/cm ³ |
|-----------|---|----------|------------------|--------------------------|--------------------|--------------|-------------|-------------------------|------|-----------------------------------|------------------------|
| 1 | Sabbia con ghiaia e ciottoli sciolta parz. rimaneggiata | 0.0-3.2 | 120 | 33.7 | 21.8 | 0.0-3.0 | 245 | 90.8 | 0.34 | 0.46 | 0.6 |
| 2 | Sabbia con ghiaia poco addensata | 3.2-4.2 | 192 | 62.1 | 62.5 | - | - | - | 0.33 | 1.16 | 2.64 |
| 3 | Sabbia ghiaiosa | 4.2-6.2 | 287 | 90.3 | 154.7 | 3.0-6.0 | 310 | 180.6 | 0.32 | 12.42 | 4.75 |
| 4 | Sabbia con ghiaia e ciottoli | 6.2-8.4 | 327 | 120.1 | 217.5 | 6.0-10 | 430 | 375.9 | 0.31 | 14.26 | 6.96 |
| 5 | Sabbia e ghiaia con ciottoli | 8.4-13.6 | 384 | 156.1 | 315.6 | 10-14 | 570 | 696.6 | 0.3 | 16.04 | 11.88 |

**Kh calcolato per pali diam. 0.6 m*



Pz 3 quota 158.86 m slm

0.0-0.8 m: sabbia grossolana giallastra e ghiaia con ciottoli

0.8-0.85 m: sabbia fine con limo grigio scuro

0.85-1.3 m: sabbia grossolana ghiaiosa giallastra

1.30- 1.50 m: sabbia con ghiaia giallastra

1.5-1.80 m: sabbia e ghiaia media e fine grigia umida



PPD 3 quota 158.86 m slm; quota falda -2.00 m

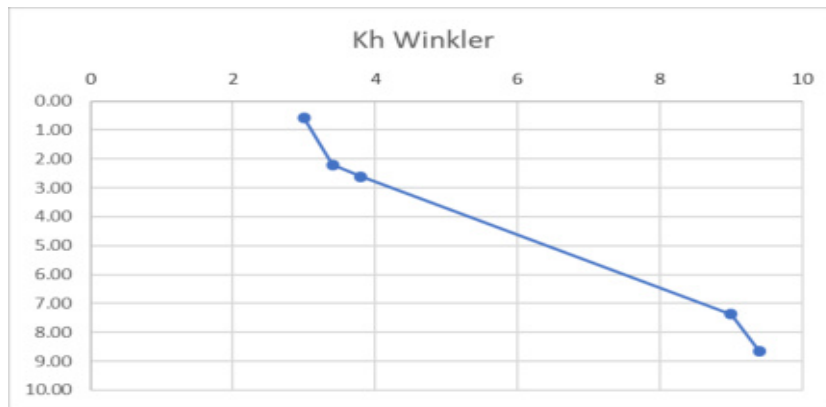
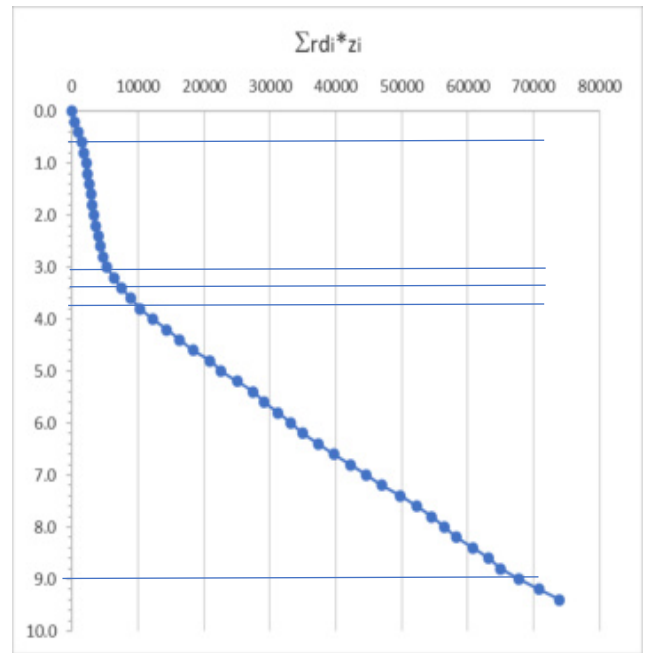
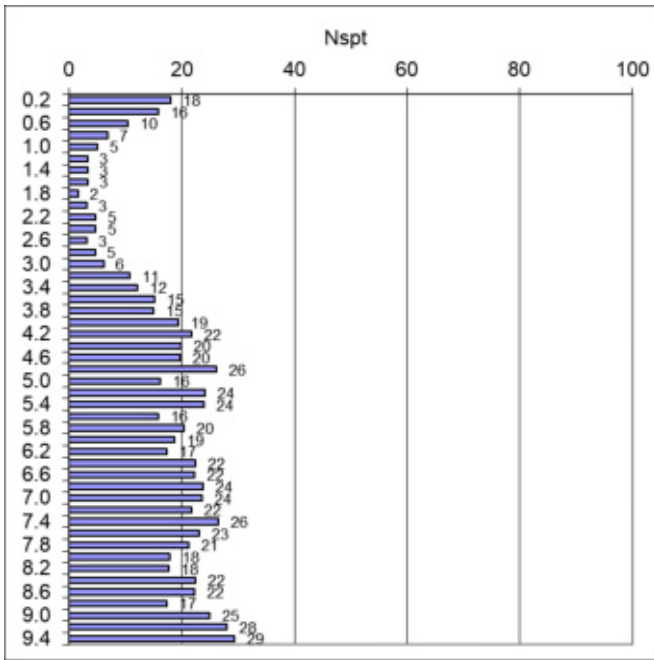
| Prof. | N | Nspt | Ce | CR | N60 | peso terreno | tensione totale | pressione neutra | tensione vert. Eff. | CN adottato | N1(60) |
|-------|----|------|-----|------|-----|--------------|-----------------|------------------|---------------------|-------------|--------|
| m | N | 1.48 | 1.1 | | | t/mc | t/mq | t/mq | kg/cmq | CN | |
| 0.2 | 10 | 15 | 16 | 0.75 | 12 | 1.85 | 0.37 | | 0.037 | 1.47 | 18 |
| 0.4 | 9 | 13 | 15 | 0.75 | 11 | 1.81 | 0.73 | | 0.073 | 1.45 | 16 |
| 0.6 | 6 | 9 | 10 | 0.75 | 7 | 1.69 | 1.07 | | 0.107 | 1.42 | 10 |
| 0.8 | 4 | 6 | 6 | 0.75 | 5 | 1.59 | 1.39 | | 0.139 | 1.40 | 7 |
| 1.0 | 3 | 4 | 5 | 0.75 | 4 | 1.54 | 1.70 | | 0.170 | 1.38 | 5 |
| 1.2 | 2 | 3 | 3 | 0.75 | 2 | 1.48 | 1.99 | | 0.199 | 1.36 | 3 |
| 1.4 | 2 | 3 | 3 | 0.75 | 2 | 1.48 | 2.29 | | 0.229 | 1.35 | 3 |
| 1.6 | 2 | 3 | 3 | 0.75 | 2 | 1.48 | 2.59 | | 0.259 | 1.33 | 3 |
| 1.8 | 1 | 1 | 2 | 0.75 | 1 | 1.43 | 2.87 | | 0.287 | 1.31 | 2 |
| 2.0 | 2 | 3 | 3 | 0.75 | 2 | 1.48 | 3.17 | 0.0 | 0.317 | 1.29 | 3 |
| 2.2 | 3 | 4 | 5 | 0.75 | 4 | 1.54 | 3.48 | 0.2 | 0.328 | 1.29 | 5 |
| 2.4 | 3 | 4 | 5 | 0.75 | 4 | 1.54 | 3.79 | 0.4 | 0.339 | 1.28 | 5 |
| 2.6 | 2 | 3 | 3 | 0.75 | 2 | 1.48 | 4.08 | 0.6 | 0.348 | 1.28 | 3 |
| 2.8 | 3 | 4 | 5 | 0.75 | 4 | 1.54 | 4.39 | 0.8 | 0.359 | 1.27 | 5 |
| 3.0 | 4 | 6 | 6 | 0.75 | 5 | 1.59 | 4.71 | 1.0 | 0.371 | 1.27 | 6 |
| 3.2 | 7 | 10 | 11 | 0.75 | 9 | 1.73 | 5.05 | 1.2 | 0.385 | 1.26 | 11 |
| 3.4 | 8 | 12 | 13 | 0.75 | 10 | 1.77 | 5.41 | 1.4 | 0.401 | 1.25 | 12 |
| 3.6 | 10 | 15 | 16 | 0.75 | 12 | 1.85 | 5.78 | 1.6 | 0.418 | 1.24 | 15 |
| 3.8 | 10 | 15 | 16 | 0.75 | 12 | 1.85 | 6.15 | 1.8 | 0.435 | 1.23 | 15 |
| 4.0 | 13 | 19 | 21 | 0.75 | 16 | 1.95 | 6.54 | 2.0 | 0.454 | 1.22 | 19 |
| 4.2 | 13 | 19 | 21 | 0.85 | 18 | 1.99 | 6.94 | 2.2 | 0.474 | 1.21 | 22 |
| 4.4 | 12 | 18 | 19 | 0.85 | 17 | 1.96 | 7.33 | 2.4 | 0.493 | 1.20 | 20 |
| 4.6 | 12 | 18 | 19 | 0.85 | 17 | 1.96 | 7.72 | 2.6 | 0.512 | 1.19 | 20 |
| 4.8 | 16 | 24 | 26 | 0.85 | 22 | 2.07 | 8.14 | 2.8 | 0.534 | 1.18 | 26 |

| | | | | | | | | | | | |
|-----|----|----|----|------|----|------|-------|-----|-------|------|----|
| 5.0 | 10 | 15 | 16 | 0.85 | 14 | 1.90 | 8.51 | 3.0 | 0.551 | 1.18 | 16 |
| 5.2 | 15 | 22 | 24 | 0.85 | 21 | 2.04 | 8.92 | 3.2 | 0.572 | 1.17 | 24 |
| 5.4 | 15 | 22 | 24 | 0.85 | 21 | 2.04 | 9.33 | 3.4 | 0.593 | 1.16 | 24 |
| 5.6 | 10 | 15 | 16 | 0.85 | 14 | 1.90 | 9.71 | 3.6 | 0.611 | 1.15 | 16 |
| 5.8 | 13 | 19 | 21 | 0.85 | 18 | 1.99 | 10.11 | 3.8 | 0.631 | 1.14 | 20 |
| 6.0 | 12 | 18 | 19 | 0.85 | 17 | 1.96 | 10.50 | 4.0 | 0.650 | 1.13 | 19 |
| 6.2 | 10 | 15 | 16 | 0.95 | 15 | 1.94 | 10.89 | 4.2 | 0.669 | 1.12 | 17 |
| 6.4 | 13 | 19 | 21 | 0.95 | 20 | 2.03 | 11.30 | 4.4 | 0.690 | 1.12 | 22 |
| 6.6 | 13 | 19 | 21 | 0.95 | 20 | 2.03 | 11.70 | 4.6 | 0.710 | 1.11 | 22 |
| 6.8 | 14 | 21 | 23 | 0.95 | 22 | 2.06 | 12.11 | 4.8 | 0.731 | 1.10 | 24 |
| 7 | 14 | 21 | 23 | 0.95 | 22 | 2.06 | 12.53 | 5.0 | 0.753 | 1.09 | 24 |
| 7.2 | 13 | 19 | 21 | 0.95 | 20 | 2.03 | 12.93 | 5.2 | 0.773 | 1.08 | 22 |
| 7.4 | 16 | 24 | 26 | 0.95 | 25 | 2.10 | 13.35 | 5.4 | 0.795 | 1.07 | 26 |
| 7.6 | 14 | 21 | 23 | 0.95 | 22 | 2.06 | 13.76 | 5.6 | 0.816 | 1.07 | 23 |
| 7.8 | 13 | 19 | 21 | 0.95 | 20 | 2.03 | 14.17 | 5.8 | 0.837 | 1.06 | 21 |
| 8.0 | 11 | 16 | 18 | 0.95 | 17 | 1.97 | 14.57 | 6.0 | 0.857 | 1.05 | 18 |
| 8.2 | 11 | 16 | 18 | 0.95 | 17 | 1.97 | 14.96 | 6.2 | 0.876 | 1.04 | 18 |
| 8.4 | 14 | 21 | 23 | 0.95 | 22 | 2.06 | 15.37 | 6.4 | 0.897 | 1.04 | 22 |
| 8.6 | 14 | 21 | 23 | 0.95 | 22 | 2.06 | 15.78 | 6.6 | 0.918 | 1.03 | 22 |
| 8.8 | 11 | 16 | 18 | 0.95 | 17 | 1.97 | 16.18 | 6.8 | 0.938 | 1.02 | 17 |
| 9.0 | 16 | 24 | 26 | 0.95 | 25 | 2.10 | 16.60 | 7.0 | 0.960 | 1.01 | 25 |
| 9.2 | 18 | 27 | 29 | 0.95 | 28 | 2.13 | 17.02 | 7.2 | 0.982 | 1.01 | 28 |
| 9.4 | 19 | 28 | 31 | 0.95 | 29 | 2.15 | 17.45 | 7.4 | 1.005 | 1.00 | 29 |

| Strato n. | Interpretazione litologica | Prof. m | Nspt | γ t/m ³ | γ sat. t/m ³ | D _r % | $\Phi' \circ$ DeMello | $\Phi' \circ$ Wolff | E ₂₅ kg/cm ² | M kg/cm ² |
|-----------|--------------------------------------|---------|------|---------------------------|--------------------------------|------------------|-----------------------|---------------------|------------------------------------|----------------------|
| 1 | Riporto | 0.0-0.6 | 15 | 1.8 | 1.9 | 49 | 29.1 | 31.4 | - | - |
| 2 | Sabbia con ghiaia e ciottoli sciolti | 0.6-3.0 | 4 | 1.5 | 1.7 | 26 | 24.0 | 28.3 | 25.0 | 52.0 |
| 3 | Sabbia con ghiaia poco addensata | 3.0-3.4 | 11 | 1.7 | 1.9 | 44 | 28.1 | 30.5 | 72.7 | 133.6 |
| 4 | Sabbia ghiaiosa | 3.4-3.8 | 15 | 1.8 | 1.9 | 50 | 29.1 | 31.5 | 96.9 | 165.4 |
| 5 | Sabbia con ghiaia e ciottoli | 3.8-9.0 | 21 | 2.0 | 2.1 | 59 | 30.3 | 33.2 | 151.9 | 237.8 |
| 6 | Sabbia e ghiaia e ciottoli | 9.0-9.4 | 29 | 2.1 | 2.2 | 69 | 31.3 | 35.2 | 227.1 | 376.0 |

| Strato n. | Interpretazione litologica | Prof. m | Vs Otha Goto m/s | G ₀ Mpa Wroth | G ₀ MPa | ν | K _w kg/cm ³ | Kh* Kg/cm ³ |
|-----------|--------------------------------------|---------|------------------|--------------------------|--------------------|-------|-----------------------------------|------------------------|
| 1 | Riporto | 0.0-0.6 | - | - | - | - | - | - |
| 2 | Sabbia con ghiaia e ciottoli sciolti | 0.6-3.0 | 119 | 33.9 | 21.3 | 0.34 | 0.45 | 0.56 |
| 3 | Sabbia con ghiaia poco addensata | 3.0-3.4 | 190 | 70.0 | 63.2 | 0.33 | 11.14 | 2.21 |
| 4 | Sabbia ghiaiosa | 3.4-3.8 | 257 | 85.2 | 122.3 | 0.32 | 12.16 | 2.60 |
| 5 | Sabbia con ghiaia e ciottoli | 3.8-9.0 | 328 | 115.6 | 216.4 | 0.31 | 13.88 | 7.37 |
| 6 | Sabbia e ghiaia e ciottoli | 9.0-9.4 | 355 | 152.0 | 269.6 | 0.30 | 15.98 | 8.65 |

*Kh calcolato per pali diam. 0.6 m



Pz 4 quota 157.52 m slm

0.0-0.8 m: ghiaia e sabbia giallastra con ciottoli

0.8-0.85 m: geotessuto e sabbia fine con limo grigio scuro

0.85-1.4 m: ghiaia e ciottoli con sabbia deb. limosa giallastra



PPD 4 quota 158.07 m slm; quota falda -3.00 m

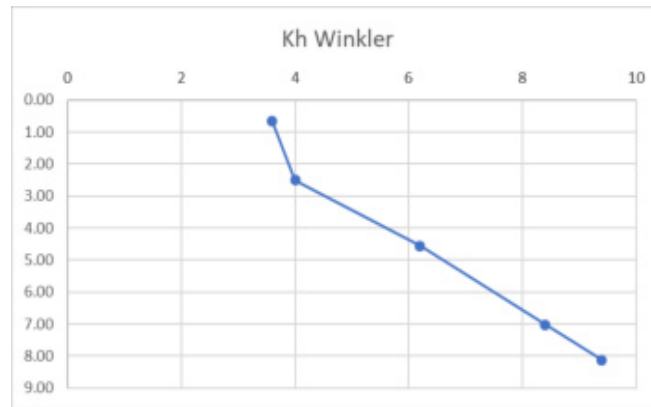
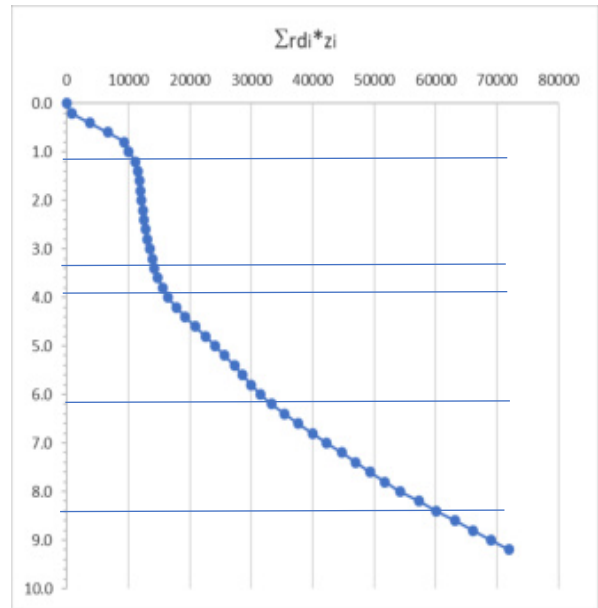
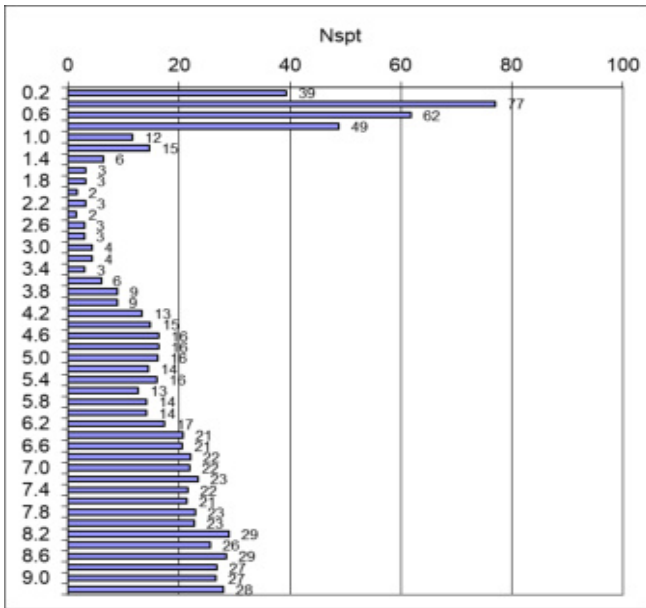
| Prof. | N | Nspt | Ce | CR | N60 | peso terreno | tensione totale | pressione neutra | tensione vert. Eff. | CN adottato | N1(60) |
|-------|----|------|-----|------|-----|--------------|-----------------|------------------|---------------------|-------------|--------|
| m | N | 1.48 | 1.1 | | | t/mc | t/mq | t/mq | kg/cmq | CN | |
| 0.2 | 22 | 32 | 36 | 0.75 | 27 | 2.13 | 0.43 | | 0.043 | 1.47 | 39 |
| 0.4 | 44 | 65 | 71 | 0.75 | 54 | 2.20 | 0.86 | | 0.086 | 1.44 | 77 |
| 0.6 | 36 | 53 | 58 | 0.75 | 44 | 2.20 | 1.30 | | 0.130 | 1.41 | 62 |
| 0.8 | 29 | 43 | 47 | 0.75 | 35 | 2.18 | 1.74 | | 0.174 | 1.38 | 49 |
| 1.0 | 7 | 10 | 11 | 0.75 | 9 | 1.73 | 2.09 | | 0.209 | 1.36 | 12 |
| 1.2 | 9 | 13 | 15 | 0.75 | 11 | 1.81 | 2.45 | | 0.245 | 1.34 | 15 |
| 1.4 | 4 | 6 | 6 | 0.75 | 5 | 1.59 | 2.77 | | 0.277 | 1.32 | 6 |
| 1.6 | 2 | 3 | 3 | 0.75 | 2 | 1.48 | 3.07 | | 0.307 | 1.30 | 3 |
| 1.8 | 2 | 3 | 3 | 0.75 | 2 | 1.48 | 3.36 | | 0.336 | 1.28 | 3 |
| 2.0 | 1 | 1 | 2 | 0.75 | 1 | 1.43 | 3.65 | | 0.365 | 1.27 | 2 |
| 2.2 | 2 | 3 | 3 | 0.75 | 2 | 1.48 | 3.94 | | 0.394 | 1.25 | 3 |
| 2.4 | 1 | 1 | 2 | 0.75 | 1 | 1.43 | 4.23 | | 0.423 | 1.24 | 2 |
| 2.6 | 2 | 3 | 3 | 0.75 | 2 | 1.48 | 4.53 | | 0.453 | 1.22 | 3 |
| 2.8 | 2 | 3 | 3 | 0.75 | 2 | 1.48 | 4.82 | | 0.482 | 1.21 | 3 |
| 3.0 | 3 | 4 | 5 | 0.75 | 4 | 1.54 | 5.13 | 0.0 | 0.513 | 1.19 | 4 |
| 3.2 | 3 | 4 | 5 | 0.75 | 4 | 1.54 | 5.44 | 0.2 | 0.524 | 1.19 | 4 |
| 3.4 | 2 | 3 | 3 | 0.75 | 2 | 1.48 | 5.74 | 1.4 | 0.434 | 1.23 | 3 |
| 3.6 | 4 | 6 | 6 | 0.75 | 5 | 1.59 | 6.05 | 1.6 | 0.445 | 1.23 | 6 |
| 3.8 | 6 | 9 | 10 | 0.75 | 7 | 1.69 | 6.39 | 1.8 | 0.459 | 1.22 | 9 |
| 4.0 | 6 | 9 | 10 | 0.75 | 7 | 1.69 | 6.73 | 2.0 | 0.473 | 1.21 | 9 |
| 4.2 | 8 | 12 | 13 | 0.85 | 11 | 1.82 | 7.09 | 2.2 | 0.489 | 1.21 | 13 |
| 4.4 | 9 | 13 | 15 | 0.85 | 12 | 1.86 | 7.46 | 2.4 | 0.506 | 1.20 | 15 |
| 4.6 | 10 | 15 | 16 | 0.85 | 14 | 1.90 | 7.84 | 2.6 | 0.524 | 1.19 | 16 |
| 4.8 | 10 | 15 | 16 | 0.85 | 14 | 1.90 | 8.22 | 2.8 | 0.542 | 1.18 | 16 |
| 5.0 | 10 | 15 | 16 | 0.85 | 14 | 1.90 | 8.60 | 3.0 | 0.560 | 1.17 | 16 |
| 5.2 | 9 | 13 | 15 | 0.85 | 12 | 1.86 | 8.97 | 3.2 | 0.577 | 1.16 | 14 |

| | | | | | | | | | | | |
|-----|----|----|----|------|----|------|-------|-----|-------|------|----|
| 5.4 | 10 | 15 | 16 | 0.85 | 14 | 1.90 | 9.35 | 3.4 | 0.595 | 1.16 | 16 |
| 5.6 | 8 | 12 | 13 | 0.85 | 11 | 1.82 | 9.71 | 3.6 | 0.611 | 1.15 | 13 |
| 5.8 | 9 | 13 | 15 | 0.85 | 12 | 1.86 | 10.09 | 3.8 | 0.629 | 1.14 | 14 |
| 6.0 | 9 | 13 | 15 | 0.85 | 12 | 1.86 | 10.46 | 4.0 | 0.646 | 1.13 | 14 |
| 6.2 | 10 | 15 | 16 | 0.95 | 15 | 1.94 | 10.85 | 4.2 | 0.665 | 1.13 | 17 |
| 6.4 | 12 | 18 | 19 | 0.95 | 19 | 2.00 | 11.25 | 4.4 | 0.685 | 1.12 | 21 |
| 6.6 | 12 | 18 | 19 | 0.95 | 19 | 2.00 | 11.65 | 4.6 | 0.705 | 1.11 | 21 |
| 6.8 | 13 | 19 | 21 | 0.95 | 20 | 2.03 | 12.05 | 4.8 | 0.725 | 1.10 | 22 |
| 7 | 13 | 19 | 21 | 0.95 | 20 | 2.03 | 12.46 | 5.0 | 0.746 | 1.09 | 22 |
| 7.2 | 14 | 21 | 23 | 0.95 | 22 | 2.06 | 12.87 | 5.2 | 0.767 | 1.08 | 23 |
| 7.4 | 13 | 19 | 21 | 0.95 | 20 | 2.03 | 13.28 | 5.4 | 0.788 | 1.08 | 22 |
| 7.6 | 13 | 19 | 21 | 0.95 | 20 | 2.03 | 13.68 | 5.6 | 0.808 | 1.07 | 21 |
| 7.8 | 14 | 21 | 23 | 0.95 | 22 | 2.06 | 14.10 | 5.8 | 0.830 | 1.06 | 23 |
| 8.0 | 14 | 21 | 23 | 0.95 | 22 | 2.06 | 14.51 | 6.0 | 0.851 | 1.05 | 23 |
| 8.2 | 18 | 27 | 29 | 0.95 | 28 | 2.13 | 14.93 | 6.2 | 0.873 | 1.04 | 29 |
| 8.4 | 16 | 24 | 26 | 0.95 | 25 | 2.10 | 15.35 | 6.4 | 0.895 | 1.04 | 26 |
| 8.6 | 18 | 27 | 29 | 0.95 | 28 | 2.13 | 15.78 | 6.6 | 0.918 | 1.03 | 29 |
| 8.8 | 17 | 25 | 28 | 0.95 | 26 | 2.12 | 16.21 | 6.8 | 0.941 | 1.02 | 27 |
| 9.0 | 17 | 25 | 28 | 0.95 | 26 | 2.12 | 16.63 | 7.0 | 0.963 | 1.01 | 27 |
| 9.2 | 18 | 27 | 29 | 0.95 | 28 | 2.13 | 17.06 | 7.2 | 0.986 | 1.00 | 28 |

| Strato n. | Interpretazione litologica | Prof. m | Nspt | γ t/m ³ | γ sat. t/m ³ | Dr % | $\Phi' \circ$ DeMello | $\Phi' \circ$ Wolff | E ₂₅ kg/cm ² | M kg/cm ² |
|-----------|--------------------------------------|---------|------|---------------------------|--------------------------------|------|-----------------------|---------------------|------------------------------------|----------------------|
| 1 | Riporto strada | 0.0-1.2 | 42 | 2.0 | 2.1 | 80 | 32.3 | 38.5 | - | - |
| 2 | Sabbia con ghiaia e ciottoli sciolti | 1.2-3.6 | 4 | 1.5 | 1.7 | 24 | 23.3 | 28.2 | 22.6 | 50.7 |
| 3 | Sabbia con ghiaia poco addensata | 3.6-4.0 | 9 | 1.7 | 1.9 | 38 | 27.1 | 29.7 | 58.1 | 114.5 |
| 4 | Sabbia ghiaiosa | 4.0-6.2 | 15 | 1.9 | 2.0 | 47 | 29.1 | 31.5 | 103.0 | 173.5 |
| 5 | Sabbia con ghiaia e ciottoli | 6.2-8.4 | 23 | 2.0 | 2.1 | 53 | 30.6 | 33.7 | 169.6 | 261.0 |
| 6 | Sabbia e ghiaia e ciottoli | 8.4-9.2 | 27 | 2.1 | 2.2 | 57 | 31.2 | 34.9 | 214.8 | 357.7 |

| Strato n. | Interpretazione litologica | Prof. m | Vs Otha Goto m/s | G ₀ Mpa Wroth | G ₀ MPa | v | K _w kg/cm ³ | Kh* Kg/cm ³ |
|-----------|--------------------------------------|---------|------------------|--------------------------|--------------------|------|-----------------------------------|------------------------|
| 1 | Riporto strada | 0.0-1.2 | - | - | - | - | - | - |
| 2 | Sabbia con ghiaia e ciottoli sciolti | 1.2-3.6 | 121 | 31.7 | 21.9 | 0.35 | 0.38 | 0.67 |
| 3 | Sabbia con ghiaia poco addensata | 3.6-4.0 | 189 | 60.2 | 60.0 | 0.34 | 1.78 | 2.50 |
| 4 | Sabbia ghiaiosa | 4.0-6.2 | 286 | 88.8 | 152.6 | 0.32 | 12.16 | 4.55 |
| 5 | Sabbia con ghiaia e ciottoli | 6.2-8.4 | 330 | 124.6 | 223.4 | 0.31 | 14.37 | 7.02 |
| 6 | Sabbia e ghiaia e ciottoli | 8.4-9.2 | 350 | 146.3 | 260.5 | 0.30 | 15.66 | 8.12 |

*Kh calcolato per pali diam. 0.6 m



Pz 5 quota 158.17 m slm

0.0-0.3 m: sabbia giallastra ghiaiosa

0.3-1.7 m: ghiaia e ciottoli con sabbia giallastra



Pz 6 quota 157.31 m slm

0.0-0.25 m: sabbia giallastra con ghiaia

0.25-1.0 m: limo sabbioso grigio scuro con screziature ocre

1.0 – 1.6 m: ghiaia e sabbia debolmente limosa e ciottolosa



9 PARAMETRI DEI TERRENI E MODELLO GEOTECNICO

Le NTC richiedono, per la scelta dei valori caratteristici, un procedimento in due fasi:

- *Identificazione dei parametri appropriati al progetto: in caso di modesti volumi coinvolti è preferibile ricorrere al ϕ_{cv} mentre con grandi volumi di terreno coinvolti, può essere utilizzato il valore del ϕ' ;*
- *Valutazione dei valori caratteristici: valori prossimi ai valori medi quando nello stato limite considerato è coinvolto un elevato volume di terreno, con compensazione delle eterogeneità, o quando la struttura a contatto con il terreno è dotata di sufficiente rigidità; valori prossimi ai minimi invece sono giustificati quando sono coinvolti modesti volumi di terreno, con concentrazione delle deformazioni nelle porzioni di terreno meno resistenti del volume significativo o in caso di strutture non sufficientemente rigide.*

Il calcolo dei valori caratteristici è stato effettuato con la seguente formula, valida con pochi

dati (5° percentile di distribuzione della media - $\phi'k$):
$$x_k = \bar{x} - 1.645 \left(\frac{\sigma}{\sqrt{n}} \right)$$

- X_k valore medio del parametro geotecnico;
- σ deviazione standard;
- n numero campioni;
- il coefficiente di variazione, ottenuto dal rapporto tra deviazione standard e parametro medio, è stato valutato in base alle indicazioni di bibliografia, alla variabilità dei dati ed al numero di dati disponibili;
- $X = -1,645$: valore fissato dall'EC7, corrispondente a una probabilità di non superamento del 5% in una distribuzione Gaussiana.

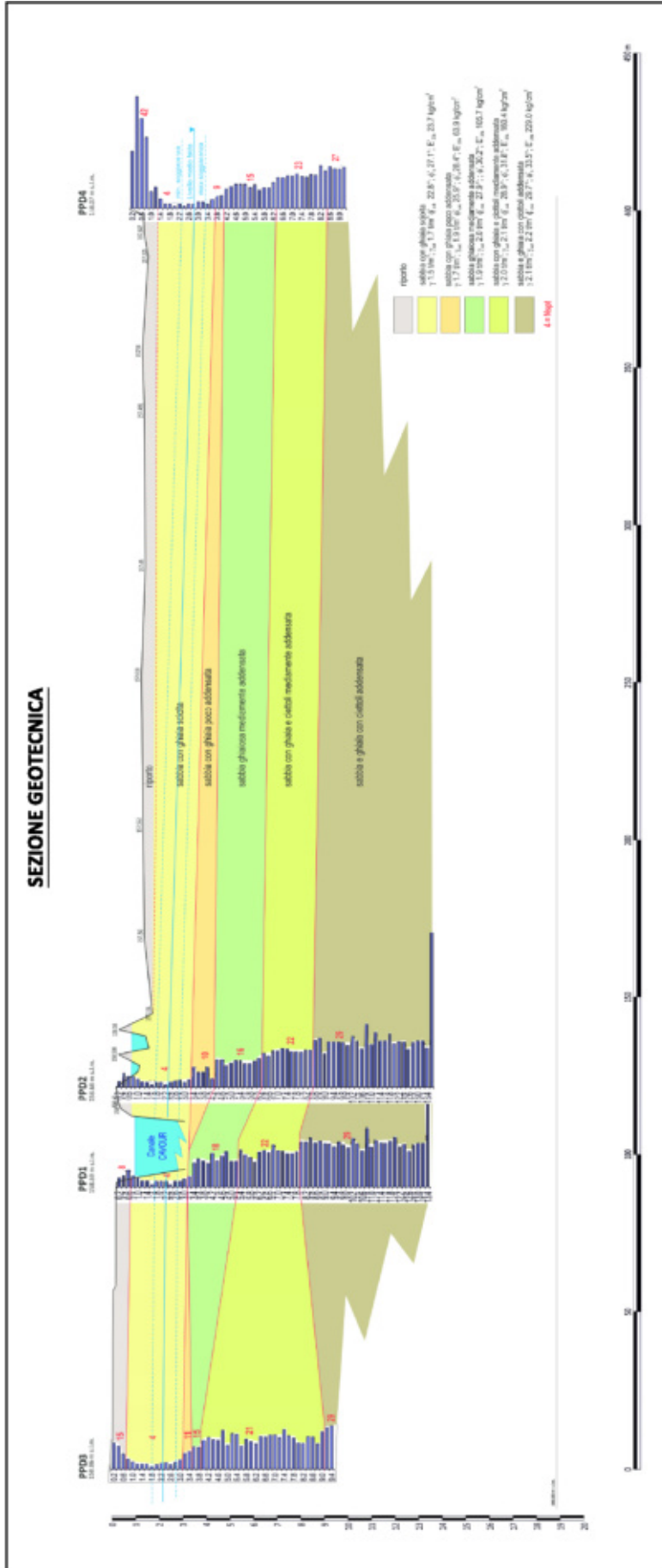
Per la stima dei valori caratteristici degli altri parametri sono stati utilizzati i valori medi.

Il modello geotecnico è riportato nella tavola seguente, nelle tabelle i parametri dei terreni:

| SPESSORE m | STRATO | Nspt medio | γ t/m ³ | γ_{sat} t/m ³ | ϕ'_m De Mello | ϕ'_m Wolff | COV | ϕ'_k DeMello | ϕ'_k Wolff | E_k 25 kg/cm ² | M_k kg/m ² |
|---------------|---|---------------|---------------------------|---------------------------------|--------------------------|--------------------|-----|----------------------|--------------------|--------------------------------|----------------------------|
| 0.6-1.2 | Riporto | 22 | 1.8 | 1.9 | 31.2 | 33.1 | - | - | - | - | - |
| 2.4-3.2 | Sabbia con ghiaia e ciottoli sciolta | 4 | 1.5 | 1.7 | 23.7 | 28.3 | 5 | 22.8 | 27.1 | 23.7 | 51.3 |
| 0.4-1.0 | Sabbia con ghiaia poco addensata | 10 | 1.7 | 1.9 | 27.5 | 30.1 | 6 | 25.9 | 28.4 | 63.9 | 122.0 |
| 0.4-2.2 | Sabbia ghiaiosa | 16 | 1.9 | 2.0 | 29.3 | 31.8 | 6 | 27.9 | 30.2 | 105.7 | 177.0 |
| 2.2-5.2 | Sabbia con ghiaia e ciottoli | 22 | 2.0 | 2.1 | 30.5 | 33.5 | 6 | 28.9 | 31.8 | 160.4 | 248.9 |
| 0.2-5.6 | Sabbia e ghiaia e ciottoli | 29 | 2.1 | 2.2 | 31.3 | 35.2 | 6 | 29.7 | 33.5 | 229.0 | 378.8 |

| STRATO | G_0 Mpa Wroth | G_0 Mpa Otha e Goto | $G_0 \cdot Mpa$ V_s | ν | K_w Kg/cm ³ | K_h ** Kg/cm ³ |
|--------------------------------------|--------------------|-----------------------|--------------------------|-------|-----------------------------|--------------------------------|
| Riporto | - | - | - | - | - | - |
| Sabbia con ghiaia e ciottoli sciolta | 32.7 | 21.4 | 90.8 | 0.345 | 0.4 | 0.6 |
| Sabbia con ghiaia poco addensata | 64.1 | 61.9 | 180.6 | 0.337 | 4.7 | 2.6 |
| Sabbia ghiaiosa | 90.3 | 145.6 | 180.6 | 0.319 | 12.4 | 3.2 |
| Sabbia con ghiaia e ciottoli | 119.9 | 216.8 | 375.9 | 0.31 | 14.2 | 6.7 |
| Sabbia e ghiaia e ciottoli | 152.8 | 290.2 | 696.6 | 0.30 | 15.9 | 11.8 |

*Da V_s sismica in corrispondenza PPD2 - **media relativa ai dati delle PPD1 e PPD2



10 CATEGORIA DI SOTTOSUOLO

Per la definizione del valore del parametro sismico "Vs" e, di conseguenza, per determinare la categoria di sottosuolo del sito, è stata condotta un'indagine MASW/ReMi.

10.1 RISULTATI DELLE ANALISI MASW E REMI

Autore: Giovanni Rodina

Sito: San Pietro Mosezzo

Data: 15 gennaio 2019

1 - Dati sperimentali

| | |
|--|--------|
| Numero di ricevitori | 24 |
| Distanza tra i sensori: | 0m |
| Numero di campioni temporali | 2000 |
| Passo temporale di acquisizione..... | 1ms |
| Numero di ricevitori usati per l'analisi..... | 24 |
| L'intervallo considerato per l'analisi comincia a | 0ms |
| L'intervallo considerato per l'analisi termina a | 1999ms |
| I ricevitori non sono invertiti (l'ultimo ricevitore è l'ultimo per l'analisi) | |

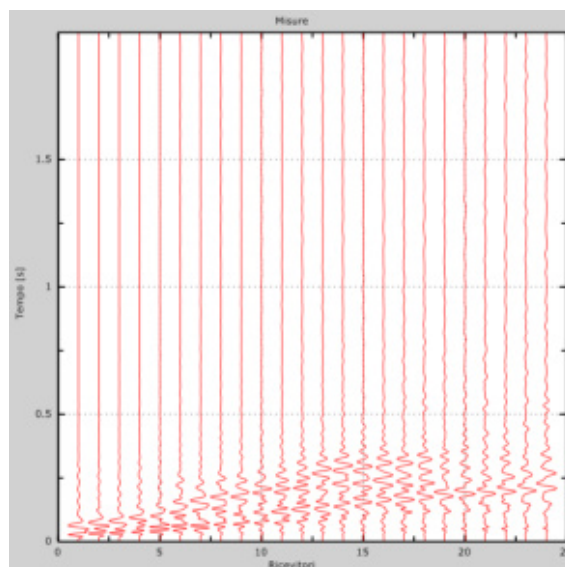


Figura 1: Tracce sperimentali

2 - Risultati delle analisi

| | |
|-------------------------|------|
| Frequenza finale | 70Hz |
| Frequenza iniziale..... | 2Hz |

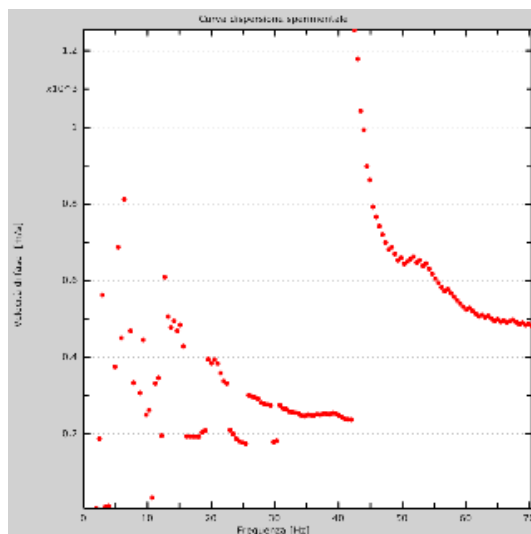


Figura 2: Curva dispersione sperimentale

3 - Risultati delle analisi (tecnica passiva)

| | |
|--|--------------|
| Numero di ricevitori | 12 |
| Numero di campioni temporali | 3.26787e-312 |
| Passo temporale di acquisizione..... | 2ms |
| Numero di ricevitori usati per l'analisi..... | 12 |
| L'intervallo considerato per l'analisi comincia a | 0ms |
| L'intervallo considerato per l'analisi termina a | 119998ms |
| I ricevitori non sono invertiti (l'ultimo ricevitore è l'ultimo per l'analisi) | |

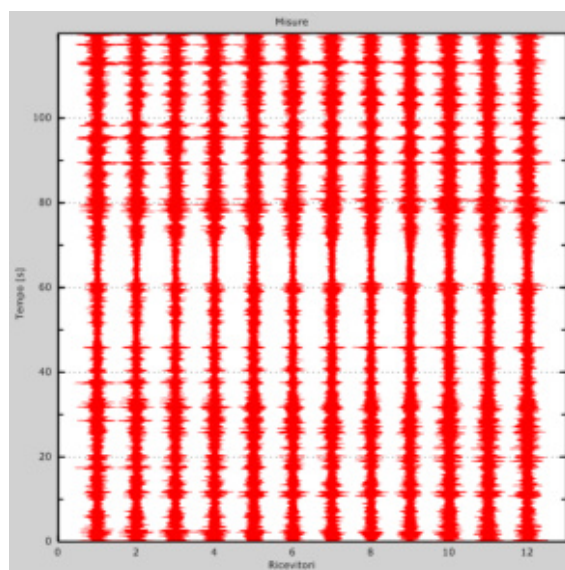


Figura 3: Tracce sperimentali

4 - Curva di dispersione

Tabella 1: Curva di dispersione

| Freq. [Hz] | V. fase [m/s] | V. fase min [m/s] | V. fase Max [m/s] |
|------------|---------------|-------------------|-------------------|
| 5.15671 | 688.945 | 633.353 | 744.537 |
| 13.0386 | 507.666 | 471.41 | 543.922 |
| 19.3803 | 403.733 | 369.894 | 437.571 |
| 22.2794 | 338.472 | 309.468 | 367.477 |
| 26.628 | 302.216 | 273.212 | 331.221 |
| 34.3287 | 253.875 | 229.705 | 278.046 |
| 42.0294 | 236.956 | 220.036 | 253.875 |

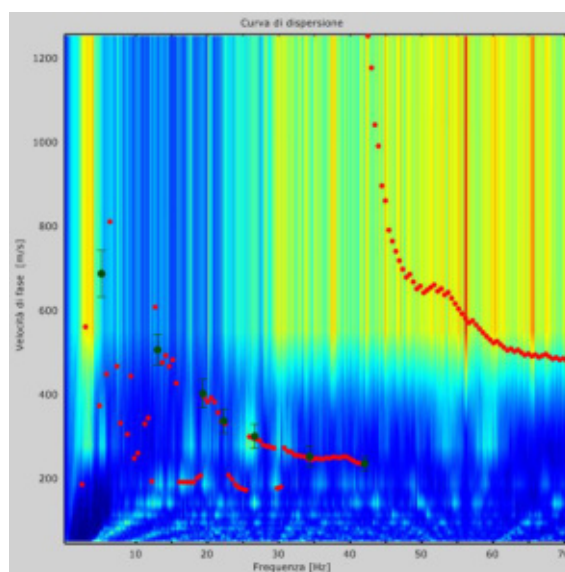


Figura 4: Curva di dispersione

5 - Profilo in sito

| | |
|---|------|
| Numero di strati (escluso semispazio) | 9 |
| Spaziatura ricevitori [m] | 1.5m |
| Numero ricevitori | 24 |
| Numero modi | 1 |

Strato 1

| | |
|------------------------------------|------|
| h [m] | 1 |
| z [m] | -1 |
| Densità [kg/m ³] | 1669 |
| Poisson | 0.2 |
| Vs [m/s] | 210 |
| Vp [m/s] | 343 |
| Vs min [m/s] | 132 |
| Vs max [m/s] | 315 |

Strato 2

| | |
|------------------------------------|------|
| h [m] | 2 |
| z [m] | -3 |
| Densità [kg/m ³] | 1744 |
| Poisson | 0.48 |
| Vs [m/s] | 245 |
| Vp [m/s] | 1249 |
| Vs min [m/s] | 141 |
| Vs max [m/s] | 368 |
| Falda presente nello strato | |

Strato 3

| | |
|------------------------------------|------|
| h [m] | 3 |
| z [m] | -6 |
| Densità [kg/m ³] | 1869 |
| Poisson | 0.48 |
| Vs [m/s] | 310 |
| Vp [m/s] | 1581 |
| Vs min [m/s] | 188 |
| Vs max [m/s] | 465 |
| Falda presente nello strato | |

Strato 4

| | |
|------------------------------------|------|
| h [m]..... | 4 |
| z [m]..... | -10 |
| Densità [kg/m ³] | 2020 |
| Poisson | 0.48 |
| Vs [m/s]..... | 430 |
| Vp [m/s]..... | 2193 |
| Vs min [m/s] | 224 |
| Vs max [m/s] | 645 |

Falda presente nello strato

Strato 5

| | |
|------------------------------------|------|
| h [m]..... | 4 |
| z [m]..... | -14 |
| Densità [kg/m ³] | 2152 |
| Poisson | 0.48 |
| Vs [m/s]..... | 570 |
| Vp [m/s]..... | 2906 |
| Vs min [m/s] | 282 |
| Vs max [m/s] | 855 |

Falda presente nello strato

Strato 6

| | |
|------------------------------------|------|
| h [m]..... | 5 |
| z [m]..... | -19 |
| Densità [kg/m ³] | 2142 |
| Poisson | 0.48 |
| Vs [m/s]..... | 560 |
| Vp [m/s]..... | 2855 |
| Vs min [m/s] | 282 |
| Vs max [m/s] | 840 |

Falda presente nello strato

Strato 7

| | |
|------------------------------------|------|
| h [m]..... | 5 |
| z [m]..... | -24 |
| Densità [kg/m ³] | 2152 |
| Poisson | 0.48 |
| Vs [m/s]..... | 570 |
| Vp [m/s]..... | 2906 |
| Vs min [m/s] | 282 |
| Vs max [m/s] | 855 |

Falda presente nello strato

Strato 8

| | |
|------------------------------------|------|
| h [m]..... | 6 |
| z [m]..... | -30 |
| Densità [kg/m ³] | 2152 |
| Poisson | 0.48 |
| Vs [m/s]..... | 580 |
| Vp [m/s]..... | 2957 |
| Vs min [m/s] | 282 |
| Vs max [m/s] | 870 |

Falda presente nello strato

Strato 9

| | |
|------------------------------------|------|
| h [m]..... | 0 |
| z [m]..... | -00 |
| Densità [kg/m ³] | 2310 |
| Poisson | 0.48 |
| Vs [m/s]..... | 770 |

| | |
|-----------------------------|------|
| Vp [m/s]..... | 3926 |
| Vs min [m/s] | 383 |
| Vs max [m/s] | 1155 |
| Falda presente nello strato | |

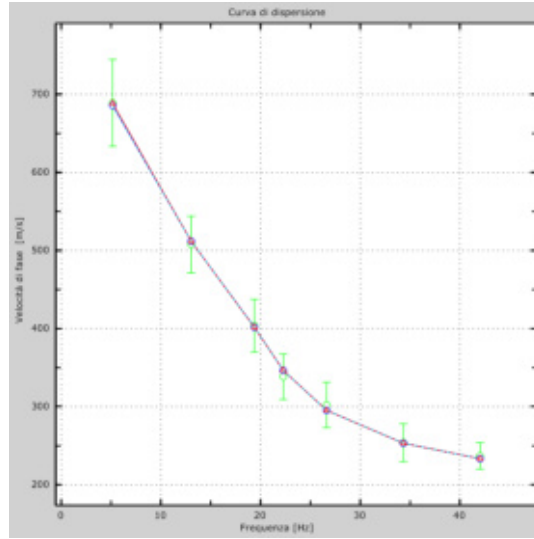


Figura 5: Velocità numeriche – punti sperimentali (verde), modi di Rayleigh (ciano), curva apparente (blu), curva numerica (rosso)

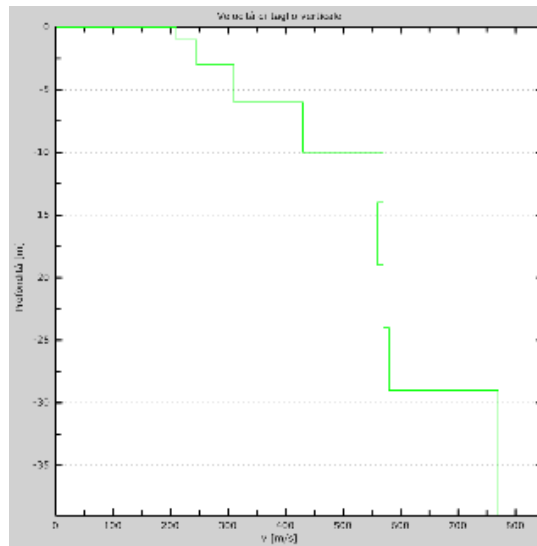


Figura 6: Profilo Vs numerico

6 - Risultati finali

La normativa applicata è il D.M. n°8 del 17 gennaio 2018 "Aggiornamento delle Norme tecniche per le costruzioni". L'unità geotecnica dello strato rigido non è stata rilevata entro 30 metri di profondità dal piano di riferimento.

Le caratteristiche meccaniche degli strati migliorano gradualmente con la profondità.

| | |
|------------------------------------|----------|
| Piano di riferimento z=0 [m] | 0 |
| Vs, equivalente [m/s]..... | 448 |
| Tipo di suolo | B |

Tab. 3.2.II – *Categorie di sottosuolo che permettono l'utilizzo dell'approccio semplificato.*

| Categoria | Caratteristiche della superficie topografica |
|-----------|---|
| A | <i>Ammassi rocciosi affioranti o terreni molto rigidi caratterizzati da valori di velocità delle onde di taglio superiori a 800 m/s, eventualmente comprendenti in superficie terreni di caratteristiche meccaniche più scadenti con spessore massimo pari a 3 m.</i> |
| B | <i>Rocce tenere e depositi di terreni a grana grossa molto addensati o terreni a grana fina molto consistenti, caratterizzati da un miglioramento delle proprietà meccaniche con la profondità e da valori di velocità equivalente compresi tra 360 m/s e 800 m/s.</i> |
| C | <i>Depositati di terreni a grana grossa mediamente addensati o terreni a grana fina mediamente consistenti con profondità del substrato superiori a 30 m, caratterizzati da un miglioramento delle proprietà meccaniche con la profondità e da valori di velocità equivalente compresi tra 180 m/s e 360 m/s.</i> |
| D | <i>Depositati di terreni a grana grossa scarsamente addensati o di terreni a grana fina scarsamente consistenti, con profondità del substrato superiori a 30 m, caratterizzati da un miglioramento delle proprietà meccaniche con la profondità e da valori di velocità equivalente compresi tra 100 e 180 m/s.</i> |
| E | <i>Terreni con caratteristiche e valori di velocità equivalente riconducibili a quelle definite per le categorie C o D, con profondità del substrato non superiore a 30 m.</i> |

Amplificazione stratigrafica

Tab. 3.2.IV – *Espressioni di S_s e di C_c*

| Categoria sottosuolo | S_s | C_c |
|----------------------|---|------------------------------|
| A | 1,00 | 1,00 |
| B | $1,00 \leq 1,40 - 0,40 \cdot F_0 \cdot \frac{a_g}{g} \leq 1,20$ | $1,10 \cdot (T_c^*)^{-0,20}$ |
| C | $1,00 \leq 1,70 - 0,60 \cdot F_0 \cdot \frac{a_g}{g} \leq 1,50$ | $1,05 \cdot (T_c^*)^{-0,33}$ |
| D | $0,90 \leq 2,40 - 1,50 \cdot F_0 \cdot \frac{a_g}{g} \leq 1,80$ | $1,25 \cdot (T_c^*)^{-0,50}$ |
| E | $1,00 \leq 2,00 - 1,10 \cdot F_0 \cdot \frac{a_g}{g} \leq 1,60$ | $1,15 \cdot (T_c^*)^{-0,40}$ |

Condizioni topografiche

Tab. 3.2.III – *Categorie topografiche*

| Categoria | Caratteristiche della superficie topografica |
|-----------|---|
| T1 | Superficie pianeggiante, pendii e rilievi isolati con inclinazione media $i \leq 15^\circ$ |
| T2 | Pendii con inclinazione media $i > 15^\circ$ |
| T3 | Rilievi con larghezza in cresta molto minore che alla base e inclinazione media $15^\circ \leq i \leq 30^\circ$ |
| T4 | Rilievi con larghezza in cresta molto minore che alla base e inclinazione media $i > 30^\circ$ |

Le suesposte categorie topografiche si riferiscono a configurazioni geometriche prevalentemente bidimensionali, creste o dorsali allungate, e devono essere considerate nella definizione dell'azione sismica se di altezza maggiore di 30 m.

Amplificazione topografica

Tab. 3.2.V – *Valori massimi del coefficiente di amplificazione topografica S_T*

| Categoria topografica | Ubicazione dell'opera o dell'intervento | S_T |
|-----------------------|--|-------|
| T1 | - | 1,0 |
| T2 | In corrispondenza della sommità del pendio | 1,2 |
| T3 | In corrispondenza della cresta di un rilievo con pendenza media minore o uguale a 30° | 1,2 |
| T4 | In corrispondenza della cresta di un rilievo con pendenza media maggiore di 30° | 1,4 |

11 VITA NOMINALE DI PROGETTO, CLASSE D'USO E PERIODO DI RIFERIMENTO

VITA NOMINALE

La vita nominale V_N dell'opera in progetto ricade nel 2° tipo "Costruzioni con livelli di prestazioni ordinari".

Tab. 2.4.I – Valori minimi della Vita nominale V_N di progetto per i diversi tipi di costruzioni

| TIPI DI COSTRUZIONI | | Valori minimi di V_N (anni) |
|---------------------|---|-------------------------------|
| 1 | Costruzioni temporanee e provvisorie | 10 |
| 2 | Costruzioni con livelli di prestazioni ordinari | 50 |
| 3 | Costruzioni con livelli di prestazioni elevati | 100 |

CLASSE D'USO

Le opere in progetto ricadono nella classe d'uso II

PERIODO DI RIFERIMENTO PER L'AZIONE SISMICA

Il periodo di riferimento V_R per le costruzioni in progetto risulta $V_R = V_N * C_U$

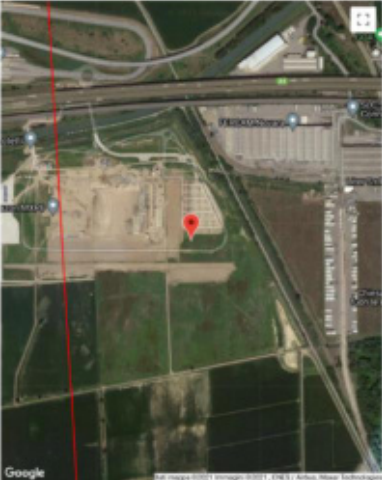
Tab. 2.4.II – Valori del coefficiente d'uso C_U

| CLASSE D'USO | I | II | III | IV |
|--------------------|-----|-----|-----|-----|
| COEFFICIENTE C_U | 0,7 | 1,0 | 1,5 | 2,0 |

C_U per la Classe d'uso II corrisponde a 1.0, da cui discende $V_R \geq 50$ anni.

12 STIMA DEI PARAMETRI SISMICI

I parametri sismici locali e di sito sono stati ricavati con Geostru Ps.



Stati limite

Classe Edificio

Il Affollamento normale. Assenza di funz. pubbliche e sociali...

Vita Nominale: 50

Interpolazione: Media ponderata

CU = 1

| Stato Limite | Tr [anni] | λ_y [s] | Fo | T ₀ ' [s] |
|--|-----------|-----------------|-------|----------------------|
| Operatività (SLO) | 30 | 0.014 | 2.528 | 0.161 |
| Danno (SLD) | 50 | 0.018 | 2.499 | 0.170 |
| Salvaguardia vita (SLV) | 475 | 0.037 | 2.614 | 0.277 |
| Prevenzione collasso (SLC) | 975 | 0.044 | 2.648 | 0.299 |
| Periodo di riferimento per l'azione sismica: | 50 | | | |

Coefficienti sismici

Tipo: Stabilità dei pendii e fondazioni

Muri di sostegno che non sono in grado di subire spostamenti.

H (m): 1

us (m): 0.1

Cat. Sottosuolo: B

Cat. Topografica: T1

Acc.ne massima attesa al sito [m/s²]: 0.6

| | SLO | SLD | SLV | SLC |
|---------------------------------|------|------|------|------|
| SS Amplificazione stratigrafica | 1,20 | 1,20 | 1,20 | 1,20 |
| CC Coeff. funz categoria | 1,58 | 1,57 | 1,42 | 1,40 |
| ST Amplificazione topografica | 1,00 | 1,00 | 1,00 | 1,00 |

| Coefficienti | SLO | SLD | SLV | SLC |
|--------------|-------|-------|-------|-------|
| kh | 0.003 | 0.004 | 0.009 | 0.011 |
| 0.002 | 0.002 | 0.004 | 0.005 | |
| Amax [m/s²] | 0.170 | 0.212 | 0.437 | 0.517 |
| Beta | 0.200 | 0.200 | 0.200 | 0.200 |

13 VERIFICA ALLA LIQUEFAZIONE

La normativa prevede che per il sito di costruzione sia verificata la suscettibilità alla liquefazione quando la falda freatica sia prossima alla superficie ed il terreno comprenda strati estesi o lenti spesse di sabbie sciolte sotto falda, anche se contenenti una frazione fine. E' comunque da sottolineare che la verifica può essere omessa quando si manifesti almeno una delle seguenti condizioni:

1. accelerazioni massime attese al piano campagna in assenza di manufatti minori di 0.1g;
2. profondità media stagionale della falda superiore a 15 m dal piano campagna, per piano campagna sub- orizzontale e strutture con fondazioni superficiali;
3. depositi costituiti da sabbie pulite con resistenza penetrometrica normalizzata $(N1)60 > 30$ oppure $qc1N > 180$ dove $(N1)60$ è il valore della resistenza determinata in prove penetrometriche dinamiche (SPT) normalizzata ad una tensione efficace verticale di 100 kPa e $qc1N$ è il valore della resistenza determinata in prove penetrometriche statiche (Cone Penetration Test) normalizzata ad una tensione efficace verticale di 100 kPa;
4. distribuzione granulometrica esterna alle zone indicate nella Figura 7.11.1(a) nel caso di terreni con coefficiente di uniformità $U_c < 3,5$ ed in Figura 7.11.1(b) nel caso di terreni con coefficiente di uniformità $U_c > 3,5$.

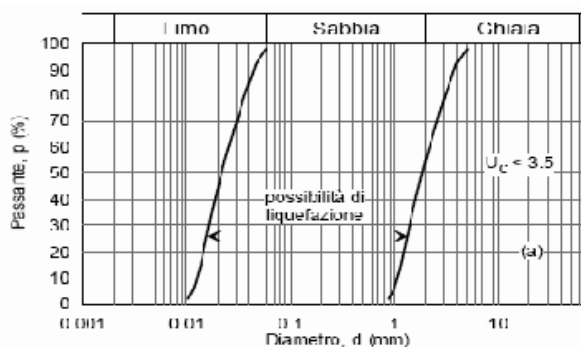


Fig. 7.11.1(a)

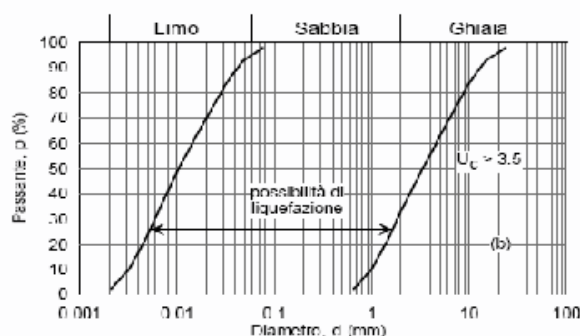


Figura 7.11.1 – Fust granulometrici di terreni suscettibili di liquefazione

Qualora la condizione 1 non risulti soddisfatta, le indagini geotecniche devono essere finalizzate almeno alla determinazione dei parametri necessari per la verifica delle condizioni 2, 3 e 4.

Relativamente al punto 1, considerando i parametri sismici sopra rappresentati, per il sito in esame è stato ricavato un valore (SLC) di a_{max} di 0.517 m/s^2 che va diviso per il valore di g , pari a 9.81 m/s^2 : la condizione $a_g < 0.1g$ risulta verificata.

14 CONCLUSIONI

Sulla base dei dati ricavati dalle indagini geognostiche, si possono trarre le seguenti considerazioni:

1. le indagini geognostiche hanno permesso di ricostruire un Modello geologico che ha evidenziato la presenza, nella porzione di sottosuolo di interesse, di 2 livelli principali di sedimenti incoerenti con buone caratteristiche geotecniche, coperti da un terzo livello costituito da sedimenti sabbioso ghiaiosi da sciolti a poco addensati e da una coltre di depositi di riporto, verosimilmente riferibile ai recenti lavori di ammodernamento delle infrastrutture per la viabilità.
2. la falda freatica, sulla base delle misurazioni disponibili, si attesta a quote medie di circa 2-2.5 m con possibilità di risalite sino a profondità di circa 1.0-1.5 m da p.c. in concomitanza con eventi meteorici prolungati ed intensi e portate di piena del reticolo idrico principale e minore;

Al termine delle considerazioni riassunte ai punti precedenti è possibile affermare che, alle condizioni sopra esposte, la realizzazione di quanto in progetto risulterà compatibile con l'assetto geologico, geomorfologico ed idrogeologico locale, sia considerando il punto di vista geologico-tecnico sia circa la stabilità dell'area di prevista trasformazione.

Quanto in progetto andrà comunque realizzato a regola d'arte e tenendo sempre in preminente considerazione, in ogni fase e circostanza, la stabilità generale dell'area e dei manufatti esistenti. La validità delle ipotesi di progetto dovrà, comunque, essere verificata durante la realizzazione dei manufatti considerando, oltre ai dati raccolti in questa fase, anche quelli ottenuti con misure ed osservazioni nel corso dei lavori per adeguare, eventualmente, l'opera alle situazioni riscontrate.